



ANÁLISIS EPIDEMIOLÓGICO SOBRE LAS ANOMALÍAS CONGÉNITAS EN RECIÉN NACIDOS, REGISTRADAS DURANTE 2018 EN LA REPÚBLICA ARGENTINA



Reporte Anual RENAC 2019

ANÁLISIS EPIDEMIOLÓGICO SOBRE LAS ANOMALÍAS CONGÉNITAS EN RECIÉN NACIDOS, REGISTRADAS DURANTE 2018 EN LA REPÚBLICA ARGENTINA







AUTORIDADES

PRESIDENTE DE LA NACIÓN

Ing. Mauricio Macri

MINISTRA DE SALUD Y DESARROLLO SOCIAL

Dra. Carolina Stanley

SECRETARIO DE GOBIERNO DE SALUD

Dr. Adolfo Rubinstein

SECRETARIO DE PROMOCIÓN DE LA SALUD, PREVENCIÓN Y CONTROL DE RIESGOS

Dr. Mario Kaler

SUBSECRETARIA DE PREVENCIÓN Y CONTROL DE ENFERMEDADES COMUNICABLES E INMUNOPREVENIBLES

Dra. Miriam Inés Burgos

INTERVENTORA DE LA ADMINISTRACIÓN NACIONAL DE LABORATORIOS E INSTITUTOS DE SALUD (ANLIS) "DR. CARLOS MALBRÁN"

Dra. Claudia Perandones

DIRECTOR DEL CENTRO NACIONAL DE GENÉTICA MÉDICA "DR. EDUARDO E. CASTILLA"

Dr. Eliseo Isaac Aranda

COORDINADORES DE LA RED NACIONAL DE ANOMALÍAS CONGÉNITAS (RENAC)

Dra. Rosa Liascovich, Dr. Pablo Barbero, Dr. Boris Groisman, Dra. María Paz Bidondo, Agustina Piola

AUTORES DEL PRESENTE REPORTE

- Pablo Barbero
- María Paz Bidondo
- Santiago Duarte
- Boris Groisman
- Rosa Liascovich
- Agustina Piola

CONSULTOR

- Jorge S. López Camelo

Sede de la Coordinación

- Unidad de Epidemiología e Investigación de las Anomalías Congénitas
- Centro Nacional de Genética Médica (CNGM) "Dr. Eduardo E. Castilla"
- Administración Nacional de Laboratorios e Institutos de Salud (ANLIS)
- Ministerio de Salud y Desarrollo Social de la Nación

Octubre - 2019

ÍNDICE

6	PRESENTACIÓN
9	RESUMEN EJECUTIVO SECCIÓN 1. Generalidades SECCIÓN 2. Resultados 2018 SECCIÓN 3. Monitoreo SECCIÓN 4. Calidad SECCIÓN 5. Mortalidad SECCIÓN 6: Publicaciones
14	AGRADECIMIENTOS
16	NOTAS TÉCNICAS DEFINICIONES Anomalías congénitas Definición de caso Funcionamiento operativo de la RENAC Interacción a distancia Clasificación de los casos
18	FIGURAS Y TABLAS SECCIÓN 1. Generalidades: Figuras 1 y 2 y Tablas 1, 2, 3 SECCIÓN 2. Resultados 2018: Figura 3 y Tablas 4, 5, 6, 7, 8, 9 y 10 SECCIÓN 3. Monitoreo: Figuras 4, 5 y 6 SECCIÓN 4. Calidad: Figura 7 y Tabla 11 SECCIÓN 5. Mortalidad: Tabla 12
43	INFORMACIÓN DISCRIMINADA POR JURISDICCIÓN
69	ANEXOS ANEXO 1: Formulario de carga de datos de la RENAC.

ANEXO 2: Definiciones de las anomalías congénitas.



PRESENTACIÓN

La RENAC fue creada en 2009 en el Centro Nacional de Genética Médica "Dr. Eduardo Castilla", perteneciente a la Administración Nacional de Laboratorios e Institutos de Salud "Dr. Carlos Malbrán" (ANLIS), Ministerio de Salud y Desarrollo Social. Inicialmente fue concebido como un registro, pero en 2014 se reconfiguró como una Red con el "Objetivo de generar información epidemiológica sobre anomalías congénitas para su aplicación en salud pública, y contribuir a la atención precoz de los recién nacidos con tal tipo de afecciones y a la reducción de la morbimortalidad infantil relacionada con dichas causas" (Resolución del Ministerio de Salud de la Nación 770/2014).

La RENAC tiene actualmente los siguientes objetivos:

- Vigilar la ocurrencia de casos, es decir, identificar agregados geográficos y variaciones en las frecuencias de anomalías congénitas.
- Investigar nuevas causas de anomalías congénitas.
- Contribuir a programar el cuidado y atención de los recién nacidos afectados.
- Contribuir a la evaluación de intervenciones y a la generación de políticas públicas para la prevención de las anomalías congénitas.

El presente REPORTE 2019 forma parte de la serie que anualmente producimos con el "Análisis Epidemiológico sobre anomalías congénitas en recién nacidos, registrados en Argentina", información que se disemina entre los equipos de salud y las autoridades nacionales y provinciales¹.

En los últimos reportes y en una publicación reciente² comunicamos que RENAC tiene una cobertura anual de unos 4500 casos con anomalías congénitas mayores, lo que representa una prevalencia global de 1,5 a 1,6 casos por cada 100 nacimientos. A partir de estos datos se estiman unos 10.000 recién nacidos afectados por año para todo el país. Las anomalías más frecuentes son: síndrome de Down, fisuras orales, cardiopatías severas, defectos de pared abdominal (gastrosquisis especialmente), defectos del tubo neural y talipes (equinovaro mayoritariamente). Para la mayoría de ellas no se observan agrupamientos geográficos, es decir malformaciones que tengan una prevalencia significativamente más alta en una cierta región (cluster). En el caso de síndrome de Down, detectamos un cluster de alta frecuencia en CABA, jurisdicción con una mayor proporción de edad materna avanzada. De manera similar, detectamos un cluster de fisuras de labio y paladar en la región del NOA, hallazgos que coinciden con información previa y respaldan la necesidad de intervenciones dirigidas a estos grupos de riesgo3. Gracias al volumen de datos recolectados en RENAC, también comunicamos la prevalencia de malformaciones extremadamente raras en nuestro país. Previamente publicamos un análisis sobre sirenomelia⁴, recientemente hicimos una revisión sistemática de la prevalencia de displasias óseas, consideradas a nivel específico y por subgrupos⁵ y publicamos un reporte de casos de Diprosopus⁶.

En el contexto de la epidemia de microcefalia y otras anomalías cerebrales producida por la infección por el virus Zika (ZIKV), establecimos la prevalencia de base de los casos que se ajustaban a este fenotipo⁷, y una vez declarada la epidemia intensificamos la vigilancia, y establecimos un protocolo para recolectar muestras para evaluar la

infección. Trabajamos en conjunto con el Instituto Nacional de Enfermedades Virales Humanas (INEVH) de Pergamino (INEVH-ANLIS), y el Instituto Nacional de Enfermedades Infecciosas (INEI-ANLIS). De un total de 202 casos con el fenotipo compatible con la infección congénita, 10 fueron positivos para ZIKV; además, 7 casos fueron positivos para citomegalovirus, 13 para toxoplasmosis congénita, 2 para virus herpes simple y 1 para sífilis congénita^{8 9 10}. A su vez, con apoyo de UNICEF-Argentina, desarrollamos materiales gráficos, una guía para equipos de salud¹¹ y un curso virtual para alumnos de Argentina y Latinoamérica.

Uno de los objetivos ampliados de RENAC¹² que cobró relevancia en los últimos años fue conectar a los recién nacidos con fisuras orales, desde las maternidades hacia los especialistas tratantes en todo el país¹³. A través de un estudio aún no publicado se evaluaron las características del tratamiento recibido por los niños con FLAP nacidos en el subsector público entre 2015 y 2016. Sobre la base de una muestra de 100 de los 632 niños, se analizó si los tratamientos fueron integrales, multidisciplinarios y oportunos.

Por otra parte, desde 2015 hemos participado de actividades para el desarrollo y fortalecimiento de otros sistemas de vigilancia de anomalías congénitas en la Región, y a nivel global. Estas iniciativas fueron promovidas especialmente por el Centro Latinoamericano de Perinatología / Unidad de salud de la Mujer y Reproductiva (CLAP/SMR) de la Organización Panamericana de la Salud (OPS-OMS)¹⁴ y el consorcio mundial International Clearinghouse for Birth Defects Surveillance and Research (ICBDSR)15. Junto a RENAC participaron los registros de Bogotá y Cali de la Universidad Javeriana de Colombia¹⁶, el Registro de Costa Rica (CREC)¹⁷, los Centros para el Control y la Prevención de Enfermedades de Estados Unidos (CDC)¹⁸, y el ECLAMC¹⁹. Esta experiencia fue comunicada de manera preliminar en un trabajo en un congreso internacional²⁰ y en un libro presentado en diciembre de 2018 en Washington DC²¹. A la vez relevamos los sistemas de vigilancia de la Región²², y comparamos a RENAC con los sistemas de vigilancia de Bogotá y Cali, Colombia²³. Con el propósito de optimizar la calidad de los sistemas de vigilancia elaboramos una serie de indicadores para mejorar la detección, descripción, clasificación y codificación de las anomalías congénitas²⁴ ²⁵. En este contexto, en 2018 fuimos organizadores de un Curso para alumnos de diferentes países de Latinoamérica (Argentina, Colombia, Cuba, Chile, El Salvador, Ecuador, Nicaragua, Perú, Paraguay, Venezuela): "Epidemiología de Anomalías Congénitas en la era genómica", realizado con el auspicio del Centro Latinoamericano de Formación (CELFI) del Ministerio de Ciencia, Tecnología e Innovación Productiva, en la Facultad de Ciencias Exactas y Naturales de la Universidad de Buenos Aires.

En cuanto al fortalecimiento de nuestra red, en 2018 llevamos a cabo el curso virtual "Vigilancia de anomalías congénitas: enfoque clínico y estrategias para la mejora de la calidad", con la participación de 100 neonatólogos referentes de RENAC. A su vez participamos del proyecto de investigación "Defectos genómicos en anomalías congénitas múltiples y cardiopatías congénitas", otorgado por la Agencia Nacional de Promoción Científica y Tecnológica al grupo de diagnóstico molecular del CENAGEM y basado en los recién nacidos detectados por los referentes de RENAC en los hospitales de la Región Sanitaria 6ta. de la provin-

8

cia de Buenos Aires, el Hospital de Niños de La Plata y la Maternidad Sardá (CABA)²⁶. Asimismo, con un capítulo sobre epidemiología de las anomalías congénitas, participamos en dos libros, uno de la Serie PRONEO promovida por la Sociedad Argentina de Pediatría²⁷ y otro sobre Aspectos clínicos y quirúrgicos neonatales²⁸.

Finalmente, durante el año 2018 se enviaron dos comentarios a la Revista Archivos Argentinos de Pediatría. En el primero de ellos se aclaró que la interrupción de embarazos por anomalías fetales no es equivalente a "eugenesia", que en el pasado fue una política de Estado para el control reproductivo a nivel poblacional²⁹. En el segundo, se presentaron datos acerca de la inequidad en el diagnóstico prenatal y la interrupción del embarazo por anomalía fetal, comparando la prevalencia de anencefalia y el porcentaje de casos con diagnóstico prenatal en hospitales según el subsector de salud (públicos versus privados/seguridad social)30. Recientemente se publicó un trabajo caso control que se había realizado con hospitales de la Cuenca Matanza Riachuelo³¹ y un trabajo descriptivo en colaboración con otros programas de vigilancia de la ICBDSR sobre cardiopatías severas y diagnóstico prenatal32.

- 1. Reportes RENAC: http://www.anlis.gov.ar/cenagem/?page_id=33
- Groisman B, Bidondo MP, Duarte S, Tardivo A, Barbero P, Liascovich R. Epidemiología descriptiva de las anomalías congénitas estructurales mayores en Argentina. Medicina (B Aires). 2018;78(4):252-257. http://www.medicinabuenosaires.com/PMID/30125252.pdf
- Groisman B; Gili J, Gimenez L, Poletta F, Bidondo MP, Barbero P, Liascovich R, López-Camelo J. Geographic clusters of congenital anomalies in Argentina. J Community Genet; 2017 Jan; 8(1): 1–7. https://www.ncbi.nlm.nih.gov/pmc/articles/PMC5222755/ pdf/12687_2016_Article_276.pdf
- Groisman B, Liascovich R, Gili J, Barbero P, Bidondo MP, and the RENAC Task Force. Sirenomelia in Argentina: prevalence, geographic clusters and temporal trends analysis. Birth Defects Res A Clin Mol Teratol 2016; 106:604-611. http://onlinelibrary.wiley.com/doi/10.1002/ bdra.23501/full
- Duarte, S. P., Rocha, M. E., Bidondo, M. P., Liascovich, R., Barbero, P., & Groisman, B. (2018). Bone dysplasias in 1.6 million births in Argentina. European Journal of Medical Genetics. doi:10.1016/j. eimg.2018.12.008.
- Bidondo MP, Groisman B, Tardivo A, Tomasoni F, Tejeiro V, Camacho I, Vilas M, Liascovich R, Barbero P. Diprosopus: Systematic review and report of two cases. Birth Defects Res A Clin Mol Teratol. 2016 Oct 5. doi: 10.1002/bdra.23549.
- Groisman B, Bidondo MP, Liascovich R, Barbero P. Microcefalia en Argentina según datos de la Red Nacional de Anomalías Congénitas. Rev Argent Salud Pública 2016; Mar; 7(26):39-42. http://www.rasp. msal.gov.ar/rasp/articulos/volumen26/39-42.pdf
- 8. Tellechea AL, Luppo V, Morales MA, Groisman B, Baricalla A, Fabbri C, Sinchi A, Alonso A, Gonzalez C, Ledesma B, Masi P, Israilev MSA, Rocha M, Quaglia M, Bidondo MP, Liascovich L, Barbero P, RENAC Task Force. Surveillance of microcephaly and selected brain anomalies in Argentina: Relationship with Zika virus and other congenital infections. Birth Defects Research. 2018; 00:1–11. https://doi.org/10.1002/bdr2.1347
- Luppo VC, Morales MA, Groisman B, Fabbri CM, Baricalla AA, Ferocci M, Gonzalez G, Alonso A, Bidondo MP, Liascovich R, Barbero P, Enria DA. Utilidad de las técnicas serológicas en el estudio de virus zika (ZIKV) en recién nacidos con microcefalia y/o anomalías cerebrales en Argentina, 2016-2017. XVII Congreso Sociedad Argentina de Infectología (SADI), Mar del Plata, 15 al 17 de junio de 2017
- 10. Bidondo MP, Morales MA, Luppo V, Baricalla A, Gonzalez C, Alonso A, Ledesma B, Liascovich R, Barbero P. Microcephaly in newborn from the National Network of Congenital Anomalies (RENAC) in Argentina: its relationship with Zika virus and other congenital infections. 8th International Conference on Birth Defects and Disabilities in the Developing World, 8-11 noviembre 2017, Bogotá, Colombia.
- http://www.anlis.gov.ar/cenagem/wp-content/uploads/2017/07/ PAUTAS-MICROCEFALIA-y-ZIKA-RENAC-UNICEF.pdf
- 12. Groisman B, Bidondo MP, Barbero P, Liascovich R. La Red Nacional de Anomalías Congénitas (RENAC): objetivos ampliados de la vigilancia.

- Arch Argent Pediatr 2016; 114(4):295-297. http://www.scielo.org.ar/pdf/aap/v114n4/v114n4a04.pdf
- 13. Cassinelli A, Pauselli N, Piola A, Martinelli C, Alves de Azevedo JL, Bidondo MP, Groisman Barbero P, Liascovich R, Sala A. Red nacional para la atención de niños/as con fisuras orales: organización, funcionamiento y primeros resultados. Arch Argent Pediatr 2018;116(1):e26-e33. https://www.sap.org.ar/docs/publicaciones/ archivosarg/2018/v116n1a14.pdf
- 14. https://www.paho.org/clap/index.php?lang=es
- 15. http://www.icbdsr.org/
- 16. https://www.javerianacali.edu.co/prevalencia-de-malformaciones-congenitas-en-recien-nacidos-en-cali
- https://www.inciensa.sa.cr/inciensa/unidades_especializadas/ unidad_enfermedades_congenitas.aspx
- 18. https://www.cdc.gov/spanish/index.html
- 19. http://www.eclamc.org/
- 20. Durán P, Valencia D, Groisman B, Liascovich R, Barbero P, Benavides A, Barboza MP, Caicedo N, Puerto A, Hurtado-Villa P, Zarante I. Opportunities for Strengthening Birth Defects Surveillance Systems: Implementation of a Birth Defects Surveillance Workshop in Latin America. 8th International Conference on Birth Defects and Disabilities in the Developing World, 8 -11 noviembre 2017, Bogotá, Colombia.
- 21. Presente y futuro de la vigilancia de defectos congénitos en las Américas. Organización Panamericana de la Salud, Organización Mundial de la Salud, Banco Mundial, Nordic Trust Fund en prensa
- 22. Duran P, Liascovich R, Barbero P, Bidondo MP, Groisman B, Serruya S, De Francisco LA, Becerra F, Gordillo A. Sistemas de vigilancia de anomalías congénitas en países de América Latina y Caribe: presente y futuro. Rev Panam Salud Publica. 2019;43:e44. https://doi.org/10.26633 /RPSP.2019.44
- 23. Groisman, B., Liascovich, R., Bidondo, M.P. Barbero P., Duarte S., Telechea AL., Holguin J., Rodriguez C., Hurtado-Villa P., Caicedo N., Botta G., Zarante I. Birth defects surveillance: experiences in Argentina and Colombia. J Community Genet (2019). https://doi.org/10.1007/s12687-018-00403-6
- 24. Groisman B, Barbero P, Mastroiacovo P, Botto LD, Bidondo MP, Liascovich R. Application of quality indicators to data from the National Network of Congenital Anomalies of Argentina. Birth Defects Research. 2019;1–8 https://doi.org/10.1002/bdr2.1472
- 25. Groisman B, Mastroiacovo P, Barbero P, Bidondo MP, Liascovich R. Botto LD, A proposal for the systematic assessment of data quality indicators in birth defects surveillance. Birth Defects Research. 2019;1–8 https://doi.org/10.1002/bdr2.1474
- 26. Delea M, Espeche L, Bruque C, Bidondo MP, Massara L, Oliveri J, Brun P, Cosentino V, Martinoli C, Tolaba N, Picon C, Ponce Zaldua ME, Avila S, Gutnitzky V, Perez M, Furforo L, Buzzalino N, Liascovich R, Groisman B, Rittler M, Rozental S, Barbero P, Dain L. Genetic imbalances in Argentinean patients with congenital conotruncal heart defects. Genes 2018, 9, 454; doi: 10.3390/genes9090454. file:///C:/Users/Rosa/Downloads/genes-09-00454.pdf
- 27. Bidondo MP, Groisman B, Barbero P, Liascovich R. Capítulo "Epidemiología de las anomalías congénitas" (pag 101-149), en Programa de Actualización en Neonatología (PRONEO), número 16, módulo N° 3, Editorial Médica Panamericana, 2016 (ISSN1515-2693).
- 28. Barbero P, Bidondo MP, Groisman B, Liascovich R. Capitulo Generalidades I: 1. Epidemiología de las anomalías congénitas. Impacto en la morbimortalidad, factores de riesgo y acciones de prevención", en Fetoneonatología quirúrgica-Aspectos clínicos. Volumen I. Editorial Journal, abril 2018. ISBN-13 9789873954801
- ¿Por qué la interrupción electiva del embarazo por anomalía fetal no es eugenesia? Arch Argent Pediatr 2018;116(5):e718-e720 https://www. sap.org.ar/docs/publicaciones/archivosarg/2018/v116n5a27.pdf
- Barbero P, Liascovich R, Tellechea AL, Piola A, Bidondo MP, Groisman B. Inequidad en el diagnóstico prenatal y la interrupción del embarazo por anomalía fetal en Argentina. Arch Argent Pediatr 2018;116(6):e8 10-e815. https://www.sap.org.ar/docs/publicaciones/archivosarg/2018/v116n6a32.pdf
- 31. Bidondo MP, Groisman B, Gili JA, Liascovich R, Martin MC, Tocci A, Flores R, Pus Barraza A, Barbero P. Analysis on risk factors associated with birth defects in newborns in the area of the Matanza-Riachuelo river basin. Rev Fac Cien Med Univ Nac Cordoba. 2018 Dec 13;75(4):261-269. doi: 10.31053/1853.0605.v75.n4.20284.
- 32. Bakker MK, Bergman JEH, Krikov S, Amar E, Cocchi G, Cragan J, de Walle HEK, Gatt M, Groisman B, Liu S, Nembhard WN, Pierini A, Rissmann A, Chidambarathanu S, Sipek A Jr, Szabova E, Tagliabue G, Tucker D, Mastroiacovo P, Botto LD. Prenatal diagnosis and prevalence of critical congenital heart defects: an international retrospective cohort study. BMJ Open. 2019 Jul 2;9(7):e028139. doi: 10.1136/bmjopen-2018-028139.



RESUMEN EJECUTIVO

SECCIÓN 1: GENERALIDADES

- Durante el año 2018, reportaron a la RENAC 153 establecimientos de las 24 jurisdicciones del país: 130 son hospitales del subsector público y 23 son maternidades del subsector privado/obra social (Tabla 1, Tabla 2, Figura 1).
- En 2018 la RENAC cubrió 265.305 nacimientos, sobre un total de 687.712 nacimientos del país, lo cual representa una cobertura de aproximadamente 38,58%.
 En el subsector público la cobertura es más alta, de aproximadamente 59,15%. (Tabla 3, Figura 2).
- Del total de 265.305 nacimientos examinados, 4.448 casos presentaron anomalías congénitas estructurales mayores, lo que representa una prevalencia al nacimiento de 1,68% (1,63 1,73). Tabla 4 y Figura 3).
- Considerando el período total de funcionamiento de la RENAC, de noviembre 2009 a diciembre 2018, se examinaron 2.202.994 nacimientos y se observaron 35.126 casos con anomalías congénitas estructurales mayores.

SECCIÓN 2: RESULTADOS 2018

- Se detalla la prevalencia de 7 categorías de anomalías agrupadas (cromosomopatías, fisuras orales, cardiopatías severas, defectos de pared abdominal, defectos del tubo neural, talipes y defectos de reducción de miembros), por jurisdicción (Tabla 5).
- Se detalla la prevalencia de 48 anomalías específicas seleccionadas de acuerdo a su frecuencia, importancia clínica y posibilidad de ser comparadas con otros registros del mundo. Las anomalías específicas más frecuentes fueron: las fisuras de labio con o sin paladar hendido, gastrosquisis, hidrocefalia, talipes equinovarus, espina bífida, polidactilia postaxial, malformación anorrectal, hernia diafragmática y quistes renales (Tabla 6a y 6b).
- Se detalla la prevalencia de 8 síndromes: displasia tanatofórica, costillas cortas-polidactilia, acondroplasia, osteogénesis imperfecta, displasia campomélica, trisomía 13, trisomía 18, síndrome de Down (Tabla 7).
- El síndrome más frecuente fue el síndrome de Down, cuya prevalencia se detalla según categorías de edad materna (Tabla 8).
- La prevalencia de gastrosquisis se detalla según categorías de edad materna (Tabla 9).
- Se detalla la prevalencia de 7 anomalías congénitas muy raras: extrofia de cloaca, extrofia de vejiga, amelia, focomelia, ciclopía, sirenomelia y siameses (Tabla 10)

SECCIÓN 3: MONITOREO

- Se detalla la evolución cuatrimestral, entre 2011 y 2018, de las prevalencias de 9 anomalías específicas (Figura 4).
- Se detalla la evolución cuatrimestral, entre 2012 y 2018, de las prevalencias de síndrome de Down (Figura 5) y de gastrosquisis (Figura 6) según categorías de edad materna.

SECCIÓN 4: CALIDAD

- Se presenta la evolución del porcentaje de falsos positivos (recién nacidos con anomalías no estructurales, o recién nacidos con anomalías menores aisladas, o fetos muertos con un peso inferior a los 500 g), que se redujo de 11,81% a 4,18% entre 2010 y 2018 (Figura 7).
- Se presenta el análisis de 10 anomalías congénitas según su calidad de descripción, clasificación y prevalencia: fisuras orales, defectos del tubo neural, defectos de pared abdominal, hipospadias, defectos de reducción de miembros, talipes, cardiopatías, microtia / anotia, polidactilia, displasias esqueléticas (Tabla 11).

SECCIÓN 5: MORTALIDAD

 Se presentan los datos de las estadísticas vitales acerca de la mortalidad infantil y la mortalidad proporcional por anomalías congénitas, calculados a través de información de la DEIS (Tabla 12).

SECCIÓN 6: PUBLICACIONES

Publicaciones de RENAC de los años 2018 y 2019

- Groisman B, Bidondo MP, Duarte S, Tardivo A, Barbero P, Liascovich R. Epidemiología descriptiva de las anomalías congénitas estructurales mayores en Argentina. Medicina (B Aires). 2018;78(4):252-257. http://www.medicinabuenosaires.com/ PMID/30125252.pdf
- Duarte, S. P., Rocha, M. E., Bidondo, M. P., Liascovich, R., Barbero, P., & Groisman, B. (2018). Bone dysplasias in 1.6 million births in Argentina. European Journal of Medical Genetics. doi:10.1016/j.ejmg.2018.12.008.
- 3. Tellechea AL, Luppo V, Morales MA, Groisman B, Baricalla A, Fabbri C, Sinchi A, Alonso A, Gonzalez C, Ledesma B, Masi P, Israilev MSA, Rocha M, Quaglia M, Bidondo MP, Liascovich L, Barbero P, RENAC Task Force. Surveillance of microcephaly and selected brain anomalies in Argentina: Relationship with Zika virus and other congenital infections. Birth Defects Research. 2018; 00:1–11. https://doi.org/10.1002/bdr2.1347

- 4. Cassinelli A, Pauselli N, Piola A, Martinelli C, Alves de Azevedo JL, Bidondo MP, Groisman Barbero P, Liascovich R, Sala A. Red nacional para la atención de niños/as con fisuras orales: organización, funcionamiento y primeros resultados. Arch Argent Pediatr 2018;116(1):e26-e33. https://www.sap.org.ar/docs/publicaciones/archivosarg/2018/v116n1a14.pdf
- Delea M, Espeche L, Bruque C, Bidondo MP, Massara L, Oliveri J, Brun P, Cosentino V, Martinoli C, Tolaba N, Picon C, Ponce Zaldua ME, Avila S, Gutnitzky V, Perez M, Furforo L, Buzzalino N, Liascovich R, Groisman B, Rittler M, Rozental S, Barbero P, Dain L. Genetic imbalances in Argentinean patients with congenital conotruncal heart defects. Genes 2018, 9, 454; doi: 10.3390/genes9090454. file:///C:/Users/Rosa/Downloads/genes-09-00454.pdf
- 6. Barbero P, Liascovich R, Piola A, Bidondo MP, Groisman B ¿Por qué la interrupción electiva del embarazo por anomalía fetal no es eugenesia? Arch Argent Pediatr 2018;116(5):e718-e720 -https://www.sap.org.ar/docs/publicaciones/archivosarg/2018/v116n5a27. pdf
- Barbero P, Liascovich R, Tellechea AL, Piola A, Bidondo MP, Groisman B. Inequidad en el diagnóstico prenatal y la interrupción del embarazo por anomalía fetal en Argentina. Arch Argent Pediatr 2018;116(6):e810-e815. https://www.sap.org.ar/docs/publicaciones/ archivosarg/2018/v116n6a32.pdf
- Bidondo MP, Groisman B, Gili JA, Liascovich R, Martin MC, Tocci A, Flores R, Pus Barraza A, Barbero P. Analysis on risk factors associated with birth defects in newborns in the area of the Matanza-Riachuelo river basin. Rev Fac Cien Med Univ Nac Cordoba. 2018 Dec 13;75(4):261-269. doi: 10.31053/1853.0605.v75. n4.20284.
- Barbero P, Bidondo MP, Groisman B, Liascovich R. Capitulo 1. Epidemiología de las anomalías congénitas. Impacto en la morbimortalidad, factores de riesgo y acciones de prevención", en Fetoneonatología quirúrgica-Aspectos clínicos. Volumen I. Editorial Journal, 2018. ISBN-13 9789873954801
- Vishnopolska SA, Turjanski AG, Herrera Piñero M, Groisman B, Liascovich R, Chiesa A, Marti MA. Genetics and genomic medicine in Argentina.Mol Genet Genomic Med. 2018 Jul 26. doi: 10.1002/ mgg3.455.
- 11. Groisman B, Barbero P, Mastroiacovo P, Botto LD, Bidondo MP, Liascovich R. Application of quality indicators to data from the National Network of Congenital Anomalies of Argentina. Birth Defects Research. 2019;1–8 https://doi.org/10.1002/bdr2.1472
- 12. Groisman B, Mastroiacovo P, Barbero P, Bidondo MP, Liascovich R. Botto LD, A proposal for the systematic assessment of data quality indicators in birth defects surveillance. Birth Defects Research. 2019;1–8 https://doi.org/10.1002/bdr2.1474
- Groisman, B., Liascovich, R., Bidondo, M.P. Barbero P., Duarte S., Telechea AL., Holguin J., Rodriguez C., Hurtado-Villa P., Caicedo N., Botta G., Zarante I. Birth defects surveillance: experiences in Argentina and Colombia. J Community Genet (2019). https://doi. org/10.1007/s12687-018-00403-6
- 14. Albarracín MÁ, Groisman B, Liascovich R, Barbero P,

- Bidondo MP. Síndrome lumbocostovertebral: primer reporte de caso en Argentina. Arch Argent Pediatr 2019;117(4):e377-e381. https://doi.org/10.26633/RPSP2019.44
- 15. Martini J, Bidondo MP, Duarte S, Liascovich R, Barbero P, Groisman B. Birth prevalence of Down syndrome in Argentina. Salud Colect. 2019 Jul 29;15:e1863. doi: 10.18294/sc.2019.1863.
- 16. Bakker MK, Bergman JEH, Krikov S, Amar E, Cocchi G, Cragan J, de Walle HEK, Gatt M, Groisman B, Liu S, Nembhard WN, Pierini A, Rissmann A, Chidambarathanu S, Sipek A Jr, Szabova E, Tagliabue G, Tucker D, Mastroiacovo P, Botto LD. Prenatal diagnosis and prevalence of critical congenital heart defects: an international retrospective cohort study. BMJ Open. 2019 Jul 2;9(7):e028139. doi: 10.1136/bmjopen-2018-028139.
- 17. Duran P, Liascovich R, Barbero P, Bidondo MP, Groisman B, Serruya S, De Francisco LA, Becerra F, Gordillo A. Sistemas de vigilancia de anomalías congénitas en países de América Latina y Caribe: presente y futuro. Rev Panam Salud Publica. 2019;43:e44. https://doi.org/10.26633 / RPSP.2019.44

Publicaciones anteriores de RENAC

Reportes RENAC: http://www.anlis.gov.ar/cenagem/?page_id=33

- 2011. Liascovich R., Gili JA, Valdez R, Somaruga L, Goldshmidt E, Bronberg R, Ricagni C, Mussi M, Medina A, Deguer C; Menzio M, Guevel C, Fernández MM, Marconi E, López Camelo JS. Desarrollo de un registro nacional de anomalías congénitas: estudio piloto de factibilidad. Revista Argentina de Salud Pública 2011; 2(6):6-11. http://www.rasp.msal.gov.ar/rasp/articulos/volumen6/registro-nacional.pdf
- 2011. Barbero P, Liascovich R, Valdez R, Moresco A. Efecto teratogénico del misoprostol: un estudio prospectivo. Arch Argent Pediatr 2011;109(3):226-231 http://www.scielo.org.ar/pdf/aap/v109n3/v109n3a07.pdf
- 2013. Groisman B, Bidondo MP, Barbero P, Gili J, Liascovich R y Grupo de Trabajo RENAC. Registro Nacional de Anomalías Congénitas de Argentina. Arch Argent Pediatr 2013; 111(6):484-494. http://www.scielo.org.ar/pdf/aap/v111n6/v111n6a06.pdf
- 2013. Groisman B, Bidondo MP, Gili J, Barbero P, Liascovich R. Strategies to Achieve Sustainability and Quality in Birth Defects Registries: The Experience of the National Registry of Congenital Anomalies of Argentina. Journal of Registry Management 2013; vol 40 (1): 29-31. https://www.ncbi.nlm.nih.gov/pubmed/23778694
- 2014. Martín MC; Cristiano E; Villanueva M, Bonora MC, Berguio N, Tocci A, Groisman B, Bidondo MP, Liascovich R, Barbero P. Esophageal atresia and prenatal exposure to mycophenolate. Reproductive Toxicology 2014; (50) 117–121. https://www.ncbi.nlm.nih.gov/pubmed/25461910
- 2014. Ercoli G, Bidondo MP, Senra BC, Groisman B. Apert syndrome with omphalocele: a case report. Birth Defects Res A Clin Mol Teratol. 2014 Sep;100(9):726-9. doi: 10.1002/bdra.23270. https://www.ncbi.nlm.nih.gov/pubmed/25045033

- 2014. Bidondo MP, Groisman B, Gili J, Liascovich R., Barbero P y Grupo de Trabajo RENAC. Prevalencia de anomalías congénitas en Argentina y su potencial impacto en los servicios de salud. Rev Argent Salud Pública 2014; 5(21): 38-44. http://www.rasp.msal.gov.ar/rasp/articulos/volumen21/38-44.pdf
- 2014. Martín MC, Barbero P, Groisman B, Aguirre MÁ, Koren G. Methotrexate embryopathy after exposure to low weekly doses in early pregnancy. Reprod Toxicol. 2014 Jan;43:26-9. https://www.ncbi.nlm.nih.gov/ pubmed/24513926
- 2015. Ormazabal M, Vaccari N, Szulepa R, Bidondo MP, Barbero P, Groisman B. Acheiropodia: first case report in Argentina. Arch Argent Pediatr. 2015 Oct;113(5):e299-303. doi: 10.5546/aap.2015. e299. https://www.sap.org.ar/docs/publicaciones/archivosarg/2015/v113n5a25.pdf
- 2015. Bidondo MP, Groisman B, Barbero P, Liascovich R. Public health approach to birth defects: the Argentine experience. Journal of Community Genetics 2015; Volume 34 Number 2 January 15-22. https://www.ncbi.nlm.nih.gov/pmc/articles/PMC4356676/
- 2015. Flores A, Valencia D, Sekkarie A, Hillard CL, Williams J, Groisman B, Botto LD, Peña-Rosas JP, Bauwens L, Mastroiacovo P. Building capacity for birth defects surveillance in Africa: Implementation of an intermediate birth defects surveillance workshop. J Glob Health Perspect. 2015;2015. https://www.ncbi.nlm.nih.gov/pubmed/26753106
- 2015. Bidondo MP, Groisman B, Gili JA, Liascovich R y Barbero P. Estudio de prevalencia y letalidad neonatal en pacientes con anomalías congénitas seleccionadas con datos del Registro Nacional de Anomalías Congénitas de Argentina. Arch Argent Pediatr 2015; Ago 113(4):295-302. http://www.scielo.org.ar/pdf/aap/v113n4/v113n4a04.pdf
- 2015. Sargiotto C, Bidondo MP, Liascovich R, Barbero P, and Groisman B. Descriptive Study on Neural Tube Defects in Argentina. Birth Defects Res A Clin Mol Teratol2015; Jun; 103(6):509-16. https://www.ncbi.nlm.nih.gov/pubmed/25855266
- 2015. Bidondo MP, Liascovich R, Barbero P, Groisman B. Prevalencia de defectos del tubo neural y estimación de casos evitados posfortificación en Argentina. Arch Argent Pediatr 2015; 113(6):498-501. http://www.scielo.org.ar/pdf/aap/v113n6/v113n6a08.pdf
- 2015. López B, Polo C, Martín MC, Mercado G, Groisman B, Bidondo MP, Liascovich R, Barbero P. Secuencia Moebius. Análisis retrospectivo de 30 pacientes. Medicina Infantil 2015; Vol. XXII N° 2, 76-82. http://www.medicinainfantil.org.ar/images/stories/volumen/2015/xxii_2_078.pdf
- 2016. Groisman B, Bidondo MP, Liascovich R, Barbero P. Microcefalia en Argentina según datos de la Red Nacional de Anomalías Congénitas. Rev Argent Salud Pública 2016; Mar; 7(26):39-42. http://www.rasp.msal.gov.ar/rasp/articulos/volumen26/39-42.pdf
- 2016. Groisman B, Bidondo MP, Barbero P, Liascovich R. La Red Nacional de Anomalías Congénitas (RENAC): objetivos ampliados de la vigilancia. Arch Argent Pediatr 2016; 114(4):295-297. http://www.scielo.org.ar/pdf/aap/v114n4/v114n4a04.pdf
- 2016. Groisman B, Liascovich R, Gili J, Barbero P, Bidondo MP, and the RENAC Task Force. Sirenomelia

- in Argentina: prevalence, geographic clusters and temporal trends analysis. Birth Defects Res A Clin Mol Teratol 2016; 106:604-611. http://onlinelibrary.wiley.com/doi/10.1002/bdra.23501/full
- 2016. Bidondo MP, Groisman B, Tardivo A, Tomasoni F, Tejeiro V, Camacho I, Vilas M, Liascovich R, Barbero P. Diprosopus: Systematic review and report of two cases. Birth Defects Res A Clin Mol Teratol. 2016 Oct 5. doi: 10.1002/bdra.23549.
- 2016. Luppo VC, Morales MA, Groisman B, Fabbri CM, Baricalla AA, Ferocci M, Gonzalez G, Alonso A, Bidondo MP, Liascovich R, Barbero P, Enria DA. Utilidad de las técnicas serológicas en el estudio de virus zika (ZIKV) en recién nacidos con microcefalia y/o anomalías cerebrales en Argentina, 2016-2017. XVII Congreso Sociedad Argentina de Infectología (SADI), Mar del Plata, 15 al 17 de junio de 2017.
- 2017. Groisman B; Gili J, Gimenez L, Poletta F, Bidondo MP, Barbero P, Liascovich R, López-Camelo J. Geographic clusters of congenital anomalies in Argentina. J Community Genet; 2017 Jan; 8(1): 1–7.
- 2017. Bidondo MP, Morales MA, Luppo V, Baricalla A, Gonzalez C, Alonso A, Ledesma B, Liascovich R, Barbero P. Microcephaly in newborn from the National Network of Congenital Anomalies (RENAC) in Argentina: its relationship with Zika virus and other congenital infections. 8th International Conference on Birth Defects and Disabilities in the Developing World, 8-11 noviembre 2017, Bogotá, Colombia.
- 2017. http://www.anlis.gov.ar/cenagem/wp-content/uploads/2017/07/PAUTAS-MICROCEFALIA-y-ZIKA-RENAC-UNICEF.pdf
- 2017. Durán P, Valencia D, Groisman B, Liascovich R, Barbero P, Benavides A, Barboza MP, Caicedo N, Puerto A, Hurtado-Villa P, Zarante I. Opportunities for Strengthening Birth Defects Surveillance Systems: Implementation of a Birth Defects Surveillance Workshop in Latin America. 8th International Conference on Birth Defects and Disabilities in the Developing World, 8-11 noviembre 2017, Bogotá, Colombia.

Libros y Capítulos de Libros

- 2016. Bidondo MP, Groisman B, Barbero P, Liascovich R. Capítulo "Epidemiología de las anomalías congénitas" (pag 101-149), en Programa de Actualización en Neonatología (PRONEO), número 16, módulo N° 3, Editorial Médica Panamericana, 2016 (ISSN1515-2693).
- 2019. De Francisco A, Serruya S, Duran P, Gordillo-Tobar A, Groisman B, Liascovich R, Bidondo MP, Barbero P, Valencia D, Hurtado PM, Zarante I, Benavides A, Botto L, Mastroiacovo P, Sanhueza A, Soliz P, Orioli I, López Camelo J, Walani S. Presente y futuro de la vigilancia de defectos congénitos en las Américas. Organización Panamericana de la Salud, Organización Mundial de la Salud, Banco Mundial, en prensa.

Tesis doctorales en curso

 Boris Groisman: "Exposición prenatal a plaguicidas y riesgo de anomalías congénitas en la descendencia".
 Facultad de Medicina, UBA. Director de tesis: Rosa Liascovich.

 María Paz Bidondo: "Aplicación de Tecnologías de la Información y la Comunicación (TIC) en la vigilancia de anomalías congénitas". Facultad de Medicina, UBA. Director de tesis: Pablo Barbero.

Proyectos de investigación de RENAC de los años 2018- 2019

- "Programa de mejora de la atención y cuidado de recién nacidos con microcefalia y/o malformaciones cerebrales en el contexto de la epidemia de virus Zika", UNICEF. 2017 y 2018.
- "Estudio de prevalencia, referencia y tratamiento oportuno de recién nacidos con talipes en Argentina con información de la Red Nacional de Anomalías Congénitas". Beca de iniciación Abraam Sonis otorgada por la Dirección Nacional de Investigación en Salud, Ministerio de Salud y Desarrollo Social (mayo 2017 a abril 2018) (becaria: Dra. Nadia Pauselli).
- "Detección prenatal de anomalías congénitas en Argentina utilizando datos de la Red Nacional de Anomalías Congénitas (RENAC)". Beca de perfeccionamiento Abraam Sonis otorgada por la Dirección Nacional de Investigación en Salud, Ministerio de Salud y Desarrollo Social (mayo 2017 a abril 2018) (becaria: Dra. Carla Sargiotto).
- "Características del tratamiento recibido por los niños con fisura labio alvéolo palatina en el subsector público, en Argentina", Beca de perfeccionamiento Abraam Sonis otorgada por la Dirección Nacional de Investigación en Salud, Ministerio de Salud y Desarrollo Social (mayo 2018 a abril 2019; becaria: Dra. Cristina Cipolla).
- "Estudio de prevalencia, características clínicas y detección prenatal de las cardiopatías congénitas en Argentina". Beca Fundación Fiorini. Abril 2018 a marzo 2019; becario Dr. Santiago Duarte).
- "Microcefalia y/u otras anomalías cerebrales en recién nacidos de Argentina en maternidades de la RENAC: evaluación de la prevalencia, variaciones geográficas y temporales y estimación del riesgo a través de un estudio de casos y controles". Beca de la Fundación Fiorini (abril 2018 a marzo 2019; becario Dr. Pablo Barbero).
- "Defectos genómicos en anomalías congénitas múltiples y cardiopatías congénitas", PID Clínico, Agencia Nacional de Promoción Científica y Tecnológica (Equipo de RENAC como colaboradores del Proyecto). En curso.

Reportes de años anteriores

Disponibles en: http://www.anlis.gov.ar/cenagem/?page_id=33



AGRADECIMIENTOS

En primer lugar, queremos agradecer especialmente a todos los médicos, enfermeras, obstétricas y asistentes administrativos de los hospitales, que hacen posible la RENAC.

Además, a los siguientes colegas y amigos por el apoyo permanente:

A los colegas del Instituto Nacional de Enfermedades Virales Humanas (INEVH): Silvana Levis, Alejandra Morales, Victoria Luppo, Agustin Baricalla, Ana María Briggiler Anabel Sinchi, Cintia Fabbri y del Instituto Nacional de Enfermedades Infecciosas (INEI): Viviana Molina, Alicia Alonso, Cecilia Gonzalez, Juan Manuel Marengo, Bibiana Ledesma, Lorena Laporte.

A Romina Armando y colegas del Programa de Enfermedades Poco Frecuentes y Anomalías Congénitas.

A Carlos Guevel y Karina Loiacono, de la Dirección Nacional de Estadísticas e Información de Salud, Ministerio de Salud y Desarrollo Social, Argentina.

A Pablo Durán, Consultor Regional en Salud Perinatal, en el Centro Latinoamericano de Perinatología, Salud de la Mujer y Reproductiva (CLAP/SMR) de la Organización Panamericana de la Salud (OPS/OMS).

A Diana Valencia, de los Centros de Prevención y Control de Enfermedades (CDC).

A Pierpaolo Mastroiacovo y Lorenzo Botto, del Centro Coordinador de la International Clearinghouse for Birth Defects Surveillance and Research (ICBDSR).

A Jorge S. López Camelo, Viviana Cosentino, Fernando Poletta, Juan Gili y Lucas Giménez del Estudio Colaborativo Latinoamericano de Malformaciones Congénitas (ECLAMC).

A los colegas de Latinoamérica Ignacio Zarante y Paula Hurtado, de Universidad Javeriana de Bogotá y Cali y a Adriana Benavidez y Maripaz Barboza, del Centro de Registro de Enfermedades Congénitas de Costa Rica-CREC/INCIENSA.

A los genetistas Pablo Lapunzina, del Instituto de Genética Médica y Molecular (INGEMM) del Hospital Universitario la Paz de Madrid, España y Lavinia Lavinia Schuler-Faccini del Departamento de Genetica, Universidade Federal do Rio Grande do Sul. Serviço de Genética Médica / Hospital de Clinicas de Porto Alegre. Brasil, que siempre colaboran con RENAC.

A Fernando Zingman, Analía Uruena y Julia Anciola, de UNICEF Argentina.

Finalmente, agradecer a todos los profesionales, técnicos y administrativos del Centro Nacional de Genética Médica (CNGM), ANLIS, Ministerio de Salud y Desarrollo Social, Argentina.



NOTAS TÉCNICAS DEFINICIONES

Anomalías congénitas

Las anomalías congénitas son alteraciones morfológicas o funcionales, de etiopatogenia prenatal y presentes desde el nacimiento, aun cuando se detecten más tardíamente en el ciclo de vida.

Definición de caso

De acuerdo a su gravedad las anomalías congénitas se clasifican en anomalías mayores o menores; las mayores tienen un impacto importante en la salud del individuo (i.e. mielomeningocele) o afectan su fenotipo de modo conspicuo (i.e. polidactilia); las menores no producen impacto en la salud ni un defecto físico importante (i.e. pliegue palmar único). En la RENAC se incluyen recién nacidos con anomalías congénitas estructurales mayores, externas o internas, identificadas desde el nacimiento hasta el alta del hospital y detectadas al examen físico o por estudios complementarios, intervenciones o autopsia en caso de fallecimiento. Se incluyen todos los recién nacidos vivos y los fetos muertos que pesen 500 gramos o más. Las anomalías menores se excluyen si se encuentran aisladas, pero se registran cuando acompañan anomalías mayores. Se excluyen recién nacidos que solo presenten anomalías congénitas funcionales (errores congénitos del metabolismo y sorderas congénitas, por ejemplo).

Funcionamiento operativo de la RENAC

- En la RENAC la recolección de datos está a cargo de un equipo responsable en cada maternidad, formado en general por dos profesionales del área de recepción de los recién nacidos.
- Se utiliza un formulario especial (ANEXO 1) donde se consigna cada recién nacido con anomalías congénitas, se describen las anomalías y se completan otras variables adicionales siguiendo procedimientos estandarizados en un Manual Operativo y un Atlas.
- Los datos se almacenan en un archivo electrónico y se envían mensualmente a la coordinación a través de una página web de acceso restringido.
- La coordinación, integrada por genetistas, revisa la calidad de las descripciones y codifica las anomalías congénitas.
- El análisis de la información se realiza para categorías de anomalías congénitas agrupadas y para un conjunto de anomalías específicas seleccionadas de acuerdo a su frecuencia, importancia clínica y posibilidad de ser comparadas con otros registros del mundo (ver definiciones en el ANEXO 2). Los datos se presentan en términos de prevalencia al nacimiento.³³ Al desagregar las frecuencias por jurisdicciones o por anomalías específicas, el número de casos se reduce, por lo que debe tenerse en cuenta que en las jurisdicciones que tienen pocos nacimientos o en las anomalías específicas que presentan un reducido número de casos, las prevalencias pueden presentar variaciones importantes que no necesariamente reflejan la real situación epidemiológica.

 La difusión de la información se realiza a través de reportes periódicos con información procesada y tabulada, que se comunican a los hospitales participantes y a las autoridades de salud nacionales y provinciales.

Interacción a distancia

La página web de la RENAC es un sistema de comunicación virtual a través del cual los participantes no sólo envían mensualmente los datos, sino que también interactúan, intercambiando opiniones sobre casos clínicos y solicitan apoyo técnico para el diagnóstico de los pacientes más complejos. La página web del RENAC está organizada como un sistema de comunicación con formato de foros. Mediante foros exclusivos para cada hospital el equipo responsable envía los datos y la coordinación realiza los reparos; en foros comunes a todos los hospitales se resuelven las dudas operativas, se discuten casos seleccionados y se publican recursos académicos. Cada referente tiene un perfil con su nombre y fotografía, y puede acceder al sitio web en cualquier momento para enviar consultas o comentarios. Al mismo tiempo, el intercambio a través de los foros es una intervención en un contexto clínico, que orienta sobre el manejo inicial de los recién nacidos afectados. Según cada caso, se analizan fotografías y estudios complementarios que se envían a través del foro, previa solicitud del consentimiento informado a los padres. Asimismo, la coordinación colabora en la derivación de los casos a los servicios de genética y en el traslado de muestras para estudios de laboratorio de mayor complejidad.

Clasificación de los casos

Según su presentación los casos fueron clasificados en:

- Casos aislados: presentan una anomalía congénita mayor única, o dos o más anomalías congénitas mayores sólo si corresponden a una secuencia o se encuentran en la misma estructura corporal. Ejemplos: labio y paladar hendidos, cardiopatía compleja, espina bífida con hidrocefalia.
- Casos con anomalías congénitas múltiples: presentan dos o más anomalías congénitas mayores que afectan estructuras corporales diferentes, no relacionadas, de etiología desconocida, que pueden corresponder a un patrón conocido (asociaciones) o no.
- Síndromes: casos que presentan una causa definida sea genética o no. Ejemplos: síndrome de Down, síndrome de rubeola congénita.
- 33. La prevalencia al nacimiento es una proporción donde el numerador es el número de recién nacidos vivos y fetos muertos con anomalías congénitas específicas y el denominador consiste en el número total de nacidos vivos y fetos muertos. Por lo general se incluye un factor de multiplicación que suele ser 1.000 o 10.000, dependiendo de las categorías de anomalías consideradas (ver Mason CA, Kirby RS, Sever LE, Langlois PH. Prevalence is the preferred measure of frequency of birth defects. Birth Defects Research (Part A). 2005; 73:690-692).



FIGURAS Y TABLAS

SECCIÓN 1: GENERALIDADES

Figura 1: Etapas de la recolección y envío de datos, codificación de las anomalías, procesamiento y difusión de la información.

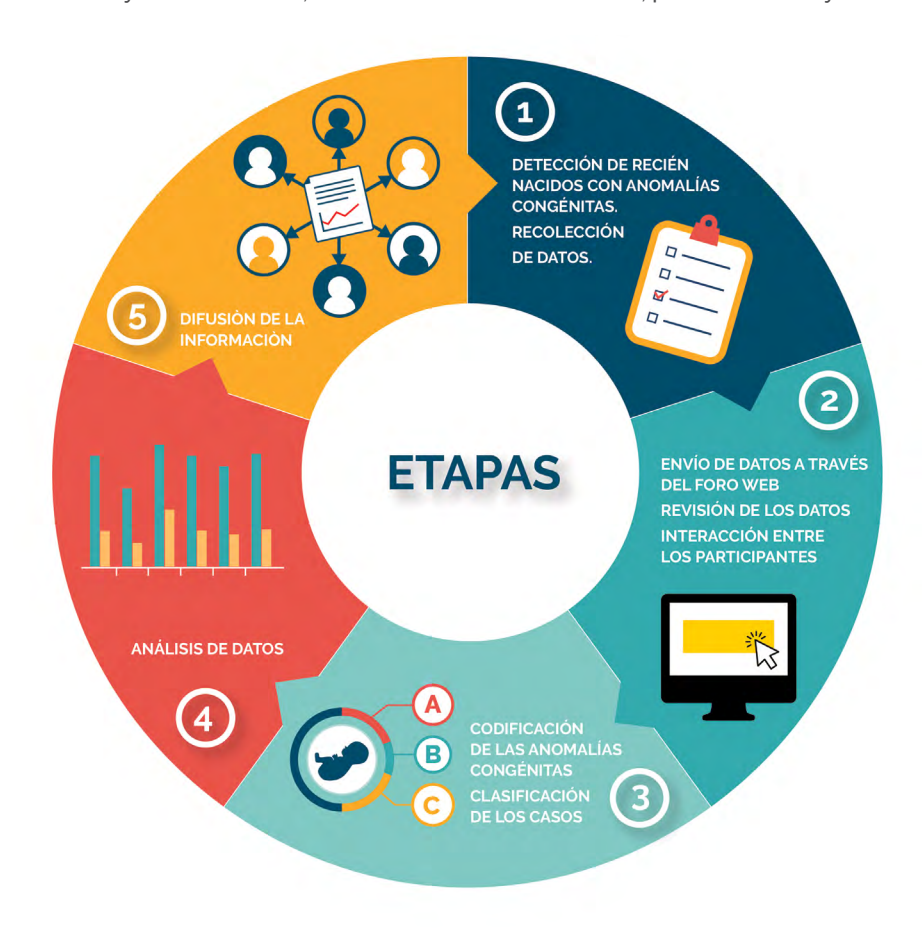
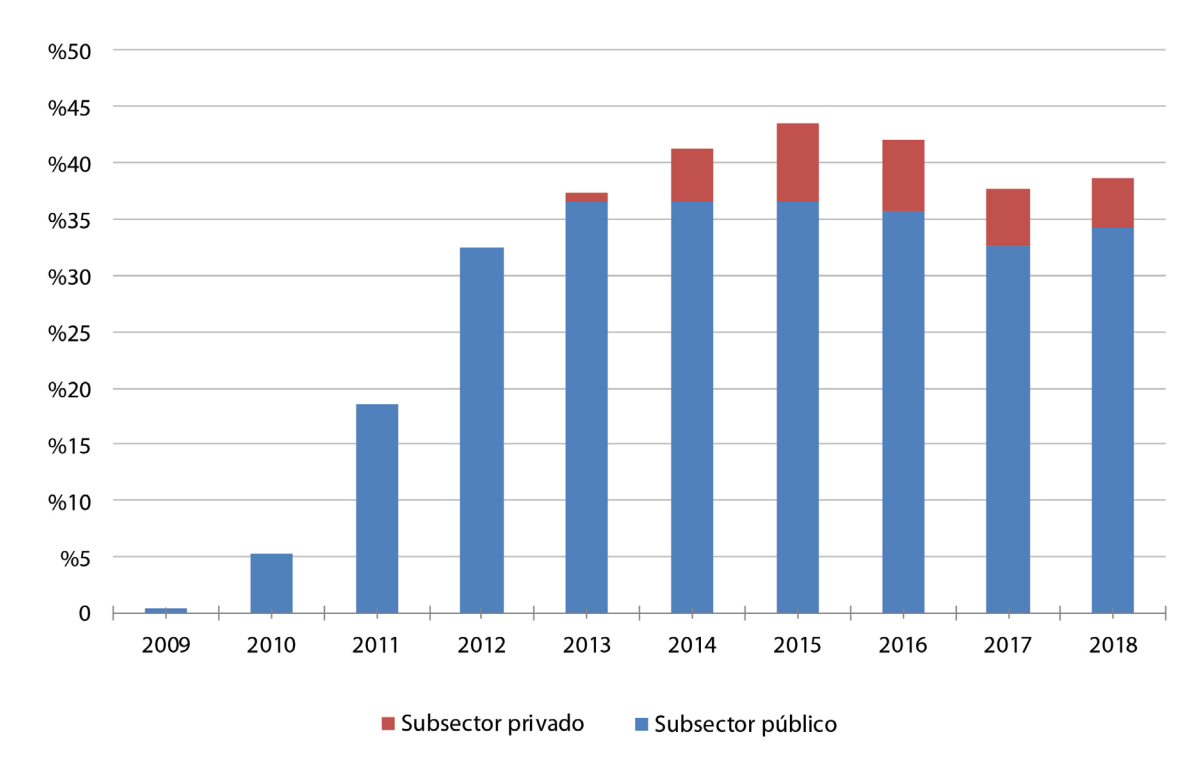


Figura 2: Evolución cobertura de la RENAC 2009-2018. Argentina.



20

Tabla 1: Hospitales incorporados a la RENAC y responsables en cada uno de ellos.

HOSPITALES POR JURISDICCIÓN Y SUBSECTOR	RESPONSABLES DE LA RENAC
BUENOS AIRES - SUBSECTOR PÚBLICO	
Htal. Alende - LOMAS DE ZAMORA	Claudia Cuestas
Htal. Ana Goitía - AVELLANEDA	Soraya Vallejo - Valeria Vera - Paula Lopez
Htal. Argentina Diego - AZUL	Victoria Rizzo
Htal. Penna - BAHÍA BLANCA	María Fernanda Maurín - Marina Bolletta
Hospital Dr. Angel Marzetti - CAÑUELAS	Jimena Paz - Silvia Marelli
Htal. NEO - Buenos Aires, Hospital San Vicente de Paul - CHASCOMÚS	Jorge Rodríguez- Marcela Arias- Kimei Quesada
Htal. Pedro Chutro - SAN ANTONIO DE PADUA	Andrea Puss Barraza
Htal. Ramón Carrillo - CIUDADELA	Diego Steinberg
Htal. Cuenca Alta Nestor Kirchner -CAÑUELAS	Arrua Maria Jose - Zuza Maria Pilar - Sleimen Ana Inés
Htal. Mariano y L. De La Vega - MORENO	Sabrina Chattah - Adriana Dagostino
Htal. Equiza - GONZALEZ CATÁN	Gustavo Sabatini
Htal. Eva D. de Perón - MALVINAS ARGENTINAS	Elisa Duro
Htal. Eva Perón - SAN MARTÍN	Maricel Pontorno - Andrea Becerra
Htal. Evita - LANÚS OESTE	Analia Rueda - Ana Clara Requiterena- Graciela Schabvlosky
Htal. Evita Pueblo - BERAZATEGUI	Fabián Tomasoni -Graciela Luna - Fiorela Ciatti
Htal. Gandulfo - LOMAS DE ZAMORA	Daniela Amor - Viviana Cosentino
Hospital Municipal Juan de la Fuente - GRAL. BELGRANO	Mercedes Lamenza
Htal. Ricardo Gutiérrez - LA PLATA	Santiago Silva Loiacono - Maria Fernanda Baglivo
Htal. Héctor Cura - OLAVARRÍA	Alejandra Capriata - Florencia Golinelli
Htal. Municipal Gral. Viamonte - JUNIN	Jorge Herce
Htal. Iriarte - QUILMES	Graciela Carballido - Orlando Otondo Ibarra - Fernando Monti
Htal. Abraham Piñeyro - JUNÍN	Jorge Herce - Sonia Moretta
Htal. Zonal de Las Flores - LAS FLORES	Martin Traut
Maternidad Estela de Carlotto - MORENO	Julieta Sada
Hosp. Materno Infantil Dr. Florencio Escardó - TIGRE	Cristina Gancedo - Walter Witlis - Paula Martinez - Ana Laura Trisi
Hosp. Hugo Meisner - Derqui - PILAR	Stella Maris Benitez - Natalia González
Hosp. Lucio Meléndez - ADROGUÉ	Natalia Molina
Htal. Mi Pueblo - FLORENCIO VARELA	Cecilia Iraira
Htal. Municipal Emilia Ferreyra - NECOCHEA	Liliana Espelet
Htal. Arturo Oñativia - RAFAEL CALZADA	Alejandra Allende
Htal. M. V. Martínez - PACHECO	Stella Maris Benitez
Htal. San José - PERGAMINO	Ángela Pacífico
Htal. Diego Paroissien- LA MATANZA	Nancy Gonzalez - Florencia Alcaino - Romina Cabrera
Htal. Nacional Alejandro Posadas - HAEDO	Natalia Cardillo - Daiana Baldasarre - Maria Elena Borda - Maria Valeria Garcia - Liliana Errandorrea -
Htal. San Felipe - SAN NICOLÁS	Graciela Olocco - Ana Lascialandare
Htal. Carlos Gianantonio - SAN ISIDRO	Romina Marconi
Htal. San Martín - LA PLATA	Graciela Ramos - Marcos Miró - Paola Juliano
Htal. San Roque - LA PLATA	Noemí Orellano - Ana Ceccon - María Rosa Toncich - Daniel Lanteri -
Htal. Mat. Santa Rosa - VICENTE LOPEZ	Carina Tula
Hospital Simplemente Evita - GONZALEZ CATAN	Valeria Fernandez Viña
Htal. Ramón Santamarina - TANDIL	Gladys Reboredo
Htal. Tetamanti - MAR DEL PLATA	Eduardo Gil - Jorge Raverta - Betiana Bueno
Htal. Diego Thompson - SAN MARTÍN	Verónica Zanoni
Htal. Virgen del Cármen - ZÁRATE	Maria Elsa Penon
<u> </u>	INIGITA LISA FETIUTI
BUENOS AIRES – SUBSECTOR PRIVADO	Cofie lugraz Dažalna, Cohriel Musente
Hospital Universitario Austral - PILAR	Sofia Juarez Peñalva - Gabriel Musante
Clínica Centro de Junín - JUNIN	Jorge Herce

Clínica Privada de Monte Grande - MONTE GRANDE	Daniela Amor
Htal. Italiano Regional del Sur - BAHÍA BLANCA	Claudia Diaz Arguello
Htal. San Juan de Dios - RAMOS MEJÍA	Andrea Puss Barraza
Sanatorio Juncal - TEMPERLEY	Paula Santos
Sanatorio Junín - JUNÍN	Jorge Herce - Sonia Monetta - Angeles Maurizi
Sanatorio de la Trinidad - SAN ISIDRO	Andrea Praprotnik - Valeria Romero
CIUDAD AUTÓNOMA DE BUENOS AIRES – SUBSECTOR PÚBLICO	
Htal. Álvarez - CABA	Adriana Israilev - M Luisa Celadilla
Htal. Argerich - CABA	Karenith Santome
Htal. Durand - CABA	Julio Falk - Noemí Nakayama - Sebastian Menazzi
Htal. Fernández - CABA	Ernesto Goldschmidt - Paula Molina - Sol Andersen
Htal. de Pediatría Juan P Garrahan- CABA	Claudia Cannizaro
Htal. Penna - CABA	Elena Cristiano
Htal. Piñeiro - CABA	Mariana Panzitta - Gabriela Hernández - Claudia Epelbaun.
Htal. Pirovano - CABA	Alberto Capriata
Htal. Ramos Mejía - CABA	Rubén Bronberg
Htal. Rivadavia - CABA	Silvia Miguelez
Htal. Santojanni - CABA	Daniela Rottenberg
Htal. Mat. Sardá - CABA	Graciela Fernández - M. Carmen Arbones
Htal. Dalmacio Vélez Sarsfield - CABA	Patricia Masi - Maria Silva
CIUDAD AUTÓNOMA DE BUENOS AIRES – SUBSECTOR PRIVADO	
Htal. Alemán - CABA	Ana Laura Tellechea - Eva Serafin
Sanatorio Anchorena - CABA	Flavia Minini - Maria Angelica Vilardo
Htal. Churruca Visca - CABA	Verónica Mohando - Graciela Farinella
Htal de Clínicas José de San Martín - CABA	Estela EnriquezGraciela Corral
Sanatorio Mater Dei - CABA	Patricia Brucellaria
Sanatorio Otamendi - CABA	Graciela Fernández - Patricia Gatti - Volpe M - Baston C
Clínica Santa Isabel - CABA	Norberto Leonardo Suarez - Julio Falk
Sanatorio de la Trinidad de Palermo - CABA	Laura García - Norma Rossato -Lucia Segovia
CATAMARCA – SUBSECTOR PÚBLICO	
Mat. 25 de Mayo - S. F. DEL V. DE CATAMARCA	Inés Camacho - Monica Kutscherauer
CHACO – SUBSECTOR PÚBLICO	
Htal. Gral. Güemes - CASTELLI	Rosana Medina
Htal. 9 de Julio - LAS BREÑAS	Maida Morzan
Htal. J. Perrando - RESISTENCIA	Carolina Dellamea - Eliana Darchez - Daniela Caceres - Valeria Neris
Htal. Dr. Jorge Oscar Vázquez, TRES ISLETAS	Virginia Manresa
CHUBUT - SUBSECTOR PÚBLICO	
Htal. C. Rivadavia - COMODORO RIVADAVIA	Maximiliano Medina Alarcón - Maria de los Angeles de Haro
Htal. Zonal de Esquel - ESQUEL	Martín Batisttesa
Htal. Andrés Isola - PUERTO MADRYN	María Soledad Silva
Htal. Sub Zonal Santa Teresita - RAWSON	Natalia Ribero - Ricardo Barrenechea -
Htal. C. Materno - Infantil de Trelew - TRELEW	Raúl Musante
CHUBUT - SUBSECTOR PRIVADO	
Sanatorio Mat. Santa María - PUERTO MADRYN	Andrea Suppo
CÓRDOBA – SUBSECTOR PÚBLICO	
Htal. Aurelio Crespo - CRUZ DEL EJE	Carlos Otto Kronwitter
Htal. Materno Neonatal - CORDOBA	Silvana Cagliero - Marcela Beatriz Quaglia
Htal. Maternidad Provincial - CORDOBA	Susana del Valle Ramaciotti - Clara Montenegro
Htal. Misericordia - CORDOBA	Cecilia Palmieri

Htal. Príncipe de Asturias - VILLA EL LIBERTADOR	Paola Lopez - Martin Moya
Htal. Río IV - RÍO CUARTO	María Laura Bonora - Giachino Ivana
Htal. Santa Rosa - RÍO PRIMERO	Martin Salomon
Htal. J. B. Iturraspe - SANFRANCISCO	Perassi Diego
Htal. Pasteur - VILLA MARÍA	Patricia Calvo
CÓRDOBA – SUBSECTOR PRIVADO	
Htal. Privado de Córdoba - CÓRDOBA	Florencia Pabletich - Norma Rossi
CORRIENTES - SUBSECTOR PÚBLICO	
Htal. Ángela Iglesias del Llano - CORRIENTES	Laura Palacios
Htal. San José - CORRIENTES	Jose Vergara - Sol Díaz Burgo - Ernesto Avezada
Htal.Vidal - CORRIENTES	María del Rosario - Córdoba Elsa Aguirre
ENTRE RÍOS - SUBSECTOR PÚBLICO	
Htal. Centenario - GUALEGUAYCHÚ	Margarita Otaegui - Esteban Alazard - Mercedes Carmona
Htal. Masvernat - CONCORDIA	Gladis Wallingre
Htal. San Roque - PARANÁ	Eliana Guichard - Andres Schenquer - Marisel Cabrera
Htal. Urquiza - CONCEPCIÓN DEL URUGUAY	Inés Piñero - Adriana Reinoso
ENTRE RÍOS - SUBSECTOR PRIVADO	
Mat. Concepción del Uruguay - CONCEPCIÓN DEL URUGUAY	Jorge Abraham - Silvina Marclay
FORMOSA - SUBSECTOR PÚBLICO	
Htal. Madre y Niño - FORMOSA	Carina González - Marilena Antinori
JUJUY - SUBSECTOR PÚBLICO	
Htal. Jorge Uro - LA QUIACA	Nora Tolaba
Htal. Orías - Libertador General San Martín	Alejandro Moragas
Htal. Guillermo Patterson - SAN PEDRO DE JUJUY	Mercedes Grau Toral - Esteban Kilez
Htal. Pablo Soria - SAN SALVADOR DE JUJUY	Julia Flores - Claudia Carlos - Sonia Alavar
LA PAMPA – SUBSECTOR PÚBLICO	
Htal. E. Asist. Gdor. Centeno - GENERAL PICO	Alejandro Irrazábal
Htal. Lucio Molas - SANTA ROSA	Silvina Re - Martin Sierra Baigorria
LA RIOJA – SUBSECTOR PÚBLICO	
Htal. Eleazar Herrera Motta - CHILECITO	Marcela Soria - Mariela Marisel Muñoz
Htal. De la Madre y el Niño (ex Vera Barros) - LA RIOJA	Soledad Carrizo del Moral - Susana Beatriz Garello
MENDOZA – SUBSECTOR PÚBLICO	
Htal. Regional Malargue- MALARGUE	Julia Palacio
Htal. Paroissien - MAIPÚ	Claudia Beatriz Pizarro
MENDOZA – SUBSECTOR PRIVADO	
Htal. Virgen de la Misericordia - MENDOZA	Analía Ezquer - María Jose Guillamondequi
MISIONES – SUBSECTOR PÚBLICO	
Htal. De L. N. Alem - LEANDRO N ALEM	Alicia Scialabba
Htal. Allassia - APOSTOLES	Adriana Filipini
Htal. El Dorado - EL DORADO	Evelyn Heliana Spengler
Htal. Ramón Madariaga - POSADAS	Maria Beatriz Dedieu - Mónica Kosteki
Htal. Oberá - OBERA	Nelly Vaccari - Roberto Samuel Szulepa
NEUQUÉN - SUBSECTOR PÚBLICO	
Htal. Castro Rendon - NEUQUÉN	Evangelina Bárbaro - Silvia Avila
Htal. Heller - NEUQUÉN	Silvia Avila - Laura Portillo - María Virginia Olea
Htal. Junín de los Andes - JUNÍN DE LOS ANDES	Alina Zanchetta
Htal. R. Carrillo - SAN MARTÍN DE LOS ANDES	Bárbara Raimondo
Htal. R. Carrillo - SAN MARTÍN DE LOS ANDES NEUQUÉN - SUBSECTOR PRIVADO Maternidad San Lucas - NEUQUÉN	Bárbara Raimondo Celeste Muntaner - Claudia Weingart

0
2
0
N
0
≤
亩
α
rte
0
e
2

RÍO NEGRO - SUBSECTOR PÚBLICO	
Htal. Ramón Carrillo - BARILOCHE	María Fabiana Tenseyro - Mariela Vilte
Htal. Pedro Moguillansky - CIPOLLETTI	María Alejandra Villagra
RÍO NEGRO - SUBSECTOR PRIVADO	
Sanatorio San Carlos de Bariloche - BARILOCHE	Mariela Vilte
SALTA – SUBSECTOR PÚBLICO	
Htal. Materno Infantil (ex El Milagro) - SALTA	María de los Ángeles Albarracin - María Dolores Ruiz - Alejandro Gutierrez
Htal. S. Vicent Paul - S. RAMÓN DE ORÁN	Alexandra Villareal
Htal. Juan Domingo Perón - TARTAGAL	Beatriz Escalante
SAN JUAN – SUBSECTOR PÚBLICO	
Htal. Rawson - SAN JUAN	Alejandra Sanz - Mirta Armesto - Eleonora Haro
SAN LUIS – SUBSECTOR PÚBLICO	
Htal. Complejo Sanitario San Luis - SAN LUIS	Laura Espinosa - Monica Menzio
Htal. Juan Domingo Perón - VILLA MERCEDES	Patricia Mourelle
SAN LUIS - SUBSECTOR PRIVADO	
Clínica CERHU - SAN LUIS	Isabel Vergara - Marcelo Cardetti - María Cantisani
SANTA CRUZ – SUBSECTOR PÚBLICO	
Htal. Zonal de Caleta Olivia - CALETA OLIVIA	Juan Martoccia - Graciela Acosta
Htal. Gob. Cepernic - Néstor Kirchner - CALAFATE	Marta Ravenna
Htal. Regional de Río Gallegos - RÍO GALLEGOS	Alicia Susana Guanuco
SANTA FE – SUBSECTOR PÚBLICO	
Htal. Del Centenario - ROSARIO	Virginia Barbosa
Htal. J. M. Cullen - SANTA FE	Laura Peralta
Htal. Iturraspe - SANTA FE	Norma Dominguez - María Laura Tuchin
Htal. Jaime Ferre - RAFAELA	Miriam Estela Martínez - Flavia Ortego
Htal. Mat. Martín - ROSARIO	Susana Iracelay- Silvia Carbognani
Htal. Provincial de Rosario - ROSARIO	Verónica Willimburgh
Htal. Olga Stuki de Rizzi - RECONQUISTA	Paula Petroli
Htal. Eva Perón - ROSARIO	Natalia Vázquez Parachú - Natalia Falcone
Htal. Alejandro Gutiérrez - VENADO TUERTO	Leonardo Andrés Fedre - Mariño
SANTIAGO DEL ESTERO – SUBSECTOR PÚBLICO	
Htal. Ramón Carrillo - SANTIAGO DEL ESTERO	Claudia Jugo
Hospital zonal De Frias - FRIAS	Silvia Leticia Ibarra
TIERRA DEL FUEGO – SUBSECTOR PÚBLICO	
Htal. Río Grande - RIO GRANDE	Eduardo Zunino - Nicolas Senn
Htal. Ushuaia - USHUAIA	Roberto Moreyra
TUCUMÁN – SUBSECTOR PÚBLICO	
Htal. Belascuain - CONCEPCIÓN	Lorena González Arias
Htal. Del Este Eva Perón - S. M. DE TUCUMÁN	Ana Laura Quaglio - Adriana Salvatierra
Htal. Nicolás Avellaneda - S. M. DE TUCUMÁN	Viviana Analia Gramajo
Htal. Mat. N. Sra. Mercedes - S. M. DE TUCUMÁN	Marcela Rocha

Tabla 2: Hospitales según jurisdicción, subsector, fecha de incorporación a la RENAC y nacimientos examinados, año 2018.

Hospitales incorporados a RENAC	Fecha de incorporación	Total de nacimientos	ene-18	feb-18	mar-18	abr-18	may-18	jun-18	jul-18	ago-18	sep-18	oct-18	nov-18	dic-18
BUENOS AIRES – SUBSECTOR PÚBLICO														
Htal. Alende - LOMAS DE ZAMORA	may-2011	1020	SI	NO										
Htal. Ana Goitía - AVELLANEDA	may-2011	1918	SI	NO	NO									
Htal. Argentina Diego - AZUL	nov-2012	762	SI											
Htal. Penna - BAHÍA BLANCA	jun-2012	2494	SI											
Hospital Dr. Angel Marzetti - CAÑUELAS	nov-2016	453	SI											
Htal. NEO - Buenos Aires, Hospital San Vicente de Paul - CHASCOMÚS	sep-2018	92	NO	SI	SI	SI	SI							
Htal. Pedro Chutro - SAN ANTONIO DE PADUA	sep-2014	3191	SI											
Htal. Ramón Carrillo - CIUDADELA	mar-2013	337	SI	SI	SI	SI	SI	NO						
Htal. Cuenca Alta Nestor Kirchner -CAÑUELAS	jun-2018	237	NO	NO	NO	NO	NO	SI						
Htal. Mariano y L. De La Vega - MORENO	jun-2012	3188	SI											
Htal. Equiza - GONZALEZ CATÁN	jun-2012	1427	SI											
Htal. Eva D. de Perón - MALVINAS ARGENTINAS	ene-2015	2800	SI											
Htal. Eva Perón - SAN MARTÍN	jun-2012	811	SI											
Htal. Evita - LANÚS OESTE	ago-2010	1681	NO	NO	SI									
Htal. Evita Pueblo - BERAZATEGUI	may-2011	2709	SI	SI	SI	SI	NO	SI						
Htal. Gandulfo - LOMAS DE ZAMORA	oct-2010	2518	SI											
Hospital Municipal Juan de la Fuente - GRAL. BELGRANO	mar-2016	201	SI											
Htal. Ricardo Gutiérrez - LA PLATA	ago-2015	1518	SI											
Htal. Héctor Cura - OLAVARRÍA	ago-2014	600	SI											
Htal. Municipal Gral. Viamonte - JUNIN	ene-2015	117	SI											
Htal. Iriarte - QUILMES	ago-2011	2062	SI											
Htal. Abraham Piñeyro - JUNÍN	nov-2012	634	SI											
Htal. Zonal de Las Flores - LAS FLORES	abr-2017	166	SI											
Maternidad Estela de Carlotto - MORENO	oct-2015	1412	SI											
Hosp. Materno Infantil Dr. Florencio Escardó - TIGRE	ene-2015	4767	SI											
Hosp. Hugo Meisner - Derqui - PILAR	oct-2010	3320	SI											
Hosp. Lucio Meléndez - ADROGUÉ	may-2011	1807	SI											
Htal. Mi Pueblo - FLORENCIO VARELA	may-2011	5243	SI											
Htal. Municipal Emilia Ferreyra - NECOCHEA	abr-2013	697	SI											
Htal. Arturo Oñativia - RAFAEL CALZADA	may-2015	2125	SI	NO										
Htal. M. V. Martínez - PACHECO	oct-2010	1124	SI											
Htal. San José - PERGAMINO	nov-2012	721	NO	SI										
Htal. Diego Paroissien- LA MATANZA	oct-2010	755	NO	NO	NO	NO	SI	NO	SI	NO	NO	SI	SI	SI
Htal. Nacional Alejandro Posadas - HAEDO	mar-2010	4066	SI											
Htal. San Felipe - SAN NICOLÁS	jun-2012	1221	SI											
Htal. Carlos Gianantonio - SAN ISIDRO	jun-2012	1796	SI											
Htal. San Martín - LA PLATA	oct-2010	2830	SI											
Htal. San Roque - LA PLATA	oct-2010	1261	SI	NO	SI	NO								
Htal. Mat. Santa Rosa - VICENTE LOPEZ	jun-2012	1957	SI	NO	SI	NO	NO	SI						

2
H
\lesssim
. \
\forall
Ξ.
Ÿ
Φ
0
0
e P
_

						,			,				1	
Hospital Simplemente Evita - GONZALEZ CATAN	may-2016	1835	SI											
Htal. Ramón Santamarina - TANDIL	jun-2013	309	SI	SI	SI	SI	SI	SI	NO	NO	NO	NO	NO	NO
Htal. Tetamanti - MAR DEL PLATA	jun-2012	4529	SI											
Htal. Diego Thompson - SAN MARTÍN	jun-2012	1217	SI											
Htal. Virgen del Cármen - ZÁRATE	jun-2012	1117	SI		SI	SI	SI							
BUENOS AIRES – SUBSECTOR PRIVADO														
Hospital Universitario Austral - PILAR	abr-2016	2916	SI											
Clínica Centro de Junín - JUNÍN	ene-2017	90	SI											
Clínica Privada de Monte Grande - MONTE GRANDE	ago-2017	1724	SI											
Htal. Italiano Regional del Sur - BAHÍA BLANCA	jul-2015	454	SI	SI	SI	SI	SI	NO	SI	SI	SI	SI	SI	SI
Htal. San Juan de Dios - RAMOS MEJÍA	feb-2014	1316	SI	NO	SI									
Sanatorio Juncal - TEMPERLEY	ene-2015	1599	SI											
Sanatorio Junín - JUNÍN	ene-2015	714	SI											
Sanatorio de la Trinidad - SAN ISIDRO	nov-2013	3673	SI											
CIUDAD AUTÓNOMA DE BUENOS AIRES – SUBSECTOR PÚBLICO														
Htal. Álvarez - CABA	nov-2010	1277	SI											
Htal. Argerich - CABA	oct-2010	1724	SI											
Htal. Durand - CABA	oct-2010	1230	SI											
Htal. Fernández - CABA	oct-2010	1500	SI											
Htal. de Pediatría Juan P Garrahan- CABA	ene-2014	37	SI											
Htal. Penna - CABA	oct-2010	3332	SI											
Htal. Piñeiro - CABA	oct-2010	1811	SI											
Htal. Pirovano - CABA	oct-2010	867	SI											
Htal. Ramos Mejía - CABA	oct-2010	1203	SI											
Htal. Rivadavia - CABA	oct-2010	889	SI											
Htal. Santojanni - CABA	oct-2010	1584	SI	SI	SI	SI	NO	SI	SI	NO	NO	SI	SI	NO
Htal. Mat. Sardá - CABA	nov-2010	5993	SI											
Htal. Dalmacio Vélez Sarsfield - CABA	jun-2015	992	SI											
CIUDAD AUTÓNOMA DE BUENOS AIRES - SUBSECTOR PRIVADO														
Htal. Alemán - CABA	ene-2014	1452	SI											
Sanatorio Anchorena - CABA	dic-2013	1734	SI											
Htal. Churruca Visca - CABA	oct-2013	537	SI	NO	SI	NO	NO	SI	NO	SI	SI	SI	NO	SI
Htal de Clínicas José de San Martín - CABA	abr-2013	413	SI											
Sanatorio Mater Dei - CABA	ene-2017	2332	SI	SI	SI	NO	SI							
Sanatorio Otamendi - CABA	dic-2013	3537	SI											
Clínica Santa Isabel - CABA	nov-2013	427	SI	NO	SI	SI	NO	NO	NO	NO	NO	SI	SI	SI
Sanatorio de la Trinidad de Palermo - CABA	feb-2014	1623	SI											
CATAMARCA - SUBSECTOR PUBLICO														
Mat. 25 de Mayo - S. F. DEL V. DE CATAMARCA	oct-2010	2794	SI											
CHACO - SUBSECTOR PÚBLICO														
Htal. Gral. Güemes - CASTELLI	abr-2013	2073	SI											
Htal. 9 de Julio - LAS BREÑAS	sep-2017	558	SI											
Htal. J. Perrando - RESISTENCIA	nov-2009	5789	SI											
Htal. Dr. Jorge Oscar Vázquez, TRES	jul-2017	126	SI											

CHUBUT - SUBSECTOR PÚBLICO														
Htal. C. Rivadavia - COMODORO RIVADAVIA	oct-2011	1328	SI											
Htal. Zonal de Esquel - ESQUEL	nov-2012	517	SI											
Htal. Andrés Isola - PUERTO MADRYN	nov-2012	581	SI											
Htal. Sub Zonal Santa Teresita - RAWSON	ago-2015	211	SI											
Htal. C. Materno - Infantil de Trelew - TRELEW	oct-2011	795	SI											
CHUBUT - SUBSECTOR PRIVADO														
Sanatorio Mat. Santa María - PUERTO MADRYN	ene-2017	351	SI	SI	SI	SI	SI	NO						
CÓRDOBA - SUBSECTOR PÚBLICO														
Htal. Aurelio Crespo - CRUZ DEL EJE	oct-2015	651	SI											
Htal. Materno Neonatal - CÓRDOBA	oct-2011	5339	SI											
Htal. Maternidad Provincial - CÓRDOBA	oct-2011	3972	SI											
Htal. Misericordia - CORDOBA	oct-2011	1836	SI											
Htal. Príncipe de Asturias - VILLA EL LIBERTADOR	oct-2015	284	SI											
Htal. Río IV - RÍO CUARTO	nov-2011	596	SI											
Htal. Santa Rosa - RÍO PRIMERO	oct-2015	16	SI	NO										
Htal. J. B. Iturraspe - SANFRANCISCO	ene-2018	225	SI	NO	NO	NO	SI	SI	NO	NO	NO	NO	NO	NO
Htal. Pasteur - VILLA MARÍA	oct-2011	1256	SI											
CÓRDOBA – SUBSECTOR PRIVADO														
Htal. Privado de Córdoba - CÓRDOBA	jul-2013	1405	SI											
CORRIENTES - SUBSECTOR Público														
Htal. Ángela Iglesias del Llano - CORRIENTES	jul-2013	2158	SI											
Htal. San José - CORRIENTES	ago-2015	286	SI	SI	SI	SI	NO							
Htal. Vidal - CORRIENTES	nov-2009	2801	SI											
ENTRE RÍOS – SUBSECTOR PÚBLICO														
Htal. Centenario - GUALEGUAYCHÚ	oct-2011	1021	SI											
Htal. Masvernat - CONCORDIA	oct-2011	2723	SI											
Htal. San Roque - PARANÁ	oct-2011	2969	SI											
Htal. Urquiza - CONCEPCIÓN DEL URUGUAY	ene-2015	904	SI											
ENTRE RÍOS – SUBSECTOR PRIVADO														
Mat. Concepción del Uruguay - CONCEPCIÓN DEL URUGUAY	oct-2011	626	SI											
FORMOSA - SUBSECTOR PÚBLICO														
Htal. Madre y Niño - FORMOSA	nov-2009	4074	SI											
JUJUY - SUBSECTOR PÚBLICO														
Htal. Jorge Uro - LA QUIACA	nov-2012	477	SI											
Htal. Orías - Libertador General San Martín	nov-2012	1181	SI											
Htal. Guillermo Patterson - SAN PEDRO DE JUJUY	nov-2012	412	SI	SI	SI	SI	SI	NO						
Htal. Pablo Soria - SAN SALVADOR DE JUJUY	oct-2010	4647	SI											

LA PAMPA – SUBSECTOR PÚBLICO														
Htal. E. Asist. Gdor. Centeno - GENERAL PICO	oct-2011	411	SI	SI	SI	SI	SI	NO						
Htal. Lucio Molas - SANTA ROSA	oct-2011	1131	SI											
LA RIOJA – SUBSECTOR PÚBLICO														
Htal. Eleazar Herrera Motta - CHILECITO	ene-2014	611	SI											
Htal. De la Madre y el Niño (ex Vera Barros) - LA RIOJA	oct-2011	2750	SI											
MENDOZA – SUBSECTOR PÚBLICO														
Htal. Regional Malargue- MALARGUE	sep-2015	38	SI	NO										
Htal. Paroissien - MAIPÚ	oct-2011	3289	SI											
MENDOZA – SUBSECTOR PRIVADO														
Htal. Virgen de la Misericordia - MENDOZA	ene-2014	125	SI	NO										
MISIONES - SUBSECTOR PÚBLICO														
Htal. De L. N. Alem - LEANDRO N ALEM	abr-2015	657	SI	NO	SI	SI	SI	SI						
Htal. Allassia - APOSTOLES	oct-2015	507	SI											
Htal. El Dorado - EL DORADO	oct-2012	3691	SI											
Htal. Ramón Madariaga - POSADAS	nov-2009	6100	SI											
Htal. Oberá - OBERA	nov-2012	2608	SI											
NEUQUÉN - SUBSECTOR PÚBLICO														
Htal. Castro Rendon - NEUQUÉN	oct-2011	1088	SI											
Htal. Heller - NEUQUÉN	ago-2011	1228	SI											
Htal. Junín de los Andes - JUNÍN DE LOS ANDES	may-2015	35	SI	SI	NO									
Htal. R. Carrillo - SAN MARTÍN DE LOS ANDES	jul-2015	181	NO	NO	SI	NO	SI	NO	SI	SI	NO	NO	NO	NO
NEUQUÉN – SUBSECTOR PRIVADO														
Maternidad San Lucas - NEUQUÉN	ago-2013	1089	NO	NO	SI	NO	NO	NO	SI	NO	SI	SI	SI	SI
RIO NEGRO - SUBSECTOR PUBLICO														
Htal. Ramón Carrillo - BARILOCHE	oct-2011	860	SI											
Htal. Pedro Moguillansky - CIPOLLETTI	dic-2014	830	SI											
RIO NEGRO - SUBSECTOR PRIVADO														
Sanatorio San Carlos de Bariloche - BARILOCHE	dic-2015	64	NO	SI	NO									
SALTA - SUBSECTOR PUBLICO														
Htal. Materno Infantil (ex El Milagro) - SALTA	oct-2010	7748	SI											
Htal. S. Vicent Paul - S. RAMÓN DE ORÁN	dic-2011	2997	SI											
Htal. Juan Domingo Perón - TARTAGAL	dic-2011	2603	SI											
SAN JUAN - SUBSECTOR PÚBLICO														
Htal. Rawson - CAPITAL	oct-2011	6535	SI	SI	NO	SI								
SAN LUIS – SUBSECTOR PÚBLICO														
Htal. Complejo Sanitario San Luis - SAN LUIS	oct-2011	1897	SI											
Htal. Juan Domingo Perón - VILLA MERCEDES	nov-2012	1419	SI	NO	SI	SI	SI							
SAN LUIS - SUBSECTOR PRIVADO														
Clínica CERHU - SAN LUIS	ago-2014	1278	SI	NO	SI									

SANTA CRUZ – SUBSECTOR PÚBLICO														
Htal. Zonal de Caleta Olivia - CALETA OLIVIA	ene-2015	1077	SI											
Htal. Gob. Cepernic - Néstor Kirchner - CALAFATE	sep-2014	358	SI	NO										
Htal. Regional de Río Gallegos - RÍO GALLEGOS	oct-2011	869	SI											
SANTA FE - SUBSECTOR PÚBLICO														
Htal. Del Centenario - ROSARIO	oct-2011	1544	SI											
Htal. J. M. Cullen - SANTA FE	oct-2011	2575	SI											
Htal. Iturraspe - SANTA FE	oct-2011	2891	SI											
Htal. Jaime Ferre - RAFAELA	oct-2011	997	NO	NO	SI									
Htal. Mat. Martín - ROSARIO	nov-2011	3781	SI											
Htal. Provincial de Rosario - ROSARIO	oct-2011	386	SI											
Htal. Olga Stuki de Rizzi - RECONQUISTA	nov-2018	279	NO	SI	SI									
Htal. Eva Perón - ROSARIO	oct-2011	1920	SI											
Htal. Alejandro Gutiérrez - VENADO TUERTO	oct-2011	1085	SI											
SANTIAGO DEL ESTERO – SUBSECTOR PUBLICO														
Htal. Ramón Carrillo - SANTIAGO DEL ESTERO	oct-2010	1776	NO	SI	SI	SI	SI							
Hospital zonal De Frias - FRIAS	feb-2016	373	SI											
TIERRA DEL FUEGO – SUBSECTOR PÚBLICO														
Htal. Río Grande - RIO GRANDE	oct-2011	661	SI											
Htal. Ushuaia - USHUAIA	oct-2011	606	SI											
TUCUMÁN – SUBSECTOR PÚBLICO														
Htal. Belascuain - CONCEPCIÓN	oct-2011	3359	SI											
Htal. Del Este Eva Perón - S. M. DE TUCUMÁN	abr-2014	3990	SI											
Htal. Nicolás Avellaneda - S. M. DE TUCUMÁN	oct-2011	2209	SI	NO	NO	NO	NO							
Htal. Mat. N. Sra. Mercedes - S. M. DE TUCUMÁN	oct-2010	6513	SI											

Ref.: SI: envió datos del mes en tiempo y forma; **NO:** no envió los datos correspondientes a ese mes; **NC:** no corresponde porque el hospital aún no se había incorporado a la RENAC

Reporte RENAC 2019

Tabla 3: Cobertura anual de la RENAC por jurisdicción, según los nacimientos del subsector público y del total país. Año 2018.

		RECIÉN	NACIDOS		NÚMERO		000507111	7. (0/)
JURISDICCIÓN	PAÍS	5 *	REN	AC	HOSPITAI INCORPOR		COBERTUI	KA (%)
	SUBSECTOR PÚBLICO	TOTAL	SUBSECTOR PÚBLICO	TOTAL	SUBSECTOR PÚBLICO	TOTAL	SUBSECTOR PÚBLICO	TOTAL
BUENOS AIRES	136221	218285	74324	86810	43	51	54,56	39,77
CABA	25790	67867	22439	34494	13	21	87,01	50,83
CATAMARCA	3640	6270	2794	2794	1	1	76,76	44,56
CHACO	15514	22863	8546	8546	4	4	55,09	37,38
CHUBUT	3603	9018	3432	3783	5	6	95,25	41,95
CORDOBA	25719	55078	14175	15580	9	10	55,11	28,29
CORRIENTES	13534	19872	5245	5245	3	3	38,75	26,39
ENTRE RIOS	11810	21797	7617	8243	4	5	64,5	37,82
FORMOSA	8452	11428	4074	4074	1	1	48,2	35,65
JUJUY	8142	11937	6717	6717	4	4	82,5	56,27
LA PAMPA	2596	4833	1542	1542	2	2	59,4	31,91
LA RIOJA	3449	5903	3361	3361	2	2	97,45	56,94
MENDOZA	16887	31417	3327	3452	2	3	19,7	10,99
MISIONES	15994	25522	13563	13563	5	5	84,8	53,14
NEUQUEN	5665	10822	2532	3621	4	5	44,7	33,46
RIO NEGRO	10554	11165	1690	1754	2	3	16,01	15,71
SALTA	19185	26845	13348	13348	3	3	69,58	49,72
SAN JUAN	7742	13671	6535	6535	1	1	84,41	47,8
SAN LUIS	3686	7018	3316	4594	2	3	89,96	65,46
SANTA CRUZ	4241	5503	2304	2304	3	3	54,33	41,87
SANTA FE	25928	53207	15458	15458	9	9	59,62	29,05
SGO DEL ESTERO	12348	16889	2149	2149	2	2	17,4	12,72
TIERRA DEL FUEGO	1307	2659	1267	1267	2	2	96,94	47,65
TUCUMAN	16659	27843	16071	16071	4	4	96,47	57,72
total	398666	687712	235826	265305	130	153	59,15	38,58

^{*}Fuente: Dirección de Estadísticas e Información de Salud. Ministerio de Salud y Desarrollo Social. Año 2018 (con datos del año 2017).

SECCIÓN 2: RESULTADOS 2018

Tabla 4: Recién nacidos examinados, recién nacidos con anomalías congénitas mayores, prevalencia (%) y número de casos esperados, por jurisdicción. Año 2018.

JURISDICCIÓN	RECIÉN NACIDOS EXAMINADOS	RECIÉN NACIDOS CON ANOMALÍAS Congénitas Mayores	PREVALENCIA POR 1.000 NACIMIENTOS	IC 95%	CASOS ESPERADOS	IC 95%
BUENOS AIRES	86.810	1.436	16,54	(15,70-17,42)	3.847	(3.651-4.051)
CABA	34.494	778	22,55	(21,00-24,20)	1.533	(1.428-1.645)
CATAMARCA	2.794	38	13,6	(9,62-18,67)	86	(61-118)
CHACO	8.546	140	16,38	(13,78-19,33)	380	(320-449)
CHUBUT	3.783	62	16,39	(12,57-21,01)	148	(114-190)
CORDOBA	15.580	343	22,02	(19,75-24,47)	1.218	(1.092-1.354)
CORRIENTES	5.245	67	12,77	(9,90-16,22)	254	(197-323)
ENTRE RIOS	8.243	95	11,52	(9,32-14,09)	251	(203-307)
FORMOSA	4.074	63	15,46	(11,88-19,79)	179	(137-229)
JUJUY	6.717	109	16,23	(13,32-19,58)	194	(160-234)
LA PAMPA	1.542	27	17,51	(11,54-25,48)	85	(56-123)
LA RIOJA	3.361	135	40,17	(33,68-47,54)	238	(199-281)
MENDOZA	3.452	48	13,9	(10,25-18,44)	437	(323-580)
MISIONES	13.563	201	14,82	(12,84-17,02)	384	(333-441)
NEUQUEN	3.621	60	16,57	(12,64-21,33)	180	(137-231)
RIO NEGRO	1.754	21	11,97	(7,41-18,30)	134	(83-205)
SALTA	13.348	175	13,11	(11,24-15,20)	355	(304-411)
SAN JUAN	6.535	57	8,72	(6,61-11,30)	119	(90-155)
SAN LUIS	4.594	59	12,84	(9,78-16,57)	90	(69-116)
SANTA CRUZ	2.304	29	12,59	(8,43-18,08)	69	(46-100)
SANTA FE	15.458	237	15,33	(13,44-17,41)	817	(716-928)
SGO DEL ESTERO	2.149	16	7,45	(4,26-12,09)	126	(72-205)
TIERRA DEL FUEGO	1.267	11	8,68	(4,33-15,53)	23	(12-41)
TUCUMAN	16.071	241	15	(13,16-17,01)	418	(367-474)
TOTAL	265.305	4.448	16,77	(16,28-17,27)	11.805	(11.460-12.157)

Figura 3: Prevalencia por 100 nacimientos de anomalías congénitas mayores, según provincia, RENAC, 2018

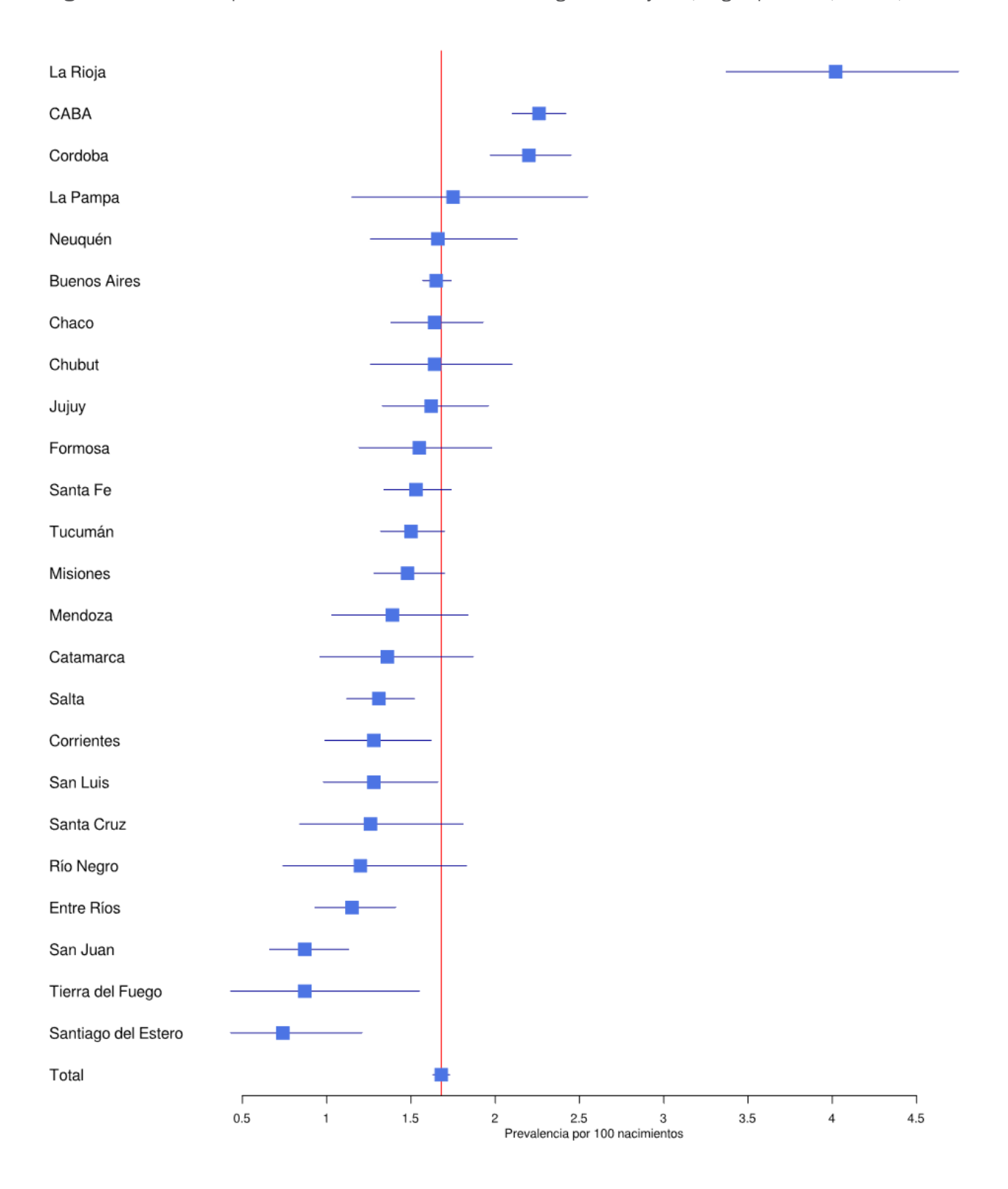


Tabla 5: Prevalencia de categorías de anomalías congénitas mayores agrupadas, por jurisdicción. Argentina, año 2018.

Categorías de anomalías congénitas		Defectos de tubo neu	neural		Cardiopatías severas	veras		Fisuras orales	SS		Talipes	
Jurisdicción	0bs	Prevalencia x10.000 (IC 95%)	Esp	0bs	Prevalencia x10.000 (IC 95%)	Esp	SqO	Prevalencia x10.000 (IC 95%)	Esp	sq0	Prevalencia x10.000 (IC 95%)	Esp
BUENOS AIRES	92	8,75 (6,9-10,96)	203 (160-255)	111	12,79 (10,52-15,4)	297 (245-358)	135	15,55 (13,04-18,41)	362 (303-428)	54	6,22 (4,67-8,12)	145 (109-189)
CABA	54	15,65 (11,76-20,43)	106 (80-139)	61	17,68 (13,53-22,72)	120 (92-154)	54	15,65 (11,76-20,43)	106 (80-139)	20	5,8 (3,54-8,95)	39 (24-61)
CATAMARCA	က	10,74 (2,21-31,38)	7 (1-20)	2	17,9 (5,81-41,76)	11 (4-26)	9	21,47 (7,88-46,74)	14 (5-29)	0	NR	NR
CHACO	14	16,38 (8,96-27,49)	38 (21-64)	7	8,19 (3,29-16,88)	19 (8-39)	11	12,87 (6,43-23,03)	30 (15-53)	4	4,68 (1,28-11,98)	11 (3-28)
CHUBUT	9	15,86 (5,82-34,52)	14 (5-31)	4	10,57 (2,88-27,07)	10 (3-24)	2	13,22 (4,29-30,84)	12 (4-28)	0	NR	NR
CORDOBA	22	14,12 (8,85-21,38)	78 (49-118)	28	17,97 (11,94-25,97)	99 (66-144)	27	17,33 (11,42-25,21)	96 (63-139)	6	5,78 (2,64-10,97)	32 (15-61)
CORRIENTES	9	11,44 (4,2-24,9)	23 (8-50)	2	9,53 (3,1-22,25)	19 (6-44)	11	20,97 (10,47-37,53)	42 (21-75)	3	5,72 (1,18-16,72)	11 (2-33)
ENTRE RIOS	∞	9,71 (4,19-19,12)	21 (9-42)	9	7,28 (2,67-15,84)	16 (6-35)	15	18,2 (10,18-30,01)	40 (22-65)	2	2,43 (0,29-8,76)	5 (1-19)
FORMOSA	2	4,91 (0,59-17,73)	6 (1-20)	9	14,73 (5,4-32,06)	17 (6-37)	∞	19,64 (8,48-38,69)	23 (10-45)	∞	19,64 (8,48-38,69)	23 (10-45)
YULUL	4	5,96 (1,62-15,25)	7 (2-18)	4	5,96 (1,62-15,25)	7 (2-18)	24	35,73 (22,89-53,16)	43 (27-64)	\vdash	1,49 (0,04-8,29)	2 (0-10)
LA PAMPA	က	19,46 (4,01-56,86)	9 (2-28)	0	NR	NR	2	12,97 (1,57-46,85)	6 (1-23)	0	NR	NR
LA RIOJA	7	20,83 (8,37-42,91)	12 (5-25)	3	8,93 (1,84-26,09)	5 (1-15)	∞	23,8 (10,28-46,9)	14 (6-28)	33	8,93 (1,84-26,09)	5 (1-15)
MENDOZA	က	8,69 (1,79-25,4)	27 (6-80)	2	5,79 (0,7-20,93)	18 (2-66)	4	11,59 (3,16-29,67)	36 (10-93)	₩	2,9 (0,07-16,14)	9 (0-51)
MISIONES	11	8,11 (4,05-14,51)	21 (10-38)	11	8,11 (4,05-14,51)	21 (10-38)	24	17,7 (11,34-26,33)	46 (29-68)	15	11,06 (6,19-18,24)	29 (16-47)
NEUQUEN	2	5,52 (0,67-19,95)	6 (1-22)	4	11,05 (3,01-28,28)	12 (3-31)	14	38,66 (21,14-64,87)	42 (23-70)	1	2,76 (0,07-15,39)	3 (0-17)
RIO NEGRO	1	5,7 (0,14-31,77)	(98-0) 9	0	NR	NR	1	5,7 (0,14-31,77)	(98-0) 9	0	NR	NR
SALTA	15	11,24 (6,29-18,53)	30 (17-50)	11	8,24 (4,11-14,75)	22 (11-40)	15	11,24 (6,29-18,53)	30 (17-50)	6	6,74 (3,08-12,8)	18 (8-35)
SAN JUAN	က	4,59 (0,95-13,42)	6 (1-18)	9	9,18 (3,37-19,98)	13 (5-27)	6	13,77 (6,3-26,14)	19 (9-36)	0	NR	NR
SAN LUIS	0	NR	NR	9	13,06 (4,79-28,43)	9 (3-20)	6	19,59 (8,96-37,19)	14 (6-26)	4	8,71 (2,37-22,29)	6 (2-16)
SANTA CRUZ	1	4,34 (0,11-24,18)	2 (0-13)	1	4,34 (0,11-24,18)	2 (0-13)	2	8,68 (1,05-31,36)	5 (1-17)	1	4,34 (0,11-24,18)	2 (0-13)
SANTA FE	14	9,06 (4,95-15,2)	48 (26-81)	19	12,29 (7,4-19,19)	66 (39-102)	20	12,94 (7,9-19,98)	69 (42-106)	∞	5,18 (2,23-10,2)	28 (12-54)
SGO DEL ESTERO	1	4,65 (0,12-25,93)	8 (0-44)	0	NR	NR	3	13,96 (2,88-40,8)	24 (5-69)	0	NR	NR
TIERRA DEL FUEGO	0	NR	NR	0	NR	NR	3	23,68 (4,88-69,2)	6 (1-18)	0	NR	NR
TUCUMAN	17	10,58 (6,16-16,94)	29 (17-47)	23	14,31 (9,07-21,47)	40 (25-60)	37	23,02 (16,21-31,73)	64 (45-88)	∞	4,98 (2,15-9,81)	14 (6-27)
TOTAL	273	10,29 (9,11-11,59)	724 (641-816)	323	12,17 (10,88-13,58)	857 (766-956)	447	16,85 (15,32-18,49)	1186 (1078-1302)	151	5,69 (4,82-6,68)	401 (339-470)

Ref.: Obs.: Número de casos observados. Prevalencia x 10.000, IC95%: intervalo de confianza al 95%. Esp.: número esperado de casos con AC según la prevalencia reportada por la RENAC y los nacimientos reportados por la DEIS para el año 2017. Defectos del tubo neural: Q00, Q01, Q05. Cardiopatías severas: Q20.0, Q20.3, Q20.3, Q20.3, Q20.4, Q25.19, Q25.2, Q26.2, Q26.2, Q26.20. Fisuras orales Q35.Q37. Talipes Q66.0, Q66.4, Q66.8. Defectos de pared abdominal Q79.2-Q79.5. Defectos de reducción de miembros Q71-Q73. Cromosomopatías Q90-Q99. NR: no reportado.

Tabla 5 (Continuación): Prevalencia de categorías de anomalías congénitas mayores agrupadas, por jurisdicción. Argentina, año 2018.

de anomalías congénitas		Defectos de pared abdominal	ninal		Defectos de reducción de miembros	niembros		Cromosomopatías	S
Jurisdicción	sqo	Prevalencia x 10.000 (IC 95%)	Esperados	0.0s	Prevalencia x 10.000 (IC 95%)	Esperados	SqO	Prevalencia x 10.000 (1C 95%)	Esperados
BUENOS AIRES	102	11,75 (9,58-14,26)	273 (223-332)	35	4,03 (2,81-5,61)	94 (65-130)	193	22,23 (19,21-25,6)	517 (447-595)
CABA	63	18,26 (14,03-23,37)	124 (95-159)	20	5,8 (3,54-8,95)	39 (24-61)	06	26,09 (20,98-32,07)	177 (143-218)
CATAMARCA	2	7,16 (0,87-25,86)	5 (1-16)	1	3,58 (0,09-19,94)	2 (1-13)	∞	28,63 (12,36-56,42)	18 (8-36)
CHACO	7	8,19 (3,29-16,88)	19 (8-39)	4	4,68 (1,28-11,98)	11 (3-28)	19	22,23 (13,39-34,72)	52 (31-81)
CHUBUT	1	2,64 (0,07-14,73)	2 (1-13)	2	5,29 (0,64-19,1)	5 (1-17)	9	15,86 (5,82-34,52)	14 (5-31)
CORDOBA	19	12,2 (7,34-19,04)	67 (41-105)	∞	5,13 (2,22-10,12)	28 (12-56)	35	22,46 (15,65-31,24)	124 (87-173)
CORRIENTES	9	11,44 (4,2-24,9)	23 (8-50)	2	3,81 (0,46-13,77)	8 (1-27)	7	13,35 (5,37-27,5)	27 (11-55)
ENTRE RIOS	7	8,49 (3,41-17,5)	19 (7-38)	က	3,64 (0,75-10,64)	8 (2-23)	11	13,34 (6,66-23,88)	29 (15-52)
FORMOSA	2	4,91 (0,59-17,73)	6 (1-20)	က	7,36 (1,52-21,52)	9 (2-25)	9	14,73 (5,4-32,06)	17 (6-37)
YUUU	12	17,87 (9,23-31,21)	21 (11-37)	4	5,96 (1,62-15,25)	7 (2-18)	21	31,26 (19,35-47,79)	37 (23-57)
LA PAMPA	1	6,49 (0,16-36,13)	3 (1-17)	0	NR	N	2	32,43 (10,53-75,67)	16 (5-37)
LA RIOJA	3	8,93 (1,84-26,09)	5 (1-15)	3	8,93 (1,84-26,09)	5 (1-15)	8	23,8 (10,28-46,9)	14 (6-28)
MENDOZA	1	2,9 (0,07-16,14)	9 (1-51)	2	5,79 (0,7-20,93)	18 (2-66)	2	14,48 (4,7-33,8)	46 (15-106)
MISIONES	15	11,06 (6,19-18,24)	29 (16-47)	7	5,16 (2,08-10,63)	13 (5-28)	33	24,33 (16,75-34,17)	63 (43-88)
NEUQUEN	1	2,76 (0,07-15,39)	3 (1-17)	4	11,05 (3,01-28,28)	12 (3-31)	14	38,66 (21,14-64,87)	42 (23-70)
RIO NEGRO	1	5,7 (0,14-31,77)	6 (1-36)	0	NR	NR	2	11,4 (1,38-41,19)	13 (2-46)
SALTA	13	9,74 (5,19-16,65)	26 (14-45)	1	0,75 (0,02-4,17)	2 (1-11)	20	14,98 (9,15-23,14)	41 (25-63)
SAN JUAN	8	12,24 (5,29-24,12)	17 (7-33)	3	4,59 (0,95-13,42)	6 (1-18)	6	13,77 (6,3-26,14)	19 (9-36)
SAN LUIS	0	NR	NR	3	6,53 (1,35-19,08)	5 (1-13)	12	26,12 (13,5-45,63)	18 (9-32)
SANTA CRUZ	1	4,34 (0,11-24,18)	2 (1-13)	3	13,02 (2,69-38,05)	7 (1-21)	2	21,7 (7,05-50,64)	12 (4-28)
SANTA FE	16	10,35 (5,92-16,81)	55 (32-90)	7	4,53 (1,82-9,33)	24 (10-50)	25	16,17 (10,47-23,87)	86 (56-127)
SGO DEL ESTERO	1	4,65 (0,12-25,93)	8 (1-44)	0	NR	NR	e	13,96 (2,88-40,8)	24 (5-69)
T. DEL FUEGO	0	NR	NR	0	NR	NR	1	7,89 (0,2-43,98)	2 (1-12)
TUCUMAN	16	9,96 (5,69-16,17)	28 (16-45)	11	6,84 (3,42-12,25)	19 (10-34)	35	21,78 (15,17-30,29)	61 (42-84)
TOTAL	298	11,23 (9,99-12,58)	791 (703-886)	126	4,75 (3,96-5,65)	334 (279-398)	573	21,6 (19,87-23,44)	1.520 (1.399-1.650)

Ref.: Obs.: Número de casos observados. Prevalencia x 10.000, IC95%: intervalo de confianza al 95%. Esp.: número esperado de casos con AC según la prevalencia reportada por la DEIS para el año 2017. Defectos del tubo neural: Q00, Q01, Q05. Cardiopatías severas: Q20.0, Q20.3, Q20.4, Q21.3, Q21.82, Q22.00, Q22.40, Q22.5, Q23.4, Q25.1-Q25.19, Q25.2, Q26.2, Q26.20. Fisuras orales Q35-Q37. Talipes Q66.0, Q66.4, Q66.8. Defectos de pared abdominal Q79.2-Q79.5. Defectos de reducción de miembros Q71.Q73. Cromosomopatías Q90-Q99. NR: no reportado.

Red Nacional de Anomalías Congénitas (RENAC)

Tabla 6a: Número de casos con anomalías congénitas específicas seleccionadas. RENAC, año 2018.

ANOMALÍA CONGÉNITA	PRESI	ENTACI	ÓN AISLADA	P	RESEN MÚLT	TACIÓN IPLE		RESEN SINDRÓ	TACIÓN ÓMICA	TOTAL
	NV	FM	Total (%)	NV	FM	TOTAL (%)	NV	FM	TOTAL (%)	
Anencefalia (Q00)	42	15	57 (85,07%)	6	4	10 (14,93%)	0	0	0 (0%)	67
Encefalocele (Q01)	20	1	21 (55,26%)	16	1	17 (44,74%)	0	0	0 (0%)	38
Espina bífida (Q05)	136	3	139 (82,74%)	23	3	26 (15,48%)	3	0	3 (1,79%)	168
Hidrocefalia (Q03)	81	3	84 (50,91%)	61	7	68 (41,21%)	12	1	13 (7,88%)	165
Holoprosencefalia (Q04.1-04.2)	34	4	38 (64,41%)	16	1	17 (28,81%)	3	1	4 (6,78%)	59
Microcefalia (Q02)	35	3	38 (57,58%)	18	0	18 (27,27%)	10	0	10 (15,15%)	66
Microftalmia + anoftalmia (Q11.1-11.2)	3	0	3 (11,11%)	17	1	18 (66,67%)	6	0	6 (22,22%)	27
Anotia + microtia (Q16; Q17.1)	52	0	52 (61,9%)	28	0	28 (33,33%)	4	0	4 (4,76%)	84
Coartación de aorta (Q25.1-Q25.19)	34	1	35 (62,5%)	14	1	15 (26,79%)	6	0	6 (10,71%)	56
Corazón izquierdo hipoplásico (Q23.4)	36	0	36 (70,59%)	10	1	11 (21,57%)	4	0	4 (7,84%)	51
Tetralogía, pentalogía de Fallot (Q21.3-Q21.87)	39	0	39 (59,09%)	17	1	18 (27,27%)	9	0	9 (13,64%)	66
Transposición de grandes vasos (Q20.3)	46	0	46 (83,64%)	7	0	7 (12,73%)	2	0	2 (3,64%)	55
Tronco arterioso persistente (Q20.0)	9	0	9 (69,23%)	2	0	2 (15,38%)	2	0	2 (15,38%)	13
Doble entrada ventrículo izq (Q20.4)	17	1	18 (69,23%)	3	0	3 (11,54%)	5	0	5 (19,23%)	26
Atresia / Estenosis tricuspídea (Q22.4)	12	1	13 (81,25%)	3	0	3 (18,75%)	0	0	0 (0%)	16
Anomalía de Ebstein (Q22.5)	14	1	15 (88,24%)	1	0	1 (5,88%)	1	0	1 (5,88%)	17
Arco aórtico interrumpido (Q25.2)	6	0	6 (85,71%)	1	0	1 (14,29%)	0	0	0 (0%)	7
Atresia pulmonar (Q22.0)	13	0	13 (86,67%)	2	0	2 (13,33%)	0	0	0 (0%)	15
Anomalía total del retorno venoso pulmonar (Q26.0; Q26.21; Q26.22)	4	0	4 (100%)	0	0	0 (0%)	0	0	0 (0%)	4
Doble salida del ventrículo derecho (Q20.1)	9	0	9 (47,37%)	7	1	8 (42,11%)	2	0	2 (10,53%)	19
Paladar hendido (Q35)	40	1	41 (51,9%)	31	2	33 (41,77%)	5	0	5 (6,33%)	79
Fisura labial (Q36; excluye Q36.1, medial)	55	0	55 (80,88%)	10	0	10 (14,71%)	3	0	3 (4,41%)	68
Fisura labiopalatina (Q37)	220	2	222 (74,75%)	60	4	64 (21,55%)	10	1	11 (3,7%)	297
Secuencia de Pierre-Robin (Q87.08)	8	0	8 (72,73%)	2	0	2 (18,18%)	1	0	1 (9,09%)	11
Atresia de esófago (Q39.0-Q39.11)	35	1	36 (36,73%)	54	0	54 (55,1%)	8	0	8 (8,16%)	98
Atresia intestinal (Q41.1-Q41.9)	38	0	38 (71,7%)	14	0	14 (26,42%)	1	0	1 (1,89%)	53
Atresia duodenal (Q41.0)	17	2	19 (46,34%)	7	1	8 (19,51%)	14	0	14 (34,15%)	41
Malformación anorrectal (Q42.0-Q42.3)	61	0	61 (42,07%)	66	5	71 (48,97%)	13	0	13 (8,97%)	145
Hernia diafragmática (Q79.0-Q79.01)	85	0	85 (75,22%)	18	3	21 (18,58%)	6	1	7 (6,19%)	113
Atresia de coanas (Q30.0)	1	0	1 (20%)	2	0	2 (40%)	2	0	2 (40%)	5
Criptorquidia (Q53.2)	22	0	22 (66,67%)	11	0	11 (33,33%)	0	0	0 (0%)	33
Genitales ambiguos (Q56.4)	8	1	9 (25,71%)	13	3	16 (45,71%)	10	0	10 (28,57%)	35

Hipospadias (Q54.1-Q54.3)	35	0	35 (62,5%)	20	0	20 (35,71%)	1	0	1 (1,79%)	56
Epispadias (Q64.0)	1	0	1 (100%)	0	0	0 (0%)	0	0	0 (0%)	1
Agenesia renal (Q60.1)	10	4	14 (63,64%)	7	0	7 (31,82%)	1	0	1 (4,55%)	22
Quistes renales (Q61.1-Q61.90)	74	3	77 (62,6%)	34	1	35 (28,46%)	9	2	11 (8,94%)	123
Polidactilia preaxial (Q69.00; Q69.1; Q69.20)	21	0	21 (50%)	21	0	21 (50%)	0	0	0 (0%)	42
Polidactilia postaxial (Q69.02; Q69.22)	99	0	99 (81,82%)	14	1	15 (12,4%)	7	0	7 (5,79%)	121
Sindactilia (Q70.0-Q70.30; Q70.4-Q70.90)	58	0	58 (68,24%)	19	3	22 (25,88%)	5	0	5 (5,88%)	85
Defecto transverso (Q71.2-Q71.30)	28	0	28 (66,67%)	12	1	13 (30,95%)	0	1	1 (2,38%)	42
Defecto preaxial (Q71.31, Q72.5)	5	1	6 (30%)	13	1	14 (70%)	0	0	0 (0%)	20
Defecto postaxial (Q71.5; Q72.9)	5	0	5 (50%)	4	0	4 (40%)	1	0	1 (10%)	10
Defecto intercalar (Q71.1; Q73.1)	0	0	0	0	0	0	0	0	0	0
Talipes equinovarus (Q66.0)	94	2	96 (76,19%)	25	2	27 (21,43%)	3	0	3 (2,38%)	126
Talipes calcaneovalgus (Q66.4)	20	0	20 (80%)	5	0	5 (20%)	0	0	0 (0%)	25
Onfalocele (Q79.2)	32	2	34 (52,31%)	19	7	26 (40%)	5	0	5 (7,69%)	65
Gastrosquisis (Q79.3)	187	4	191 (94,09%)	11	1	12 (5,91%)	0	0	0 (0%)	203
Prune belly (Q79.4)	11	0	11 (91,67%)	1	0	1 (8,33%)	0	0	0 (0%)	12
	1	1	1	1	1	The second secon	1	1	I and the second se	1

Ref.: NV: nacido vivo. FM: feto muerto. NR: no reportado.

Tabla 6b: Prevalencia (x 10.000) de anomalías congénitas específicas seleccionadas. RENAC, año 2018.

ANOMALÍA CONGÉNITA	PRESENTAC	IÓN AISLADA		ITACIÓN TIPLE	PRESEN SINDRO		TOTAL
ANUMALIA CONGENITA	Prevalencia en NV	Prevalencia Total	Prevalencia en NV	Prevalencia Total	Prevalencia en NV	Prevalencia Total	TOTAL
Anencefalia (Q00)	1,58 (1,14-2,14)	2,19 (1,66-2,83)	0,23 (0,08-0,49)	0,38 (0,18-0,69)	NR	NR	2,56 (1,99-3,25)
Encefalocele (Q01)	0,75 (0,46-1,16)	0,83 (0,52-1,26)	0,6 (0,34-0,98)	0,64 (0,37-1,03)	NR	NR	1,47 (1,05-2,01)
Espina bífida (Q05)	5,13 (4,3-6,06)	5,24 (4,4-6,19)	0,87 (0,55-1,3)	0,98 (0,64-1,44)	0,11 (0,02-0,33)	0,11 (0,02-0,33)	6,33 (5,41-7,37)
Hidrocefalia (Q03)	3,05 (2,42-3,79)	3,2 (2,56-3,96)	2,3 (1,76-2,95)	2,56 (1,99-3,25)	0,45 (0,23-0,79)	0,49 (0,26-0,84)	6,33 (5,41-7,37)
Holoprosencefalia (Q04.1-04.2)	1,28 (0,89-1,79)	1,43 (1,01-1,97)	0,6 (0,34-0,98)	0,64 (0,37-1,03)	0,11 (0,02-0,33)	0,15 (0,04-0,39)	2,22 (1,69-2,87)
Microcefalia (Q02)	1,32 (0,92-1,83)	1,43 (1,01-1,97)	0,68 (0,4-1,07)	0,68 (0,4-1,07)	0,38 (0,18-0,69)	0,38 (0,18-0,69)	2,49 (1,92-3,16)
Microftalmia + anoftalmia (Q11.1-11.2)	0,11 (0,02-0,33)	0,11 (0,02-0,33)	0,64 (0,37-1,03)	0,68 (0,4-1,07)	0,23 (0,08-0,49)	0,23 (0,08-0,49)	1,02 (0,67-1,48)
Anotia + microtia (Q16; Q17.1)	1,96 (1,46-2,57)	1,96 (1,46-2,57)	1,06 (0,7-1,53)	1,06 (0,7-1,53)	0,15 (0,04-0,39)	0,15 (0,04-0,39)	3,17 (2,53-3,92)
Coartación de aorta (Q25.1-Q25.19)	1,28 (0,89-1,79)	1,32 (0,92-1,83)	0,53 (0,29-0,89)	0,57 (0,32-0,93)	0,23 (0,08-0,49)	0,23 (0,08-0,49)	2,11 (1,59-2,74)
Corazón izquierdo hipoplásico (Q23.4)	1,36 (0,95-1,88)	1,36 (0,95-1,88)	0,38 (0,18-0,69)	0,41 (0,21-0,74)	0,15 (0,04-0,39)	0,15 (0,04-0,39)	1,92 (1,43-2,53)
Tetralogía, pentalogía de Fallot (Q21.3-Q21.87)	1,47 (1,05-2,01)	1,47 (1,05-2,01)	0,64 (0,37-1,03)	0,68 (0,4-1,07)	0,34 (0,16-0,64)	0,34 (0,16-0,64)	2,49 (1,92-3,16)
Transposición de grandes vasos (Q20.3)	1,73 (1,27-2,31)	1,73 (1,27-2,31)	0,26 (0,11-0,54)	0,26 (0,11-0,54)	0,08 (0,01-0,27)	0,08 (0,01-0,27)	2,07 (1,56-2,7)
Tronco arterioso persistente (Q20.0)	0,34 (0,16-0,64)	0,34 (0,16-0,64)	0,08 (0,01-0,27)	0,08 (0,01-0,27)	0,08 (0,01-0,27)	0,08 (0,01-0,27)	0,49 (0,26-0,84)

^{*} Para cada una de las siguientes anomalías 1 caso no tenía especificado el estado al nacimiento (nacido vivo/feto muerto): Corazón izquierdo hipoplásico, Fisura labioplalatina y Defecto transverso.

Doble entrada ventrículo izq (Q20.4)	0,64 (0,37-1,03)	0,68 (0,4-1,07)	0,11 (0,02-0,33)	0,11 (0,02-0,33)	0,19 (0,06-0,44)	0,19 (0,06-0,44)	0,98 (0,64-1,44)
Atresia / Estenosis tricuspídea (Q22.4)	0,45 (0,23-0,79)	0,49 (0,26-0,84)	0,11 (0,02-0,33)	0,11 (0,02-0,33)	NR	NR	0,6 (0,34-0,98)
Anomalía de Ebstein (Q22.5)	0,53 (0,29-0,89)	0,57 (0,32-0,93)	0,04 (0,01-0,21)	0,04 (0,01-0,21)	0,04 (0,01-0,21)	0,04 (0,01-0,21)	0,64 (0,37-1,03)
Arco aórtico interrumpido (Q25.2)	0,23 (0,08-0,49)	0,23 (0,08-0,49)	0,04 (0,01-0,21)	0,04 (0,01-0,21)	NR	NR	0,26 (0,11-0,54)
Atresia pulmonar (Q22.0)	0,49 (0,26-0,84)	0,49 (0,26-0,84)	0,08 (0,01-0,27)	0,08 (0,01-0,27)	NR	NR	0,57 (0,32-0,93)
Anomalía total del retorno venoso pulmonar (Q26.0; Q26.21; Q26.22)	0,15 (0,04-0,39)	0,15 (0,04-0,39)	NR	NR	NR	NR	0,15 (0,04-0,39)
Doble salida del ventrículo derecho (Q20.1)	0,34 (0,16-0,64)	0,34 (0,16-0,64)	0,26 (0,11-0,54)	0,3 (0,13-0,59)	0,08 (0,01-0,27)	0,08 (0,01-0,27)	0,72 (0,43-1,12)
Paladar hendido (Q35)	1,51 (1,08-2,05)	1,55 (1,11-2,1)	1,17 (0,79-1,66)	1,24 (0,86-1,75)	0,19 (0,06-0,44)	0,19 (0,06-0,44)	2,98 (2,36-3,71)
Fisura labial (Q36; excluye Q36.1, medial)	2,07 (1,56-2,7)	2,07 (1,56-2,7)	0,38 (0,18-0,69)	0,38 (0,18-0,69)	0,11 (0,02-0,33)	0,11 (0,02-0,33)	2,6 (2,02-3,29)
Fisura labiopalatina (Q37)	8,29 (7,23-9,46)	8,37 (7,3-9,54)	2,26 (1,73-2,91)	2,41 (1,86-3,08)	0,38 (0,18-0,69)	0,41 (0,21-0,74)	11,19 (9,96- 12,54)
Secuencia de Pierre-Robin (Q87.08)	0,3 (0,13-0,59)	0,3 (0,13-0,59)	0,08 (0,01-0,27)	0,08 (0,01-0,27)	0,04 (0,01-0,21)	0,04 (0,01-0,21)	0,41 (0,21-0,74)
Atresia de esófago (Q39.0-Q39.11)	1,32 (0,92-1,83)	1,36 (0,95-1,88)	2,04 (1,53-2,66)	2,04 (1,53-2,66)	0,3 (0,13-0,59)	0,3 (0,13-0,59)	3,69 (3-4,5)
Atresia intestinal (Q41.1-Q41.9)	1,43 (1,01-1,97)	1,43 (1,01-1,97)	0,53 (0,29-0,89)	0,53 (0,29-0,89)	0,04 (0,01-0,21)	0,04 (0,01-0,21)	2 (1,5-2,61)
Atresia duodenal (Q41.0)	0,64 (0,37-1,03)	0,72 (0,43-1,12)	0,26 (0,11-0,54)	0,3 (0,13-0,59)	0,53 (0,29-0,89)	0,53 (0,29-0,89)	1,55 (1,11-2,1)
Malformación anorrectal (Q42.0-Q42.3)	2,3 (1,76-2,95)	2,3 (1,76-2,95)	2,49 (1,92-3,16)	2,68 (2,09-3,38)	0,49 (0,26-0,84)	0,49 (0,26-0,84)	5,47 (4,61-6,43)
Hernia diafragmática (Q79.0-Q79.01)	3,2 (2,56-3,96)	3,2 (2,56-3,96)	0,68 (0,4-1,07)	0,79 (0,49-1,21)	0,23 (0,08-0,49)	0,26 (0,11-0,54)	4,26 (3,51-5,12)
Atresia de coanas (Q30.0)	0,04 (0,01-0,21)	0,04 (0,01-0,21)	0,08 (0,01-0,27)	0,08 (0,01-0,27)	0,08 (0,01-0,27)	0,08 (0,01-0,27)	0,19 (0,06-0,44)
Criptorquidia (Q53.2)	0,83 (0,52-1,26)	0,83 (0,52-1,26)	0,41 (0,21-0,74)	0,41 (0,21-0,74)	NR	NR	1,24 (0,86-1,75)
Genitales ambiguos (Q56.4)	0,3 (0,13-0,59)	0,34 (0,16-0,64)	0,49 (0,26-0,84)	0,6 (0,34-0,98)	0,38 (0,18-0,69)	0,38 (0,18-0,69)	1,32 (0,92-1,83)
Hipospadias (Q54.1-Q54.3)	1,32 (0,92-1,83)	1,32 (0,92-1,83)	0,75 (0,46-1,16)	0,75 (0,46-1,16)	0,04 (0,01-0,21)	0,04 (0,01-0,21)	2,15 (1,63-2,78)
Epispadias (Q64.0)	0,04 (0,01-0,21)	0,04 (0,01-0,21)	NR	NR	NR	NR	0,04 (0,01-0,21)
Agenesia renal (Q60.1)	0,38 (0,18-0,69)	0,53 (0,29-0,89)	0,26 (0,11-0,54)	0,26 (0,11-0,54)	0,04 (0,01-0,21)	0,04 (0,01-0,21)	0,83 (0,52-1,26)
Quistes renales (Q61.1-Q61.90)	2,79 (2,19-3,5)	2,94 (2,32-3,67)	1,28 (0,89-1,79)	1,32 (0,92-1,83)	0,34 (0,16-0,64)	0,41 (0,21-0,74)	4,67 (3,89-5,57)
Polidactilia preaxial (Q69.00; Q69.1; Q69.20)	0,79 (0,49-1,21)	0,79 (0,49-1,21)	0,79 (0,49-1,21)	0,79 (0,49-1,21)	NR	NR	1,58 (1,14-2,14)
Polidactilia postaxial (Q69.02; Q69.22)	3,73 (3,03-4,54)	3,73 (3,03-4,54)	0,53 (0,29-0,89)	0,57 (0,32-0,93)	0,26 (0,11-0,54)	0,26 (0,11-0,54)	4,56 (3,78-5,45)
Sindactilia (Q70.0-Q70.30; Q70.4-Q70.90)	2,19 (1,66-2,83)	2,22 (1,69-2,87)	0,72 (0,43-1,12)	0,83 (0,52-1,26)	0,19 (0,06-0,44)	0,19 (0,06-0,44)	3,24 (2,59-4)
Defecto transverso (Q71.2-Q71.30)	1,06 (0,7-1,53)	1,06 (0,7-1,53)	0,45 (0,23-0,79)	0,49 (0,26-0,84)	NR	0,04 (0,01-0,21)	1,58 (1,14-2,14)
Defecto preaxial (Q71.31, Q72.5)	0,19 (0,06-0,44)	0,23 (0,08-0,49)	0,49 (0,26-0,84)	0,53 (0,29-0,89)	NR	NR	0,75 (0,46-1,16)
Defecto postaxial (Q71.5; Q72.9)	0,19 (0,06-0,44)	0,19 (0,06-0,44)	0,15 (0,04-0,39)	0,15 (0,04-0,39)	0,04 (0,01-0,21)	0,04 (0,01-0,21)	0,38 (0,18-0,69)
Defecto intercalar (Q71.1; Q73.1)	NR						
Talipes equinovarus (Q66.0)	3,54 (2,86-4,34)	3,62 (2,93-4,42)	0,94 (0,61-1,39)	1,02 (0,67-1,48)	0,11 (0,02-0,33)	0,11 (0,02-0,33)	4,75 (3,96-5,65)
Talipes calcaneovalgus (Q66.4)	0,75 (0,46-1,16)	0,75 (0,46-1,16)	0,19 (0,06-0,44)	0,19 (0,06-0,44)	NR	NR	0,94 (0,61-1,39)
Onfalocele (Q79.2)	1,21 (0,83-1,7)	1,28 (0,89-1,79)	0,72 (0,43-1,12)	0,98 (0,64-1,44)	0,19 (0,06-0,44)	0,19 (0,06-0,44)	2,45 (1,89-3,12)
Gastrosquisis (Q79.3)	7,05 (6,07-8,13)	7,2 (6,21-8,3)	0,41 (0,21-0,74)	0,45 (0,23-0,79)	NR	NR	7,65 (6,64-8,78)
Prune belly (Q79.4)	0,41 (0,21-0,74)	0,41 (0,21-0,74)	0,04 (0,01-0,21)	0,04 (0,01-0,21)	NR	NR	0,45 (0,23-0,79)

Tabla 7: Prevalencia de síndromes seleccionados. RENAC, año 2018.

	PREVALENCIA x		CASOS SEGÚN CONDICIÓN AL NACIMIENTO				
SÍNDROMES SELECCIONADOS	CASOS	10.000 (IC 95%)	NV		FM		
			N	%	N	%	NE
Displasia tanatofórica (Q77.10)*	1	0,04 (0-0,21)	1	100	0	0	0
Costillas cortas-polidactilia (Q77.20)*	0	NR	0	0	0	0	0
Acondroplasia (Q77.40)*	1	0,04 (0-0,21)	1	100	0	0	0
Osteogénesis imperfecta (Q78.00, Q78.08)*	2	0,08 (0,01-0,27)	2	100	0	0	0
Displasia campomélica (Q78.81)*	5	0,19 (0,06-0,44)	4	80	1	20	0
Trisomía 13 (Q91.4-Q91.7)**	19	0,72 (0,43-1,12)	17	89	2	11	0
Trisomía 18 (Q91.1-Q91.3)**	43	1,62 (1,17-2,18)	36	86	6	14	1
Síndrome de Down (Q90)	479	18,05 (16,47-19,75)	466	97	12	3	1

Ref.: NV: nacido vivo. FM: feto muerto. NR: no reportado. * con RX adjunta. ** confirmado por cariotipo.

Tabla 8: Prevalencia de Síndrome de Down según categorías de edad materna. RENAC, año 2018.

CATEGORÍAS DE EDAD MATERNA	CASOS	PREVALENCIA x 10.000 (IC 95%)
Total	479	18,05 (16,47-19,75)
Hasta 19 años	30	8,68 (5,86-12,39)
20 a 24 años	70	11,11 (8,66-14,03)
25 a 29 años	46	7,32 (5,36-9,77)
30 a 34 años	52	9,21 (6,88-12,08)
35 a 39 años	141	37,30 (31,4-44,0)
40 a 44 años	114	115,14 (94,98-138,32)
45 años o más	20	258,06 (157,63-398,56)
Edad materna no especificada	6	

Tabla 9: Prevalencia de gastrosquisis según categorías de edad materna. RENAC, año 2018.

CATEGORÍAS DE EDAD MATERNA	CASOS	PREVALENCIA x 10.000 (IC 95%)
Total	203	7,65 (6,64-8,78)
Hasta 19 años	86	24,89 (19,91-30,73)
20 a 24 años	69	10,95 (8,52-13,86)
25 a 29 años	28	4,46 (2,96-6,44)
30 a 34 años	9	1,59 (0,73-3,03)
35 a 39 años	8	2,12 (0,91-4,17)
40 a 44 años	2	2,02 (0,24-7,3)
45 años o más	0	NR
Edad materna no especificada	1	

Tabla 10: Prevalencia de anomalías congénitas "muy raras" seleccionadas. RENAC, año 2018.

ANOMALÍA CONGÉNITA	CASOS	PREVALENCIA X 100.000 (IC 95%)
Extrofia de cloaca (Q64.10)	1	0,38 (0,01-2,1)
Extrofia de vejiga (Q64.1)	2	0,75 (0,09-2,72)
Amelia (Q71.0; Q72.0; Q73.0)	4	1,51 (0,41-3,86)
Focomelia (Q71.10; Q72.10, Q73.10)	0	NR
Ciclopía (Q87.03)	3	1,13 (0,23-3,3)
Sirenomelia (Q87.24)	2	0,75 (0,09-2,72)
Siameses (Q89.4)	6	2,26 (0,83-4,92)

Ref.: NR: no reportado

SECCIÓN 3: MONITOREO

Figura 4: Evolución de la prevalencia de anomalías congénitas seleccionadas, por cuatrimestres. RENAC, años 2011 a 2018.

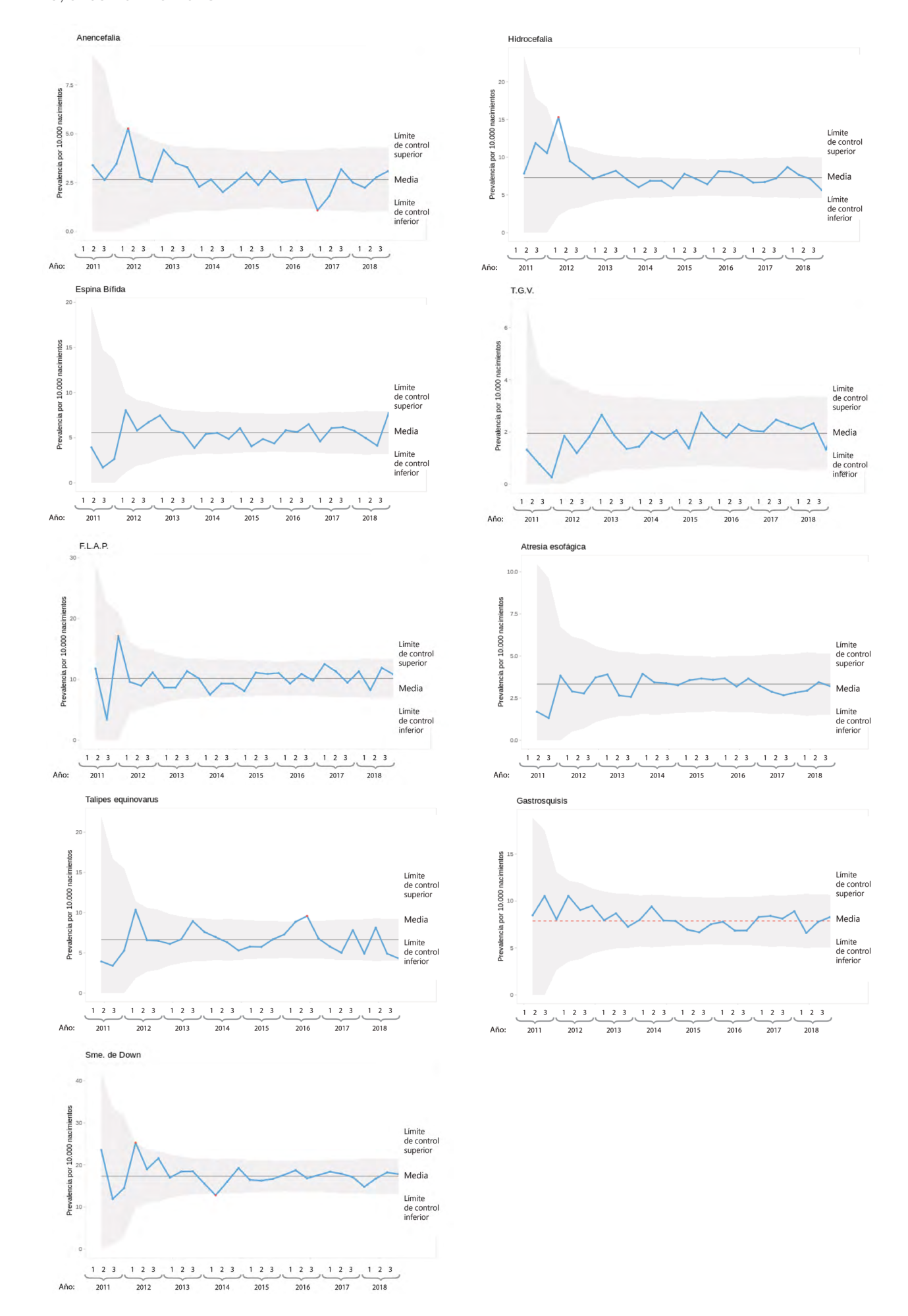


Figura 5: Evolución de la prevalencia de síndrome de Down, según edad materna, por cuatrimestres. RENAC, años 2012 a 2018.

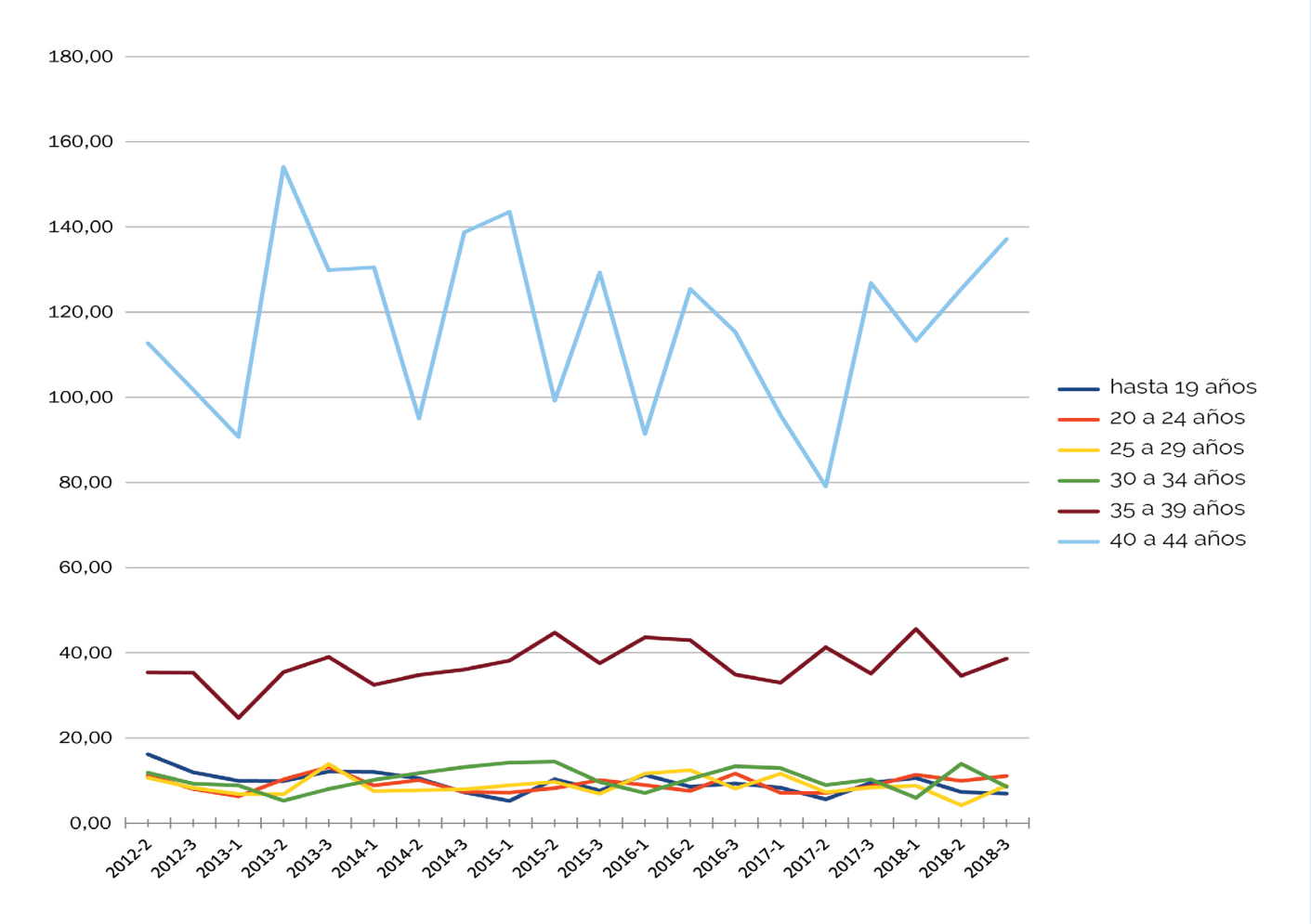
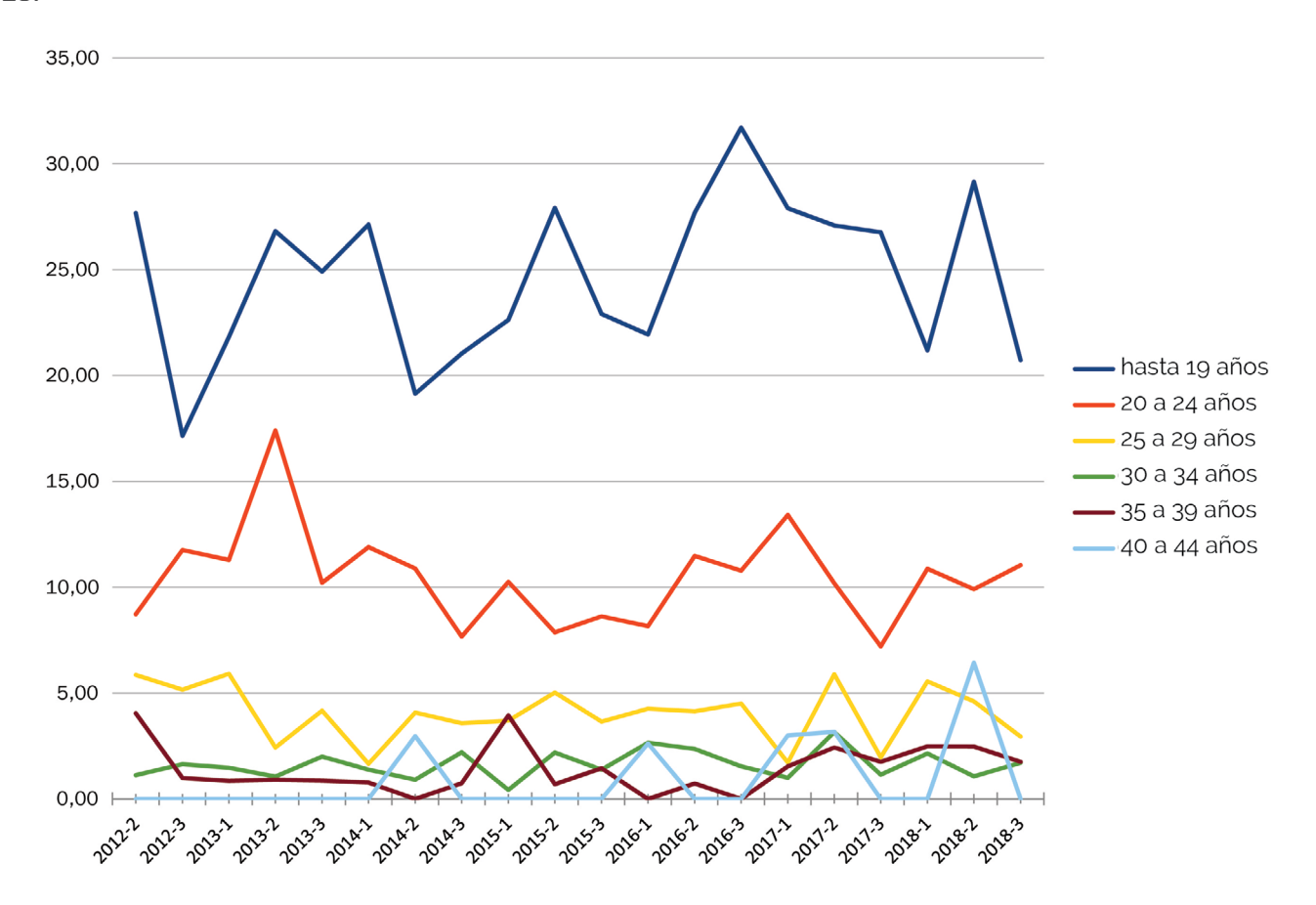


Figura 6: Evolución de la prevalencia de gastrosquisis, según edad materna, por cuatrimestres. RENAC, años 2012 a 2018.



SECCIÓN 4: CALIDAD

Figura 7: Evolución de la notificación de los casos falsos positivos. RENAC, años 2010 a 2018.

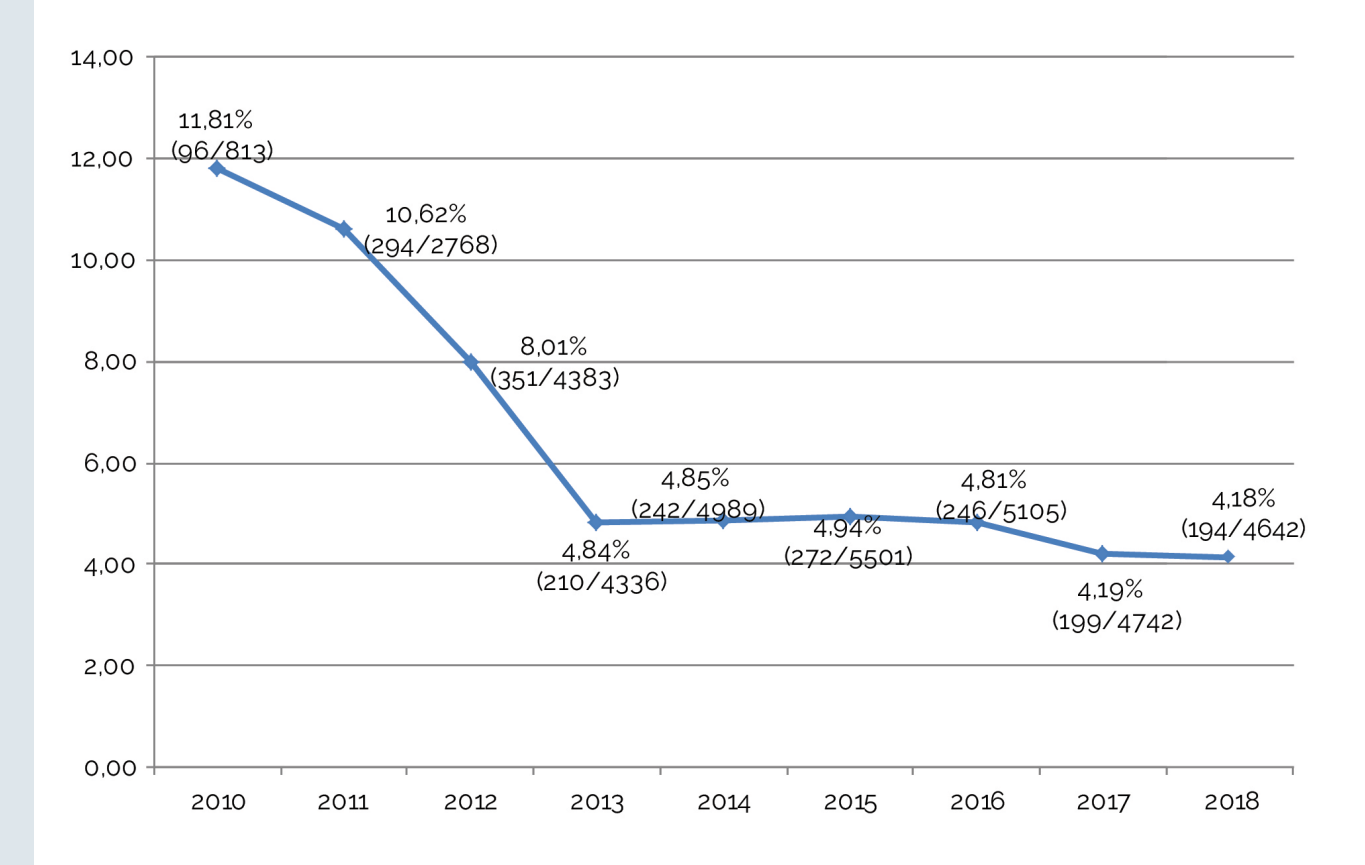


Tabla11: Indicadores de calidad. RENAC, año 2018.

Anomalía o grupo de anomalías	Criterio de calidad	Indicadores	Valor del indicador
	Descripción	Proporción de casos de fisura de labio con lateralidad especificada	61,95%
	Descripcion	Proporción de casos con fisura de paladar, con extensión especificada	77,22%
Fisuras orales	Clasificación	Se confirma que los casos con fisura de paladar se presentan más frecuentemente como síndormes / anomalías congénitas múltiples que los casos con fisura de labio	SI
		Mayor a 11,1 por 10.000	SI
	Prevalencia	Prevalencia de fisura de labio y paladar > Prevalencia de fisura de paladar > Fisura de labio	SI
		Encefalocele con localización especificada	74,36%
	Descripción	Espina bífida con cobertura de piel especificada (abierto o cerrado)	57,74%
Defectos del tubo neural		Espina bifida con localización especificada	77,98%
Defectos del tubo fleural	Clasificación	Encefalocele con más anomalías asociadas que espina bífida	SI
	Drovolonoio	Mayor a 5,7 por 10.000	SI
	Prevalencia	Prevalencia de espina bifida > anencefalia > encefalocele	SI
	Clasificación	Más del 80% de los casos de gastrosquisis con presentación aislada	SI
	Ciasilicación	Onfalocele es más frecuente en formas múltiples y sindrómicas que en formas aisladas	SI
Defectos de pared abdominal		Mayor a 3 por 10.000	SI
	Prevalencia	Prevalencia de gastrosquisis > onfalocele	SI
		Prevalencia de gastrosquisis en menores de 20 años > mayores de 19 años	SI
	Descripción	Hispospadias de grado especificado	68,42%
Hipospadias	Clasificación	Más del 80% de los casos de hipospadias con presentación aislada	NO
	Prevalencia	Mayor a 6,2 por 10.000	NO
	Descripción	Defectos de tipo y localización especificada	57,94%
	Descripción	Focomelia (descripción del caso con RX)	sin casos
Defectos de reducción de miembros		Mayor a 3,8 por 10.000	SI
membros	Prevalencia	Transversal > preaxial > postaxial	SI
		Miembro superior > inferior > superior+inferior	SI
Tolingo	Descripción	Defectos de tipo especificado	45,76%
Talipes	Prevalencia	Mayor a 7,9 por 10.000	NO
	Descripción	Defectos de tipo especificado	97,96%
Cardiopatías	Prevalencia de cardiopatias severas	Mayor a 21,5 por 1.000	NO
Battered Constitution	Descripción	Microtia de grado especificado	93,81%
Microtia / anotia	Prevalencia	Mayor a 0,5 por 10.000	SI
Polidactilia	Descripción	Defectos de tipo y localización especificada	77,62%
		Osteogenesis imperfecta	5/10
		Polidactilia-costillas cortas	1/2
Displasias esqueléticas	Defecto confirmado por RX	Displasia campomélica	sin casos
	por IV	Displasia tanatofórica	1/9
		Acondroplasia	2/9

SECCIÓN 5: MORTALIDAD

Tabla 12: Defunciones infantiles por causas agrupadas en el código Q (CIE-10): "Malformaciones congénitas, deformaciones y anomalías cromosómicas", por jurisdicción. Argentina, año 2017.

Jurisdicción	Nacidos	Defunciones	Mortalidad Infantil (MI)	Defunciones infantiles por causas agrupadas código Q		
	Vivos	Infantiles	x 1.000	N	Mortalidad proporcional (%)	Tasa de MI específica x 1.000
BUENOS AIRES	262.721	2.471	9,41	730	29,54	2,78
CABA	35.84	248	6,92	77	31,05	2,15
CATAMARCA	6.392	50	7,82	18	36,00	2,82
CHACO	23.125	253	10,94	67	26,48	2,90
CHUBUT	9.023	61	6,76	22	36,07	2,44
CORDOBA	54.804	507	9,25	129	25,44	2,35
CORRIENTES	19.987	255	12,76	54	21,18	2,70
ENTRE RIOS	21.966	181	8,24	46	25,41	2,09
FORMOSA	11.591	186	16,05	54	29,03	4,66
JUJUY	11.785	124	10,52	32	25,81	2,72
LA PAMPA	4.979	43	8,64	13	30,23	2,61
LA RIOJA	5.895	60	10,18	14	23,33	2,37
MENDOZA	31.42	245	7,80	73	29,80	2,32
MISIONES	25.738	215	8,35	66	30,70	2,56
NEUQUEN	10.397	74	7,12	23	31,08	2,21
RIO NEGRO	11.513	93	8,08	25	26,88	2,17
SALTA	27.014	297	10,99	79	26,60	2,92
SAN JUAN	13.705	146	10,65	49	33,56	3,58
SAN LUIS	7.225	60	8,30	24	40,00	3,32
SANTA CRUZ	5.747	48	8,35	9	18,75	1,57
SANTA FE	53.206	480	9,02	151	31,46	2,84
SGO DEL ESTERO	17.783	134	7,54	25	18,66	1,41
TIERRA DEL	2.718	19	6,99	2	10,53	0,74
TUCUMAN	27.369	316	11,55	79	25,00	2,89
Total	704.609	6.579	9,34	1.864	28,33	2,65

Fuente: Dirección de Estadísticas e Información de Salud. Ministerio de Salud de la Nación. Año 2018.



INFORMACIÓN DISCRIMINADA POR JURISDICCIÓN

BUENOS AIRES

Tabla 1: Cobertura de la RENAC en la provincia de Buenos Aires, año 2018.

Indicadores	Subsector público	Subsector privado / obra social	Total
Hospitales incorporados hasta diciembre de 2018	43	8	51
Nacimientos totales	136.221	82.064	218.285
Nacimientos examinados en la RENAC	74.324	12.486	86.810
Cobertura %	55	15	40

^{*}Fuente: Dirección de Estadísticas e Información de Salud. Ministerio de Salud de la Nación. Año 2018 (con datos del año 2017).

Tabla 2: Clasificación por presentación clínica de casos reportados con anomalías congénitas mayores, Buenos Aires. RENAC, año 2018.

Casas vanautadas	Naci	Nacidos vivos		Fetos muertos		Total
Casos reportados		%		%	NE	IOLAI
Casos aislados	1003	97,47	26	2,53	0	1029
Casos múltiples	172	92,47	14	7,53	0	186
Casos sindrómicos	211	95,48	10	4,52	0	221
Total	1386	96.52	50	3,48	0	1436

Tabla 3: Medidas de tendencia central y dispersión de la prevalencia entre hospitales de la jurisdicción, Buenos Aires. RENAC, año 2018.

Métrica	Prevalencia
Prevalencia conjunta	1,66
Media	1,41
Mediana	1,19
Percentilo 25	0,79
Percentilo 75	1,66
Desvío standard	1,03
Mínimo	0,1
Máximo	6,12

Tabla 4: Prevalencia de anomalías congénitas mayores agrupadas por categorías, Buenos Aires. RENAC, año 2018.

Categorías de anomalías congénitas (Código Q CIE-10)	Casos reportados	Prevalencia por 10.000 (IC 95%)	Casos esperados
Defectos de tubo neural (Q00, Q01, Q05)	76	8,75 (6,9-10,96)	203 (160-255)
Cardiopatías severas (Q20.0, Q20.3, Q20.4, Q21.3, Q21.82, Q22.00, Q22.40, Q22.5, Q23.4, Q25.1-Q25.19, Q25.2, Q26.2, Q26.20)	111	12,79 (10,52-15,4)	297 (245-358)
Fisuras orales (Q35-Q37)	135	15,55 (13,04-18,41)	362 (303-428)
Talipes (Q66.0, Q66.4, Q66.8)	54	6,22 (4,67-8,12)	145 (109-189)
Defectos de pared abdominal (Q79.2-Q79.5)	102	11,75 (9,58-14,26)	273 (223-332)
Defectos de reducción de miembros (Q71-Q73)	35	4,03 (2,81-5,61)	94 (65-130)
Cromosomopatías (Q90-Q99)	193	22,23 (19,21-25,6)	517 (447-595)

Tabla 5: Prevalencia de anomalías congénitas específicas seleccionadas, Buenos Aires. RENAC, año 2018.

Anomalías congénitas específicas (Codigo Q CIE10)	Casos reportados	Prevalencia por 10.000 (IC 95%)	Casos esperados (IC 95%)
Anencefalia (Q00)	10	1,15 (0,55-2,12)	27 (13-49)
Espina bífida (Q05)	57	6,57 (4,97-8,51)	153 (116-198)
Hidrocefalia (Q03)	50	5,76 (4,28-7,59)	134 (100-177)
Fallot (Q21.3, Q21.82)	27	3,11 (2,05-4,53)	72 (48-105)
Transposición de grandes vasos (Q20.3)	14	1,61 (0,88-2,71)	37 (20-63)
Paladar hendido (Q35)	27	3,11 (2,05-4,53)	72 (48-105)
Fisura de labio +- paladar (Q36-Q37)	83	9,56 (7,62-11,85)	222 (177-276)
Atresia de esófago (Q39.0-Q39.11)	25	2,88 (1,86-4,25)	67 (43-99)
Talipes equinovarus (Q66.0)	46	5,3 (3,88-7,07)	123 (90-164)
Síndrome de Down (Q90)	158	18,2 (15,47-21,27)	423 (360-495)
Síndrome de Down, < 35 años	61	8,51 (6,51-10,93)	
Síndrome de Down, 35 años o más	93	61,42 (49,58-75,25)	
Síndrome de Down, edad NE	4		
Gastrosquisis (Q79.3)	77	8,87 (7-11,09)	206 (163-258)
Gastrosquisis, < 20 años	36	33,73 (23,62-46,7)	
Gastrosquisis, 20 años o más	41	5,39 (3,86-7,31)	
Gastrosquisis, edad NE	0		

CIUDAD AUTÓNOMA DE CIUDAD AUTÓNOMA DE BUENOS AIRES (CABA)

Tabla 1: Cobertura de la RENAC en la CABA. RENAC, año 2018.

Indicadores	Subsector público	Subsector privado /obra social	Total
Hospitales incorporados hasta diciembre de 2018	13	8	21
Nacimientos totales	25.790	42.077	67.867
Nacimientos examinados en la RENAC	22.439	12.055	34.494
Cobertura %	87	29	51

^{*}Fuente: Dirección de Estadísticas e Información de Salud. Ministerio de Salud de la Nación. Año 2018 (con datos del año 2017).

Tabla 2: Clasificación por presentación clínica de casos reportados con anomalías congénitas mayores, CABA. RENAC, año 2018.

Casas reportados	Naci	dos vivos	Fetos muertos		Total	
Casos reportados		%		%	INE	IOLAI
Casos aislados	534	95,19	25	4,46	2	561
Casos múltiples	91	91,92	7	7,07	1	99
Casos sindrómicos	107	90,68	9	7,63	2	118
Total	732	94,09	41	5,27	5	778

Tabla 3: Medidas de tendencia central y dispersión de la prevalencia entre hospitales de la jurisdicción, CABA. RENAC, año 2018.

Métrica	Prevalencia
Prevalencia conjunta	2,26
Media	6,57
Mediana	1,94
Percentilo 25	1,15
Percentilo 75	2,59
Desvío standard	21,43
Mínimo	0,24
Máximo	100

Tabla 4: Prevalencia de anomalías congénitas mayores agrupadas por categorías, CABA. RENAC, año 2018.

Categorías de anomalías congénitas (Código Q CIE-10)	Casos reportados	Prevalencia por 10.000 (IC 95%)	Casos esperados
Defectos de tubo neural (Q00, Q01, Q05)	54	15,65 (11,76-20,43)	106 (80-139)
Cardiopatías severas (Q20.0, Q20.3, Q20.4, Q21.3, Q21.82, Q22.00, Q22.40, Q22.5, Q23.4, Q25.1-Q25.19, Q25.2, Q26.2, Q26.20)	61	17,68 (13,53-22,72)	120 (92-154)
Fisuras orales (Q35-Q37)	54	15,65 (11,76-20,43)	106 (80-139)
Talipes (Q66.0, Q66.4, Q66.8)	20	5,8 (3,54-8,95)	39 (24-61)
Defectos de pared abdominal (Q79.2-Q79.5)	63	18,26 (14,03-23,37)	124 (95-159)
Defectos de reducción de miembros (Q71-Q73)	20	5,8 (3,54-8,95)	39 (24-61)
Cromosomopatías (Q90-Q99)	90	26,09 (20,98-32,07)	177 (143-218)

Tabla 5: Prevalencia de anomalías congénitas específicas seleccionadas CABA RENAC año 2018

Anomalías congénitas específicas (Codigo Q CIE10)	Casos reportados	Prevalencia por 10.000 (IC 95%)	Casos esperados (IC 95%)
Anencefalia (Q00)	13	3,77 (2,01-6,44)	26 (14-44)
Espina bífida (Q05)	35	10,15 (7,07-14,11)	69 (48-96)
Hidrocefalia (Q03)	36	10,44 (7,31-14,45)	71 (50-98)
Fallot (Q21.3, Q21.82)	7	2,03 (0,82-4,18)	14 (6-28)
Transposición de grandes vasos (Q20.3)	11	3,19 (1,59-5,71)	22 (11-39)
Paladar hendido (Q35)	14	4,06 (2,22-6,81)	28 (15-46)
Fisura de labio +- paladar (Q36-Q37)	31	8,99 (6,11-12,76)	61 (42-87)
Atresia de esófago (Q39.0-Q39.11)	23	6,67 (4,23-10,01)	45 (29-68)
Talipes equinovarus (Q66.0)	17	4,93 (2,87-7,89)	34 (20-54)
Síndrome de Down (Q90)	71	20,58 (16,08-25,96)	140 (109-176)
Síndrome de Down, < 35 años	20	8,52 (5,21-13,16)	
Síndrome de Down, 35 años o más	51	46,25 (34,43-60,8)	
Síndrome de Down, edad NE	0		
Gastrosquisis (Q79.3)	40	11,6 (8,28-15,79)	79 (56-107)
Gastrosquisis, < 20 años	14	76,97 (42,08-129,13)	
Gastrosquisis, 20 años o más	25	7,65 (4,95-11,29)	
Gastrosquisis, edad NE	0		

CATAMARCA

Tabla 1: Cobertura de la RENAC en la provincia de Catamarca. RENAC, año 2018.

Indicadores	Subsector público	Subsector privado / obra social	Total
Hospitales incorporados hasta diciembre de 2018	1	0	1
Nacimientos totales	3.640	2.630	6.270
Nacimientos examinados en la RENAC	2.794	0	2.794
Cobertura %	77	0	45

^{*}Fuente: Dirección de Estadísticas e Información de Salud. Ministerio de Salud de la Nación. Año 2018 (con datos del año 2017).

Tabla 2: Clasificación por presentación clínica de casos reportados con anomalías congénitas mayores, Catamarca. RENAC, año 2018.

Coooo konoutadoo	Naci	Nacidos vivos Fetos mue		s muertos	NE	Total
Casos reportados		%		%	NE	IOLAI
Casos aislados	25	100	0	0	0	25
Casos múltiples	4	100	0	0	0	4
Casos sindrómicos	9	100	0	0	0	9
Total	38	100	0	0	0	38

Tabla 4: Prevalencia de anomalías congénitas específicas seleccionadas, Catamarca. RENAC, año 2018.

Categorías de anomalías congénitas (Código Q CIE-10)	Casos reportados	Prevalencia por 10.000 (IC 95%)	Casos esperados
Defectos de tubo neural (Q00, Q01, Q05)	3	10,74 (2,21-31,38)	7 (1-20)
Cardiopatías severas (Q20.0, Q20.3, Q20.4, Q21.3, Q21.82, Q22.00, Q22.40, Q22.5, Q23.4, Q25.1-Q25.19, Q25.2, Q26.2, Q26.20)	5	17,9 (5,81-41,76)	11 (4-26)
Fisuras orales (Q35-Q37)	6	21,47 (7,88-46,74)	14 (5-29)
Talipes (Q66.0, Q66.4, Q66.8)	0	NR	NR
Defectos de pared abdominal (Q79.2-Q79.5)	2	7,16 (0,87-25,86)	5 (1-16)
Defectos de reducción de miembros (Q71-Q73)	1	3,58 (0,09-19,94)	2 (1-13)
Cromosomopatías (Q90-Q99)	8	28,63 (12,36-56,42)	18 (8-36)

Tabla 5: Prevalencia de anomalías congénitas específicas seleccionadas, Catamarca. RENAC, año 2018.

Anomalías congénitas específicas (Codigo Q CIE10)	Casos reportados	Prevalencia por 10.000 (IC 95%)	Casos esperados (IC 95%)
Anencefalia (Q00)	1	3,58 (0,09-19,93)	2 (1-13)
Espina bífida (Q05)	1	3,58 (0,09-19,93)	2 (1-13)
Hidrocefalia (Q03)	4	14,31 (3,9-36,64)	9 (2-23)
Fallot (Q21.3, Q21.82)	1	3,58 (0,09-19,93)	2 (1-13)
Transposición de grandes vasos (Q20.3)	0	NR	NR
Paladar hendido (Q35)	1	3,58 (0,09-19,93)	2 (1-13)
Fisura de labio +- paladar (Q36-Q37)	4	14,31 (3,9-36,64)	9 (2-23)
Atresia de esófago (Q39.0-Q39.11)	1	3,58 (0,09-19,93)	2 (1-13)
Talipes equinovarus (Q66.0)	0	NR	NR
Síndrome de Down (Q90)	8	28,62 (12,36-56,4)	18 (8-36)
Síndrome de Down, < 35 años	2	8,14 (0,99-29,42)	
Síndrome de Down, 35 años o más	6	176,99 (64,95-385,24)	
Síndrome de Down, edad NE	0		
Gastrosquisis (Q79.3)	2	7,16 (0,87-25,85)	5 (1-16)
Gastrosquisis, < 20 años	2	35,09 (4,25-126,75)	
Gastrosquisis, 20 años o más	0	NR	
Gastrosquisis, edad NE	0		

Indicadores	Subsector público	Subsector privado /obra social	Total
Hospitales incorporados hasta diciembre de 2018	4	0	4
Nacimientos totales	15.514	7.349	22.863
Nacimientos examinados en la RENAC	8.546	0	8.546
Cobertura %	55	0	37

^{*}Fuente: Dirección de Estadísticas e Información de Salud. Ministerio de Salud de la Nación. Año 2018 (con datos del año 2017).

Tabla 2: Clasificación por presentación clínica de casos reportados con anomalías congénitas mayores, Chaco. RENAC, año 2018.

Casos reportados	Naci	dos vivos	Fetos muertos		NE	E Total	
Casos reportados		%		%	NE	IOLAI	
Casos aislados	97	98,98	1	1,02	0	98	
Casos múltiples	22	100	0	0	0	22	
Casos sindrómicos	20	100	0	0	0	20	
Total	139	99,29	1	0,71	0	140	

Tabla 3: Medidas de tendencia central y dispersión de la prevalencia entre hospitales de la jurisdicción, Chaco. RENAC, año 2018.

Métrica	Prevalencia
Prevalencia conjunta	1,64
Media	1,25
Mediana	1,2
Percentilo 25	0,73
Percentilo 75	1,73
Desvío standard	0,71
Mínimo	0,54
Máximo	2,07

Tabla 4: Prevalencia de anomalías congénitas mayores agrupadas por categorías, Chaco. RENAC, año 2018.

Categorías de anomalías congénitas (Código Q CIE-10)	Casos reportados	Prevalencia por 10.000 (IC 95%)	Casos esperados
Defectos de tubo neural (Q00, Q01, Q05)	14	16,38 (8,96-27,49)	38 (21-64)
Cardiopatías severas (Q20.0, Q20.3, Q20.4, Q21.3, Q21.82, Q22.00, Q22.40, Q22.5, Q23.4, Q25.1-Q25.19, Q25.2, Q26.2, Q26.20)	7	8,19 (3,29-16,88)	19 (8-39)
Fisuras orales (Q35-Q37)	11	12,87 (6,43-23,03)	30 (15-53)
Talipes (Q66.0, Q66.4, Q66.8)	4	4,68 (1,28-11,98)	11 (3-28)
Defectos de pared abdominal (Q79.2-Q79.5)	7	8,19 (3,29-16,88)	19 (8-39)
Defectos de reducción de miembros (Q71-Q73)	4	4,68 (1,28-11,98)	11 (3-28)
Cromosomopatías (Q90-Q99)	19	22,23 (13,39-34,72)	52 (31-81)

Tabla 5: Prevalencia de anomalías congénitas específicas seleccionadas, Chaco. RENAC, año 2018.

Anomalías congénitas específicas (Codigo Q CIE10)	Casos reportados	Prevalencia por 10.000 (IC 95%)	Casos esperados (IC 95%)
Anencefalia (Q00)	3	3,51 (0,72-10,26)	8 (2-24)
Espina bífida (Q05)	10	11,7 (5,61-21,52)	27 (13-50)
Hidrocefalia (Q03)	5	5,85 (1,9-13,65)	14 (4-32)
Fallot (Q21.3, Q21.82)	2	2,34 (0,28-8,45)	5 (1-20)
Transposición de grandes vasos (Q20.3)	2	2,34 (0,28-8,45)	5 (1-20)
Paladar hendido (Q35)	0	NR	NR
Fisura de labio +- paladar (Q36-Q37)	10	11,7 (5,61-21,52)	27 (13-50)
Atresia de esófago (Q39.0-Q39.11)	5	5,85 (1,9-13,65)	14 (4-32)
Talipes equinovarus (Q66.0)	3	3,51 (0,72-10,26)	8 (2-24)
Síndrome de Down (Q90)	15	17,55 (9,82-28,95)	41 (23-67)
Síndrome de Down, < 35 años	8	11,2 (4,84-22,07)	
Síndrome de Down, 35 años o más	7	49,86 (20,05-102,73)	
Síndrome de Down, edad NE	0		
Gastrosquisis (Q79.3)	6	7,02 (2,58-15,28)	16 (6-35)
Gastrosquisis, < 20 años	2	21,16 (2,56-76,45)	
Gastrosquisis, 20 años o más	4	5,26 (1,43-13,47)	
Gastrosquisis, edad NE	0		

Tabla 1: Cobertura de la RENAC en la provincia de Chubut. RENAC, año 2018.

CHUBUT

Indicadores	Subsector público	Subsector privado /obra social	Total
Hospitales incorporados hasta diciembre de 2018	5	1	6
Nacimientos totales	3.603	5.415	9.018
Nacimientos examinados en la RENAC	3.432	351	3.783
Cobertura %	95	6	42

^{*}Fuente: Dirección de Estadísticas e Información de Salud. Ministerio de Salud de la Nación. Año 2018 (con datos del año 2017).

Tabla 2: Clasificación por presentación clínica de casos reportados con anomalías congénitas mayores, Chubut. RENAC, año 2018.

Casas vanavtadas	Naci	dos vivos	ivos Fetos muertos		NE	Total	
Casos reportados		%		%	NE	IUtai	
Casos aislados	44	93,62	2	4,26	1	47	
Casos múltiples	5	100	0	0	0	5	
Casos sindrómicos	8	80	2	20	0	10	
Total	57	91,94	4	6,45	1	62	

Tabla 3: Medidas de tendencia central y dispersión de la prevalencia entre hospitales de la jurisdicción, Chubut. RENAC, año 2018.

Métrica	Prevalencia
Prevalencia conjunta	1,64
Media	1,54
Mediana	1,54
Percentilo 25	1,21
Percentilo 75	1,92
Desvío standard	0,65
Mínimo	0,58
Máximo	2,41

Tabla 4: Prevalencia de anomalías congénitas mayores agrupadas por categorías, Chubut. RENAC, año 2018.

Categorías de anomalías congénitas (Código Q CIE-10)	Casos reportados	Prevalencia por 10.000 (IC 95%)	Casos esperados
Defectos de tubo neural (Q00, Q01, Q05)	6	15,86 (5,82-34,52)	14 (5-31)
Cardiopatías severas (Q20.0, Q20.3, Q20.4, Q21.3, Q21.82, Q22.00, Q22.40, Q22.5, Q23.4, Q25.1-Q25.19, Q25.2, Q26.2, Q26.20)	4	10,57 (2,88-27,07)	10 (3-24)
Fisuras orales (Q35-Q37)	5	13,22 (4,29-30,84)	12 (4-28)
Talipes (Q66.0, Q66.4, Q66.8)	0	NR	NR
Defectos de pared abdominal (Q79.2-Q79.5)	1	2,64 (0,07-14,73)	2 (1-13)
Defectos de reducción de miembros (Q71-Q73)	2	5,29 (0,64-19,1)	5 (1-17)
Cromosomopatías (Q90-Q99)	6	15,86 (5,82-34,52)	14 (5-31)

Tabla 5: Prevalencia de anomalías congénitas específicas seleccionadas, Chubut. RENAC, año 2018.

Anomalías congénitas específicas (Codigo Q CIE10)	Casos reportados	Prevalencia por 10.000 (IC 95%)	Casos esperados (IC 95%)	
Anencefalia (Q00)	3	7,93 (1,63-23,17)	7 (1-21)	
Espina bífida (Q05)	2	5,29 (0,64-19,09)	5 (1-17)	
Hidrocefalia (Q03)	0	NR	NR	
Fallot (Q21.3, Q21.82)	1	2,64 (0,07-14,72)	2 (1-13)	
Transposición de grandes vasos (Q20.3)	1	2,64 (0,07-14,72)	2 (1-13)	
Paladar hendido (Q35)	1	2,64 (0,07-14,72)	2 (1-13)	
Fisura de labio +- paladar (Q36-Q37)	4	10,57 (2,88-27,07)	10 (3-24)	
Atresia de esófago (Q39.0-Q39.11)	3	7,93 (1,63-23,17)	7 (1-21)	
Talipes equinovarus (Q66.0)	0	NR	NR	
Síndrome de Down (Q90)	4	10,57 (2,88-27,07)	10 (3-24)	
Síndrome de Down, < 35 años	2	6,24 (0,76-22,55)		
Síndrome de Down, 35 años o más	2	34,48 (4,18-124,56)		
Síndrome de Down, edad NE	0			
Gastrosquisis (Q79.3)	1	2,64 (0,07-14,72)	2 (1-13)	
Gastrosquisis, < 20 años	0	NR		
Gastrosquisis, 20 años o más	1	3,16 (0,08-17,63)		
Gastrosquisis, edad NE	0			

Indicadores	Subsector público	Subsector privado /obra social	Total
Hospitales incorporados hasta diciembre de 2018	9	1	10
Nacimientos totales	25.719	29.359	55.078
Nacimientos examinados en la RENAC	14.175	1.405	15.580
Cobertura %	55	5	28

^{*}Fuente: Dirección de Estadísticas e Información de Salud. Ministerio de Salud de la Nación. Año 2018 (con datos del año 2017).

Tabla 2: Clasificación por presentación clínica de casos reportados con anomalías congénitas mayores, Córdoba. RENAC, año 2018.

	Naci	Nacidos vivos Fetos muertos		Nacidos vivos Fetos muertos		Fetos muertos		os vivos Fetos muertos		Total
Casos reportados		%		%	NE					
Casos aislados	263	97,05	7	2,58	1	271				
Casos múltiples	22	84,62	4	15,38	0	26				
Casos sindrómicos	44	95,65	2	4,35	0	46				
Total	329	95,92	13	3,79	1	343				

Tabla 3: Medidas de tendencia central y dispersión de la prevalencia entre hospitales de la jurisdicción, Córdoba. RENAC, año 2018.

Métrica	Prevalencia
Prevalencia conjunta	2,24
Media	2,33
Mediana	2,3
Percentilo 25	1,42
Percentilo 75	2,71
Desvío standard	1,21
Mínimo	0,92
Máximo	4,7

Tabla 4: Prevalencia de anomalías congénitas mayores agrupadas por categorías, Córdoba. RENAC, año 2018.

Categorías de anomalías congénitas (Código Q CIE-10)	Casos reportados	Prevalencia por 10.000 (IC 95%)	Casos esperados
Defectos de tubo neural (Q00, Q01, Q05)	22	14,12 (8,85-21,38)	78 (49-118)
Cardiopatías severas (Q20.0, Q20.3, Q20.4, Q21.3, Q21.82, Q22.00, Q22.40, Q22.5, Q23.4, Q25.1-Q25.19, Q25.2, Q26.2, Q26.20)	28	17,97 (11,94-25,97)	99 (66-144)
Fisuras orales (Q35-Q37)	27	17,33 (11,42-25,21)	96 (63-139)
Talipes (Q66.0, Q66.4, Q66.8)	9	5,78 (2,64-10,97)	32 (15-61)
Defectos de pared abdominal (Q79.2-Q79.5)	19	12,2 (7,34-19,04)	67 (41-105)
Defectos de reducción de miembros (Q71-Q73)	8	5,13 (2,22-10,12)	28 (12-56)
Cromosomopatías (Q90-Q99)	35	22,46 (15,65-31,24)	124 (87-173)

Tabla 5: Prevalencia de anomalías congénitas específicas seleccionadas, Córdoba. RENAC, año 2018.

Anomalías congénitas específicas (Codigo Q CIE10)	Casos reportados	Prevalencia por 10.000 (IC 95%)	Casos esperados (IC 95%)	
Anencefalia (Q00)	7	4,49 (1,81-9,26)	25 (10-51)	
Espina bífida (Q05)	11	7,06 (3,52-12,63)	39 (19-70)	
Hidrocefalia (Q03)	13	8,34 (4,44-14,27)	46 (25-79)	
Fallot (Q21.3, Q21.82)	10	6,42 (3,08-11,8)	36 (17-65)	
Transposición de grandes vasos (Q20.3)	7	4,49 (1,81-9,26)	25 (10-51)	
Paladar hendido (Q35)	9	5,78 (2,64-10,97)	32 (15-61)	
Fisura de labio +- paladar (Q36-Q37)	11	7,06 (3,52-12,63)	39 (19-70)	
Atresia de esófago (Q39.0-Q39.11)	6	3,85 (1,41-8,38)	21 (8-46)	
Talipes equinovarus (Q66.0)	6	3,85 (1,41-8,38)	21 (8-46)	
Síndrome de Down (Q90)	28	17,97 (11,94-25,98)	99 (66-144)	
Síndrome de Down, < 35 años	14	11,03 (6,03-18,51)		
Síndrome de Down, 35 años o más	13	44,98 (23,95-76,92)		
Síndrome de Down, edad NE	1			
Gastrosquisis (Q79.3)	13	8,34 (4,44-14,27)	46 (25-79)	
Gastrosquisis, < 20 años	5	26,74 (8,68-62,4)		
Gastrosquisis, 20 años o más	8	5,84 (2,52-11,5)		
Gastrosquisis, edad NE	0			

Tabla 1: Cobertura de la RENAC en la provincia de Corrientes. RENAC, año 2018.

CORRIENTES

Indicadores	Subsector público	Subsector privado / obra social	Total
Hospitales incorporados hasta diciembre de 2018	3	0	3
Nacimientos totales	13.534	6.338	19.872
Nacimientos examinados en la RENAC	5.245	0	5.245
Cobertura %	39	0	26

^{*}Fuente: Dirección de Estadísticas e Información de Salud. Ministerio de Salud de la Nación. Año 2018 (con datos del año 2017).

Tabla 2: Clasificación por presentación clínica de casos reportados con anomalías congénitas mayores, Corrientes. RENAC, año 2018.

Casas vanavtadas	Naci	dos vivos	Feto	s muertos	NE	Total
Casos reportados		%		%	NE	IOLAI
Casos aislados	43	100	0	0	0	43
Casos múltiples	17	100	0	0	0	17
Casos sindrómicos	7	100	0	0	0	7
Total	67	100	0	0	0	67

Tabla 4: Prevalencia de anomalías congénitas específicas seleccionadas, Corrientes. RENAC, año 2018.

Categorías de anomalías congénitas (Código Q CIE-10)	Casos reportados	Prevalencia por 10.000 (IC 95%)	Casos esperados
Defectos de tubo neural (Q00, Q01, Q05)	6	11,44 (4,2-24,9)	23 (8-50)
Cardiopatías severas (Q20.0, Q20.3, Q20.4, Q21.3, Q21.82, Q22.00, Q22.40, Q22.5, Q23.4, Q25.1-Q25.19, Q25.2, Q26.2, Q26.20)	5	9,53 (3,1-22,25)	19 (6-44)
Fisuras orales (Q35-Q37)	11	20,97 (10,47-37,53)	42 (21-75)
Talipes (Q66.0, Q66.4, Q66.8)	3	5,72 (1,18-16,72)	11 (2-33)
Defectos de pared abdominal (Q79.2-Q79.5)	6	11,44 (4,2-24,9)	23 (8-50)
Defectos de reducción de miembros (Q71-Q73)	2	3,81 (0,46-13,77)	8 (1-27)
Cromosomopatías (Q90-Q99)	7	13,35 (5,37-27,5)	27 (11-55)

Tabla 5: Prevalencia de anomalías congénitas específicas seleccionadas, Corrientes. RENAC, año 2018.

Anomalías congénitas específicas (Codigo Q CIE10)	Casos reportados	Prevalencia por 10.000 (IC 95%)	Casos esperados (IC 95%)
Anencefalia (Q00)	1	1,91 (0,05-10,62)	4 (1-21)
Espina bífida (Q05)	3	5,72 (1,18-16,72)	11 (2-33)
Hidrocefalia (Q03)	7	13,35 (5,37-27,5)	27 (11-55)
Fallot (Q21.3, Q21.82)	0	NR	NR
Transposición de grandes vasos (Q20.3)	1	1,91 (0,05-10,62)	4 (1-21)
Paladar hendido (Q35)	1	1,91 (0,05-10,62)	4 (1-21)
Fisura de labio +- paladar (Q36-Q37)	9	17,16 (7,85-32,57)	34 (16-65)
Atresia de esófago (Q39.0-Q39.11)	2	3,81 (0,46-13,77)	8 (1-27)
Talipes equinovarus (Q66.0)	3	5,72 (1,18-16,72)	11 (2-33)
Síndrome de Down (Q90)	6	11,44 (4,2-24,9)	23 (8-50)
Síndrome de Down, < 35 años	0	NR	
Síndrome de Down, 35 años o más	6	85,11 (31,23-185,24)	
Síndrome de Down, edad NE	0		
Gastrosquisis (Q79.3)	3	5,72 (1,18-16,72)	11 (2-33)
Gastrosquisis, < 20 años	2	20,81 (2,52-75,18)	
Gastrosquisis, 20 años o más	1	2,33 (0,06-13,01)	
Gastrosquisis, edad NE	0		

Indicadores	Subsector público	Subsector privado /obra social	Total
Hospitales incorporados hasta diciembre de 2018	4	1	5
Nacimientos totales	11.810	9.987	21.797
Nacimientos examinados en la RENAC	7.617	626	8.243
Cobertura %	65	6	38

^{*}Fuente: Dirección de Estadísticas e Información de Salud. Ministerio de Salud de la Nación. Año 2018 (con datos del año 2017).

Tabla 2: Clasificación por presentación clínica de casos reportados con anomalías congénitas mayores, Entre Ríos. RENAC, año 2018.

	Naci	dos vivos	Fetos muertos		NE	Total
Casos reportados		%		%	NE	Iotai
Casos aislados	69	100	0	0	0	69
Casos múltiples	10	100	0	0	0	10
Casos sindrómicos	16	100	0	0	0	16
Total	95	100	0	0	0	95

Tabla 3: Medidas de tendencia central y dispersión de la prevalencia entre hospitales de la jurisdicción, Entre Ríos. RENAC, año 2018.

Métrica	Prevalencia
Prevalencia conjunta	1,15
Media	1,06
Mediana	1,11
Percentilo 25	0,62
Percentilo 75	1,37
Desvío standard	0,52
Mínimo	0,48
Máximo	1,72

Tabla 4: Prevalencia de anomalías congénitas mayores agrupadas por categorías, Entre Ríos. RENAC, año 2018.

Categorías de anomalías congénitas (Código Q CIE-10)	Casos reportados	Prevalencia por 10.000 (IC 95%)	Casos esperados
Defectos de tubo neural (Q00, Q01, Q05)	8	9,71 (4,19-19,12)	21 (9-42)
Cardiopatías severas (Q20.0, Q20.3, Q20.4, Q21.3, Q21.82, Q22.00, Q22.40, Q22.5, Q23.4, Q25.1-Q25.19, Q25.2, Q26.2, Q26.20)	6	7,28 (2,67-15,84)	16 (6-35)
Fisuras orales (Q35-Q37)	15	18,2 (10,18-30,01)	40 (22-65)
Talipes (Q66.0, Q66.4, Q66.8)	2	2,43 (0,29-8,76)	5 (1-19)
Defectos de pared abdominal (Q79.2-Q79.5)	7	8,49 (3,41-17,5)	19 (7-38)
Defectos de reducción de miembros (Q71-Q73)	3	3,64 (0,75-10,64)	8 (2-23)
Cromosomopatías (Q90-Q99)	11	13,34 (6,66-23,88)	29 (15-52)

Tabla 5: Prevalencia de anomalías congénitas específicas seleccionadas, Entre Ríos. RENAC, año 2018.

Anomalías congénitas específicas (Codigo Q CIE10)	Casos reportados	Prevalencia por 10.000 (IC 95%)	Casos esperados (IC 95%)
Anencefalia (Q00)	1	1,21 (0,03-6,76)	3 (1-15)
Espina bífida (Q05)	6	7,28 (2,67-15,84)	16 (6-35)
Hidrocefalia (Q03)	2	2,43 (0,29-8,76)	5 (1-19)
Fallot (Q21.3, Q21.82)	1	1,21 (0,03-6,76)	3 (1-15)
Transposición de grandes vasos (Q20.3)	2	2,43 (0,29-8,76)	5 (1-19)
Paladar hendido (Q35)	1	1,21 (0,03-6,76)	3 (1-15)
Fisura de labio +- paladar (Q36-Q37)	11	13,34 (6,66-23,88)	29 (15-52)
Atresia de esófago (Q39.0-Q39.11)	4	4,85 (1,32-12,42)	11 (3-27)
Talipes equinovarus (Q66.0)	2	2,43 (0,29-8,76)	5 (1-19)
Síndrome de Down (Q90)	9	10,92 (4,99-20,73)	24 (11-45)
Síndrome de Down, < 35 años	3	4,31 (0,89-12,58)	
Síndrome de Down, 35 años o más	6	47,06 (17,27-102,43)	
Síndrome de Down, edad NE	0		
Gastrosquisis (Q79.3)	5	6,07 (1,97-14,16)	13 (4-31)
Gastrosquisis, < 20 años	2	15,49 (1,88-55,96)	
Gastrosquisis, 20 años o más	3	4,32 (0,89-12,61)	
Gastrosquisis, edad NE	0		

Tabla 1: Cobertura de la RENAC en la provincia de Formosa. RENAC, año 2018.

FORMOSA

Indicadores	Subsector público	Subsector privado / obra social	Total
Hospitales incorporados hasta diciembre de 2018	1	0	1
Nacimientos totales	8.452	2.976	11.428
Nacimientos examinados en la RENAC	4.074	0	4.074
Cobertura %	48	0	36

^{*}Fuente: Dirección de Estadísticas e Información de Salud. Ministerio de Salud de la Nación. Año 2018 (con datos del año 2017).

Tabla 2: Clasificación por presentación clínica de casos reportados con anomalías congénitas mayores, Formosa. RENAC, año 2018.

Casas vanautadas	Naci	dos vivos	Fetos muertos		NE	Total
Casos reportados		%		%	NE	IULAI
Casos aislados	50	100	0	0	0	50
Casos múltiples	5	83,33	1	16,67	0	6
Casos sindrómicos	7	100	0	0	0	7
Total	62	98,41	1	1,59	0	63

Tabla 4: Prevalencia de anomalías congénitas específicas seleccionadas, Formosa. RENAC, año 2018.

Categorías de anomalías congénitas (Código Q CIE-10)	Casos reportados	Prevalencia por 10.000 (IC 95%)	Casos esperados
Defectos de tubo neural (Q00, Q01, Q05)	2	4,91 (0,59-17,73)	6 (1-20)
Cardiopatías severas (Q20.0, Q20.3, Q20.4, Q21.3, Q21.82, Q22.00, Q22.40, Q22.5, Q23.4, Q25.1-Q25.19, Q25.2, Q26.2, Q26.20)	6	14,73 (5,4-32,06)	17 (6-37)
Fisuras orales (Q35-Q37)	8	19,64 (8,48-38,69)	23 (10-45)
Talipes (Q66.0, Q66.4, Q66.8)	8	19,64 (8,48-38,69)	23 (10-45)
Defectos de pared abdominal (Q79.2-Q79.5)	2	4,91 (0,59-17,73)	6 (1-20)
Defectos de reducción de miembros (Q71-Q73)	3	7,36 (1,52-21,52)	9 (2-25)
Cromosomopatías (Q90-Q99)	6	14,73 (5,4-32,06)	17 (6-37)

Tabla 5: Prevalencia de anomalías congénitas específicas seleccionadas, Formosa. RENAC, año 2018.

Anomalías congénitas específicas (Codigo Q CIE10)	Casos reportados	Prevalencia por 10.000 (IC 95%)	Casos esperados (IC 95%)
Anencefalia (Q00)	1	2,46 (0,06-13,68)	3 (1-16)
Espina bífida (Q05)	1	2,46 (0,06-13,68)	3 (1-16)
Hidrocefalia (Q03)	3	7,37 (1,52-21,53)	9 (2-25)
Fallot (Q21.3, Q21.82)	2	4,91 (0,59-17,74)	6 (1-21)
Transposición de grandes vasos (Q20.3)	1	2,46 (0,06-13,68)	3 (1-16)
Paladar hendido (Q35)	1	2,46 (0,06-13,68)	3 (1-16)
Fisura de labio +- paladar (Q36-Q37)	6	14,73 (5,41-32,06)	17 (6-37)
Atresia de esófago (Q39.0-Q39.11)	2	4,91 (0,59-17,74)	6 (1-21)
Talipes equinovarus (Q66.0)	8	19,64 (8,48-38,7)	23 (11-45)
Síndrome de Down (Q90)	6	14,73 (5,41-32,06)	17 (6-37)
Síndrome de Down, < 35 años	1	2,79 (0,07-15,52)	
Síndrome de Down, 35 años o más	4	82,64 (22,52-211,6)	
Síndrome de Down, edad NE	1		
Gastrosquisis (Q79.3)	1	2,46 (0,06-13,68)	3 (1-16)
Gastrosquisis, < 20 años	1	11,34 (0,29-63,17)	
Gastrosquisis, 20 años o más	0	NR	
Gastrosquisis, edad NE	0		

Indicadores	Subsector público	Subsector privado /obra social	Total
Hospitales incorporados hasta diciembre de 2018	4	0	4
Nacimientos totales	8.142	3.795	11.937
Nacimientos examinados en la RENAC	6.717	0	6.717
Cobertura %	83	0	56

^{*}Fuente: Dirección de Estadísticas e Información de Salud. Ministerio de Salud de la Nación. Año 2018 (con datos del año 2017).

Tabla 2: Clasificación por presentación clínica de casos reportados con anomalías congénitas mayores, Jujuy. RENAC, año 2018.

Casos reportados	Naci	Nacidos vivos		Fetos muertos		Total
Casus repurtadus		%		%	NE	IUlai
Casos aislados	57	100	0	0	0	57
Casos múltiples	29	93,55	2	6,45	0	31
Casos sindrómicos	21	100	0	0	0	21
Total	107	98,17	2	1,83	0	109

Tabla 3: Medidas de tendencia central y dispersión de la prevalencia entre hospitales de la jurisdicción, Jujuy. RENAC, año 2018.

Métrica	Prevalencia
Prevalencia conjunta	1,62
Media	1,53
Mediana	1,63
Percentilo 25	1,34
Percentilo 75	1,83
Desvío standard	0,45
Mínimo	0,93
Máximo	1,94

Tabla 4: Prevalencia de anomalías congénitas mayores agrupadas por categorías, Jujuy. RENAC, año 2018.

Categorías de anomalías congénitas (Código Q CIE-10)	Casos reportados	Prevalencia por 10.000 (IC 95%)	Casos esperados
Defectos de tubo neural (Q00, Q01, Q05)	4	5,96 (1,62-15,25)	7 (2-18)
Cardiopatías severas (Q20.0, Q20.3, Q20.4, Q21.3, Q21.82, Q22.00, Q22.40, Q22.5, Q23.4, Q25.1-Q25.19, Q25.2, Q26.2, Q26.20)	4	5,96 (1,62-15,25)	7 (2-18)
Fisuras orales (Q35-Q37)	24	35,73 (22,89-53,16)	43 (27-64)
Talipes (Q66.0, Q66.4, Q66.8)	1	1,49 (0,04-8,29)	2 (1-10)
Defectos de pared abdominal (Q79.2-Q79.5)	12	17,87 (9,23-31,21)	21 (11-37)
Defectos de reducción de miembros (Q71-Q73)	4	5,96 (1,62-15,25)	7 (2-18)
Cromosomopatías (Q90-Q99)	21	31,26 (19,35-47,79)	37 (23-57)

Tabla 5: Prevalencia de anomalías congénitas específicas seleccionadas. Juiuv. RENAC. año 2018.

Anomalías congénitas específicas (Codigo Q CIE10)	Casos reportados	Prevalencia por 10.000 (IC 95%)	Casos esperados (IC 95%)
Anencefalia (Q00)	0	NR	NR
Espina bífida (Q05)	3	4,47 (0,92-13,05)	5 (1-16)
Hidrocefalia (Q03)	4	5,96 (1,62-15,25)	7 (2-18)
Fallot (Q21.3, Q21.82)	0	NR	NR
Transposición de grandes vasos (Q20.3)	1	1,49 (0,04-8,29)	2 (1-10)
Paladar hendido (Q35)	6	8,93 (3,28-19,44)	11 (4-23)
Fisura de labio +- paladar (Q36-Q37)	18	26,8 (15,88-42,35)	32 (19-51)
Atresia de esófago (Q39.0-Q39.11)	3	4,47 (0,92-13,05)	5 (1-16)
Talipes equinovarus (Q66.0)	1	1,49 (0,04-8,29)	2 (1-10)
Síndrome de Down (Q90)	21	31,26 (19,35-47,79)	37 (23-57)
Síndrome de Down, < 35 años	10	17,74 (8,51-32,62)	
Síndrome de Down, 35 años o más	11	101,95 (50,89-182,41)	
Síndrome de Down, edad NE	0		
Gastrosquisis (Q79.3)	8	11,91 (5,14-23,47)	14 (6-28)
Gastrosquisis, < 20 años	3	27,45 (5,66-80,21)	
Gastrosquisis, 20 años o más	5	8,89 (2,89-20,75)	
Gastrosquisis, edad NE	0		

LA PAMPA

Tabla 1: Cobertura de la RENAC en la provincia de La Pampa. RENAC, año 2018.

Indicadores	Subsector público	Subsector privado / obra social	Total
Hospitales incorporados hasta diciembre de 2018	2	0	2
Nacimientos totales	2.596	2.237	4.833
Nacimientos examinados en la RENAC	1.542	0	1.542
Cobertura %	59	0	32

^{*}Fuente: Dirección de Estadísticas e Información de Salud. Ministerio de Salud de la Nación. Año 2018 (con datos del año 2017).

Tabla 2: Clasificación por presentación clínica de casos reportados con anomalías congénitas mayores, La Pampa. RENAC, año 2018.

Casos reportados	Naci	dos vivos	Feto	Fetos muertos		Total
Casos reportados		%		%	NE	IOLAI
Casos aislados	17	94,44	1	5,56	0	18
Casos múltiples	4	100	0	0	0	4
Casos sindrómicos	4	80	1	20	0	5
Total	25	92,59	2	7,41	0	27

Tabla 4: Prevalencia de anomalías congénitas específicas seleccionadas, La Pampa. RENAC, año 2018.

Categorías de anomalías congénitas (Código Q CIE-10)	Casos reportados	Prevalencia por 10.000 (IC 95%)	Casos esperados
Defectos de tubo neural (Q00, Q01, Q05)	3	19,46 (4,01-56,86)	9 (2-28)
Cardiopatías severas (Q20.0, Q20.3, Q20.4, Q21.3, Q21.82, Q22.00, Q22.40, Q22.5, Q23.4, Q25.1-Q25.19, Q25.2, Q26.2, Q26.20)	0	NR	NR
Fisuras orales (Q35-Q37)	2	12,97 (1,57-46,85)	6 (1-23)
Talipes (Q66.0, Q66.4, Q66.8)	0	NR	NR
Defectos de pared abdominal (Q79.2-Q79.5)	1	6,49 (0,16-36,13)	3 (1-17)
Defectos de reducción de miembros (Q71-Q73)	0	NR	NR
Cromosomopatías (Q90-Q99)	5	32,43 (10,53-75,67)	16 (5-37)

Tabla 5: Prevalencia de anomalías congénitas específicas seleccionadas, La Pampa. RENAC, año 2018.

Anomalías congénitas específicas (Codigo Q CIE10)	Casos reportados	Prevalencia por 10.000 (IC 95%)	Casos esperados (IC 95%)
Anencefalia (Q00)	2	12,97 (1,57-46,85)	6 (1-23)
Espina bífida (Q05)	1	6,49 (0,16-36,13)	3 (1-17)
Hidrocefalia (Q03)	2	12,97 (1,57-46,85)	6 (1-23)
Fallot (Q21.3, Q21.82)	0	NR	NR
Transposición de grandes vasos (Q20.3)	0	NR	NR
Paladar hendido (Q35)	0	NR	NR
Fisura de labio +- paladar (Q36-Q37)	2	12,97 (1,57-46,85)	6 (1-23)
Atresia de esófago (Q39.0-Q39.11)	1	6,49 (0,16-36,13)	3 (1-17)
Talipes equinovarus (Q66.0)	0	NR	NR
Síndrome de Down (Q90)	3	19,46 (4,01-56,86)	9 (2-28)
Síndrome de Down, < 35 años	0	NR	
Síndrome de Down, 35 años o más	3	123,97 (25,56-362,28)	
Síndrome de Down, edad NE	0		
Gastrosquisis (Q79.3)	1	6,49 (0,16-36,13)	3 (1-17)
Gastrosquisis, < 20 años	0	NR	
Gastrosquisis, 20 años o más	1	7,42 (0,19-41,36)	
Gastrosquisis, edad NE	0		

Indicadores	Subsector público	Subsector privado / obra social	Total
Hospitales incorporados hasta diciembre de 2018	2	0	2
Nacimientos totales	3.449	2.454	5.903
Nacimientos examinados en la RENAC	3.361	0	3.361
Cobertura %	97	0	57

^{*}Fuente: Dirección de Estadísticas e Información de Salud. Ministerio de Salud de la Nación. Año 2018 (con datos del año 2017).

Tabla 2: Clasificación por presentación clínica de casos reportados con anomalías congénitas mayores, La Rioja. RENAC, año 2018.

Coooo konoutadoo	Nacidos vivos		Fetos muertos		NE	Total
Casos reportados		%		%	NE	IOLAI
Casos aislados	101	95,28	4	3,77	1	106
Casos múltiples	16	100	0	0	0	16
Casos sindrómicos	13	100	0	0	0	13
Total	130	96,3	4	2,96	1	135

Tabla 4: Prevalencia de anomalías congénitas específicas seleccionadas, La Rioja. RENAC, año 2018.

Categorías de anomalías congénitas (Código Q CIE-10)	Casos reportados	Prevalencia por 10.000 (IC 95%)	Casos esperados
Defectos de tubo neural (Q00, Q01, Q05)	7	20,83 (8,37-42,91)	12 (5-25)
Cardiopatías severas (Q20.0, Q20.3, Q20.4, Q21.3, Q21.82, Q22.00, Q22.40, Q22.5, Q23.4, Q25.1-Q25.19, Q25.2, Q26.2, Q26.20)	3	8,93 (1,84-26,09)	5 (1-15)
Fisuras orales (Q35-Q37)	8	23,8 (10,28-46,9)	14 (6-28)
Talipes (Q66.0, Q66.4, Q66.8)	3	8,93 (1,84-26,09)	5 (1-15)
Defectos de pared abdominal (Q79.2-Q79.5)	3	8,93 (1,84-26,09)	5 (1-15)
Defectos de reducción de miembros (Q71-Q73)	3	8,93 (1,84-26,09)	5 (1-15)
Cromosomopatías (Q90-Q99)	8	23,8 (10,28-46,9)	14 (6-28)

Tabla 5: Prevalencia de anomalías congénitas específicas seleccionadas, La Rioja. RENAC, año 2018.

Anomalías congénitas específicas (Codigo Q CIE10)	Casos reportados	Prevalencia por 10.000 (IC 95%)	Casos esperados (IC 95%)	
Anencefalia (Q00)	4	11,9 (3,24-30,48)	7 (2-18)	
Espina bífida (Q05)	1	2,98 (0,08-16,58)	2 (1-10)	
Hidrocefalia (Q03)	2	5,95 (0,72-21,5)	4 (1-13)	
Fallot (Q21.3, Q21.82)	0	NR	NR	
Transposición de grandes vasos (Q20.3)	1	2,98 (0,08-16,58)	2 (1-10)	
Paladar hendido (Q35)	0	NR	NR	
Fisura de labio +- paladar (Q36-Q37)	6	17,86 (6,55-38,87)	11 (4-23)	
Atresia de esófago (Q39.0-Q39.11)	0	NR	NR	
Talipes equinovarus (Q66.0)	3	8,93 (1,84-26,09)	5 (1-15)	
Síndrome de Down (Q90)	6	17,86 (6,55-38,87)	11 (4-23)	
Síndrome de Down, < 35 años	3	10,47 (2,16-30,6)		
Síndrome de Down, 35 años o más	3	60,61 (12,5-177,12)		
Síndrome de Down, edad NE	0			
Gastrosquisis (Q79.3)	0	NR	NR	
Gastrosquisis, < 20 años	0	NR		
Gastrosquisis, 20 años o más	0	NR		
Gastrosquisis, edad NE	0			

Tabla 1: Cobertura de la RENAC en la provincia de Mendoza. RENAC, año 2018.

Indicadores	Subsector público	Subsector privado / obra social	Total
Hospitales incorporados hasta diciembre de 2018	2	1	3
Nacimientos totales	16.887	14.530	31.417
Nacimientos examinados en la RENAC	3.327	125	3.452
Cobertura %	20	1	11

^{*}Fuente: Dirección de Estadísticas e Información de Salud. Ministerio de Salud de la Nación. Año 2018 (con datos del año 2017).

Tabla 2: Clasificación por presentación clínica de casos reportados con anomalías congénitas mayores, Mendoza. RENAC, año 2018.

Casas ranartadas	Nacidos vivos		Fetos muertos		NE	Total
Casos reportados		%		%	NE	IUlai
Casos aislados	36	100	0	0	0	36
Casos múltiples	3	100	0	0	0	3
Casos sindrómicos	9	100	0	0	0	9
Total	48	100	0	0	0	48

Tabla 4: Prevalencia de anomalías congénitas específicas seleccionadas, Mendoza. RENAC, año 2018.

Categorías de anomalías congénitas (Código Q CIE-10)	Casos reportados	Prevalencia por 10.000 (IC 95%)	Casos esperados
Defectos de tubo neural (Q00, Q01, Q05)	3	8,69 (1,79-25,4)	27 (6-80)
Cardiopatías severas (Q20.0, Q20.3, Q20.4, Q21.3, Q21.82, Q22.00, Q22.40, Q22.5, Q23.4, Q25.1-Q25.19, Q25.2, Q26.2, Q26.20)	2	5,79 (0,7-20,93)	18 (2-66)
Fisuras orales (Q35-Q37)	4	11,59 (3,16-29,67)	36 (10-93)
Talipes (Q66.0, Q66.4, Q66.8)	1	2,9 (0,07-16,14)	9 (1-51)
Defectos de pared abdominal (Q79.2-Q79.5)	1	2,9 (0,07-16,14)	9 (1-51)
Defectos de reducción de miembros (Q71-Q73)	2	5,79 (0,7-20,93)	18 (2-66)
Cromosomopatías (Q90-Q99)	5	14,48 (4,7-33,8)	46 (15-106)

Tabla 5: Prevalencia de anomalías congénitas específicas seleccionadas, Mendoza. RENAC, año 2018.

Anomalías congénitas específicas (Codigo Q CIE10)	Casos reportados	Prevalencia por 10.000 (IC 95%)	Casos esperados (IC 95%)
Anencefalia (Q00)	1	2,9 (0,07-16,15)	9 (1-51)
Espina bífida (Q05)	1	2,9 (0,07-16,15)	9 (1-51)
Hidrocefalia (Q03)	1	2,9 (0,07-16,15)	9 (1-51)
Fallot (Q21.3, Q21.82)	0	NR	NR
Transposición de grandes vasos (Q20.3)	1	2,9 (0,07-16,15)	9 (1-51)
Paladar hendido (Q35)	0	NR	NR
Fisura de labio +- paladar (Q36-Q37)	3	8,69 (1,79-25,41)	27 (6-80)
Atresia de esófago (Q39.0-Q39.11)	1	2,9 (0,07-16,15)	9 (1-51)
Talipes equinovarus (Q66.0)	1	2,9 (0,07-16,15)	9 (1-51)
Síndrome de Down (Q90)	5	14,49 (4,7-33,81)	46 (15-106)
Síndrome de Down, < 35 años	3	10,37 (2,14-30,32)	
Síndrome de Down, 35 años o más	2	35,78 (4,33-129,24)	
Síndrome de Down, edad NE	0		
Gastrosquisis (Q79.3)	1	2,9 (0,07-16,15)	9 (1-51)
Gastrosquisis, < 20 años	0	NR	
Gastrosquisis, 20 años o más	1	3,29 (0,08-18,35)	
Gastrosquisis, edad NE	0		

Tabla 1: Cobertura de la RENAC en la provincia de Misiones. RENAC, año 2018.

Indicadores	Subsector público	Subsector privado /obra social	Total
Hospitales incorporados hasta diciembre de 2018	5	0	5
Nacimientos totales	15.994	9.528	25.522
Nacimientos examinados en la RENAC	13.563	0	13.563
Cobertura %	85	0	53

^{*}Fuente: Dirección de Estadísticas e Información de Salud. Ministerio de Salud de la Nación. Año 2018 (con datos del año 2017).

Tabla 2: Clasificación por presentación clínica de casos reportados con anomalías congénitas mayores, Misiones. RENAC, año 2018.

Casas reportados	Nacidos vivos		Fetos muertos		NE	Total
Casos reportados		%		%	NE	IULAI
Casos aislados	140	94,59	7	4,73	1	148
Casos múltiples	15	88,24	2	11,76	0	17
Casos sindrómicos	36	100	0	0	0	36
Total	191	95,02	9	4,48	1	201

Tabla 3: Medidas de tendencia central y dispersión de la prevalencia entre hospitales de la jurisdicción, Misiones. RENAC, año 2018.

Métrica	Prevalencia
Prevalencia conjunta	1,48
Media	1,22
Mediana	1,11
Percentilo 25	1
Percentilo 75	1,22
Desvío standard	0,46
Mínimo	0,79
Máximo	2

Tabla 4: Prevalencia de anomalías congénitas mayores agrupadas por categorías, Misiones. RENAC, año 2018.

Categorías de anomalías congénitas (Código Q CIE-10)	Casos reportados	Prevalencia por 10.000 (IC 95%)	Casos esperados
Defectos de tubo neural (Q00, Q01, Q05)	11	8,11 (4,05-14,51)	21 (10-38)
Cardiopatías severas (Q20.0, Q20.3, Q20.4, Q21.3, Q21.82, Q22.00, Q22.40, Q22.5, Q23.4, Q25.1-Q25.19, Q25.2, Q26.2, Q26.20)	11	8,11 (4,05-14,51)	21 (10-38)
Fisuras orales (Q35-Q37)	24	17,7 (11,34-26,33)	46 (29-68)
Talipes (Q66.0, Q66.4, Q66.8)	15	11,06 (6,19-18,24)	29 (16-47)
Defectos de pared abdominal (Q79.2-Q79.5)	15	11,06 (6,19-18,24)	29 (16-47)
Defectos de reducción de miembros (Q71-Q73)	7	5,16 (2,08-10,63)	13 (5-28)
Cromosomopatías (Q90-Q99)	33	24,33 (16,75-34,17)	63 (43-88)

Tabla 5: Prevalencia de anomalías congénitas específicas seleccionadas Misiones RENAC año 2018

Anomalías congénitas específicas (Codigo Q CIE10)	Casos reportados	Prevalencia por 10.000 (IC 95%)	Casos esperados (IC 95%)
Anencefalia (Q00)	4	2,95 (0,8-7,55)	8 (2-20)
Espina bífida (Q05)	7	5,16 (2,08-10,63)	13 (5-28)
Hidrocefalia (Q03)	5	3,69 (1,2-8,6)	10 (3-22)
Fallot (Q21.3, Q21.82)	5	3,69 (1,2-8,6)	10 (3-22)
Transposición de grandes vasos (Q20.3)	2	1,47 (0,18-5,33)	4 (1-14)
Paladar hendido (Q35)	2	1,47 (0,18-5,33)	4 (1-14)
Fisura de labio +- paladar (Q36-Q37)	18	13,27 (7,87-20,97)	34 (20-54)
Atresia de esófago (Q39.0-Q39.11)	3	2,21 (0,46-6,46)	6 (1-17)
Talipes equinovarus (Q66.0)	13	9,58 (5,1-16,39)	25 (13-42)
Síndrome de Down (Q90)	30	22,12 (14,92-31,58)	57 (39-82)
Síndrome de Down, < 35 años	15	12,51 (7-20,63)	
Síndrome de Down, 35 años o más	15	95,36 (53,37-157,28)	
Síndrome de Down, edad NE	0		
Gastrosquisis (Q79.3)	10	7,37 (3,54-13,56)	19 (9-35)
Gastrosquisis, < 20 años	4	14,8 (4,03-37,9)	
Gastrosquisis, 20 años o más	6	5,52 (2,03-12,02)	
Gastrosquisis, edad NE	0		

Tabla 1: Cobertura de la RENAC en la provincia de Neuquén. RENAC, año 2018.

NEUQUEN

Indicadores	Subsector público	Subsector privado /obra social	Total
Hospitales incorporados hasta diciembre de 2018	4	1	5
Nacimientos totales	5.665	5.157	10.822
Nacimientos examinados en la RENAC	2.532	1.089	3.621
Cobertura %	45	21	33

^{*}Fuente: Dirección de Estadísticas e Información de Salud. Ministerio de Salud de la Nación. Año 2018 (con datos del año 2017).

Tabla 2: Clasificación por presentación clínica de casos reportados con anomalías congénitas mayores, Neuquén. RENAC, año 2018.

Coooo wanawtadaa	Nacidos vivos		Fetos muertos		NE	Total
Casos reportados		%		%	NE	IOLAI
Casos aislados	32	96,97	1	3,03	0	33
Casos múltiples	11	100	0	0	0	11
Casos sindrómicos	15	93,75	1	6,25	0	16
Total	58	96,67	2	3,33	0	60

Tabla 3: Medidas de tendencia central y dispersión de la prevalencia entre hospitales de la jurisdicción, Neuquén. RENAC, año 2018.

Métrica	Prevalencia
Prevalencia conjunta	1,66
Media	2,81
Mediana	1,93
Percentilo 25	1,63
Percentilo 75	3,87
Desvío standard	1,95
Mínimo	0,92
Máximo	5,71

Tabla 4: Prevalencia de anomalías congénitas mayores agrupadas por categorías, Neuquén. RENAC, año 2018.

Categorías de anomalías congénitas (Código Q CIE-10)	Casos reportados	Prevalencia por 10.000 (IC 95%)	Casos esperados
Defectos de tubo neural (Q00, Q01, Q05)	2	5,52 (0,67-19,95)	6 (1-22)
Cardiopatías severas (Q20.0, Q20.3, Q20.4, Q21.3, Q21.82, Q22.00, Q22.40, Q22.5, Q23.4, Q25.1-Q25.19, Q25.2, Q26.2, Q26.20)	4	11,05 (3,01-28,28)	12 (3-31)
Fisuras orales (Q35-Q37)	14	38,66 (21,14-64,87)	42 (23-70)
Talipes (Q66.0, Q66.4, Q66.8)	1	2,76 (0,07-15,39)	3 (1-17)
Defectos de pared abdominal (Q79.2-Q79.5)	1	2,76 (0,07-15,39)	3 (1-17)
Defectos de reducción de miembros (Q71-Q73)	4	11,05 (3,01-28,28)	12 (3-31)
Cromosomopatías (Q90-Q99)	14	38,66 (21,14-64,87)	42 (23-70)

Tabla 5: Prevalencia de anomalías congénitas específicas seleccionadas, Neuquén. RENAC, año 2018.

Anomalías congénitas específicas (Codigo Q CIE10)	Casos reportados	Prevalencia por 10.000 (IC 95%)	Casos esperados (IC 95%)	
Anencefalia (Q00)	1	2,76 (0,07-15,38)	3 (1-17)	
Espina bífida (Q05)	0	NR	NR	
Hidrocefalia (Q03)	2	5,52 (0,67-19,95)	6 (1-22)	
Fallot (Q21.3, Q21.82)	0	NR	NR	
Transposición de grandes vasos (Q20.3)	1	2,76 (0,07-15,38)	3 (1-17)	
Paladar hendido (Q35)	0	NR	NR	
Fisura de labio +- paladar (Q36-Q37)	11	30,37 (15,16-54,34)	33 (16-59)	
Atresia de esófago (Q39.0-Q39.11)	2	5,52 (0,67-19,95)	6 (1-22)	
Talipes equinovarus (Q66.0)	1	2,76 (0,07-15,38)	3 (1-17)	
Síndrome de Down (Q90)	12	33,13 (17,12-57,87)	36 (19-63)	
Síndrome de Down, < 35 años	5	16,65 (5,41-38,86)		
Síndrome de Down, 35 años o más	7	113,09 (45,47-233)		
Síndrome de Down, edad NE	0			
Gastrosquisis (Q79.3)	1	2,76 (0,07-15,38)	3 (1-17)	
Gastrosquisis, < 20 años	0	NR		
Gastrosquisis, 20 años o más	1	3,13 (0,08-17,44)		
Gastrosquisis, edad NE	0			

Indicadores	Subsector público	Subsector privado / obra social	Total
Hospitales incorporados hasta diciembre de 2018	2	1	3
Nacimientos totales	10.554	611	11.165
Nacimientos examinados en la RENAC	1.690	64	1.754
Cobertura %	16	10	16

^{*}Fuente: Dirección de Estadísticas e Información de Salud. Ministerio de Salud de la Nación. Año 2018 (con datos del año 2017).

Tabla 2: Clasificación por presentación clínica de casos reportados con anomalías congénitas mayores, Río Negro. RENAC, año 2018.

Casos reportados	Naci	dos vivos	Fetos mue		NE	Total
Casos reportados		%		%	NE	IULAI
Casos aislados	18	100	0	0	0	18
Casos múltiples	1	100	0	0	0	1
Casos sindrómicos	2	100	0	0	0	2
Total	21	100	0	0	0	21

Tabla 4: Prevalencia de anomalías congénitas específicas seleccionadas, Río Negro. RENAC, año 2018.

Categorías de anomalías congénitas (Código Q CIE-10)	Casos reportados	Prevalencia por 10.000 (IC 95%)	Casos esperados
Defectos de tubo neural (Q00, Q01, Q05)	1	5,7 (0,14-31,77)	6 (1-36)
Cardiopatías severas (Q20.0, Q20.3, Q20.4, Q21.3, Q21.82, Q22.00, Q22.40, Q22.5, Q23.4, Q25.1-Q25.19, Q25.2, Q26.2, Q26.20)	0	NR	NR
Fisuras orales (Q35-Q37)	1	5,7 (0,14-31,77)	6 (1-36)
Talipes (Q66.0, Q66.4, Q66.8)	0	NR	NR
Defectos de pared abdominal (Q79.2-Q79.5)	1	5,7 (0,14-31,77)	6 (1-36)
Defectos de reducción de miembros (Q71-Q73)	0	NR	NR
Cromosomopatías (Q90-Q99)	2	11,4 (1,38-41,19)	13 (2-46)

Tabla 5: Prevalencia de anomalías congénitas específicas seleccionadas, Río Negro. RENAC, año 2018.

Anomalías congénitas específicas (Codigo Q CIE10)	Casos reportados	Prevalencia por 10.000 (IC 95%)	Casos esperados (IC 95%)	
Anencefalia (Q00)	0	NR	NR	
Espina bífida (Q05)	1	5,7 (0,14-31,75)	6 (1-36)	
Hidrocefalia (Q03)	1	5,7 (0,14-31,75)	6 (1-36)	
Fallot (Q21.3, Q21.82)	0	NR	NR	
Transposición de grandes vasos (Q20.3)	0	NR	NR	
Paladar hendido (Q35)	0	NR	NR	
Fisura de labio +- paladar (Q36-Q37)	1	5,7 (0,14-31,75)	6 (1-36)	
Atresia de esófago (Q39.0-Q39.11)	0	NR	NR	
Talipes equinovarus (Q66.0)	0	NR	NR	
Síndrome de Down (Q90)	2	11,4 (1,38-41,17)	13 (2-46)	
Síndrome de Down, < 35 años	0	NR		
Síndrome de Down, 35 años o más	2	68,03 (8,24-245,74)		
Síndrome de Down, edad NE	0			
Gastrosquisis (Q79.3)	1	5,7 (0,14-31,75)	6 (1-36)	
Gastrosquisis, < 20 años	0	NR		
Gastrosquisis, 20 años o más	1	6,44 (0,16-35,85)		
Gastrosquisis, edad NE	0			

Tabla 1: Cobertura de la RENAC en la provincia de Salta. RENAC, año 2018.

Indicadores	Subsector público	Subsector privado / obra social	Total
Hospitales incorporados hasta diciembre de 2018	3	0	3
Nacimientos totales	19.185	7.660	26.845
Nacimientos examinados en la RENAC	13.348	0	13.348
Cobertura %	70	0	50

^{*}Fuente: Dirección de Estadísticas e Información de Salud. Ministerio de Salud de la Nación. Año 2018 (con datos del año 2017).

Tabla 2: Clasificación por presentación clínica de casos reportados con anomalías congénitas mayores, Salta. RENAC, año 2018.

Casos reportados	Naci	dos vivos	Fetos muertos		NE	Total
Casos reportados		%		%	NE	Iotai
Casos aislados	126	98,44	1	0,78	1	128
Casos múltiples	18	94,74	1	5,26	0	19
Casos sindrómicos	28	100	0	0	0	28
Total	172	98,29	2	1,14	1	175

Tabla 4: Prevalencia de anomalías congénitas específicas seleccionadas, Salta. RENAC, año 2018.

Categorías de anomalías congénitas (Código Q CIE-10)	Casos reportados	Prevalencia por 10.000 (IC 95%)	Casos esperados
Defectos de tubo neural (Q00, Q01, Q05)	15	11,24 (6,29-18,53)	30 (17-50)
Cardiopatías severas (Q20.0, Q20.3, Q20.4, Q21.3, Q21.82, Q22.00, Q22.40, Q22.5, Q23.4, Q25.1-Q25.19, Q25.2, Q26.2, Q26.20)	11	8,24 (4,11-14,75)	22 (11-40)
Fisuras orales (Q35-Q37)	15	11,24 (6,29-18,53)	30 (17-50)
Talipes (Q66.0, Q66.4, Q66.8)	9	6,74 (3,08-12,8)	18 (8-35)
Defectos de pared abdominal (Q79.2-Q79.5)	13	9,74 (5,19-16,65)	26 (14-45)
Defectos de reducción de miembros (Q71-Q73)	1	0,75 (0,02-4,17)	2 (1-11)
Cromosomopatías (Q90-Q99)	20	14,98 (9,15-23,14)	41 (25-63)

Tabla 5: Prevalencia de anomalías congénitas específicas seleccionadas, Salta. RENAC, año 2018.

Anomalías congénitas específicas (Codigo Q CIE10)	Casos reportados	Prevalencia por 10.000 (IC 95%)	Casos esperados (IC 95%)	
Anencefalia (Q00)	9	6,74 (3,08-12,8)	18 (8-35)	
Espina bífida (Q05)	5	3,75 (1,22-8,74)	10 (3-24)	
Hidrocefalia (Q03)	9	6,74 (3,08-12,8)	18 (8-35)	
Fallot (Q21.3, Q21.82)	0	NR	NR	
Transposición de grandes vasos (Q20.3)	1	0,75 (0,02-4,17)	2 (1-11)	
Paladar hendido (Q35)	2	1,5 (0,18-5,41)	4 (1-15)	
Fisura de labio +- paladar (Q36-Q37)	11	8,24 (4,11-14,74)	22 (11-40)	
Atresia de esófago (Q39.0-Q39.11)	2	1,5 (0,18-5,41)	4 (1-15)	
Talipes equinovarus (Q66.0)	4	3 (0,82-7,67)	8 (2-21)	
Síndrome de Down (Q90)	19	14,23 (8,57-22,23)	39 (23-60)	
Síndrome de Down, < 35 años	10	8,71 (4,18-16,02)		
Síndrome de Down, 35 años o más	9	48,08 (21,98-91,26)		
Síndrome de Down, edad NE	0			
Gastrosquisis (Q79.3)	7	5,24 (2,11-10,8)	14 (6-29)	
Gastrosquisis, < 20 años	4	16,37 (4,46-41,91)		
Gastrosquisis, 20 años o más	3	2,75 (0,57-8,04)		
Gastrosquisis, edad NE	0			

Indicadores	Subsector público	Subsector privado / obra social	Total
Hospitales incorporados hasta diciembre de 2018	1	0	1
Nacimientos totales	7.742	5.929	13.671
Nacimientos examinados en la RENAC	6.535	0	6.535
Cobertura %	84	0	48

^{*}Fuente: Dirección de Estadísticas e Información de Salud. Ministerio de Salud de la Nación. Año 2018 (con datos del año 2017).

Tabla 2: Clasificación por presentación clínica de casos reportados con anomalías congénitas mayores, San Juan. RENAC, año 2018.

Casos reportados	Nacidos vivos		Fetos muertos		NE	Total
Casos reportados		%		%	NE	IULAI
Casos aislados	33	97,06	1	2,94	0	34
Casos múltiples	12	100	0	0	0	12
Casos sindrómicos	11	100	0	0	0	11
Total	56	98,25	1	1,75	0	57

Tabla 4: Prevalencia de anomalías congénitas específicas seleccionadas, San Juan. RENAC, año 2018.

Categorías de anomalías congénitas (Código Q CIE-10)	Casos reportados	Prevalencia por 10.000 (IC 95%)	Casos esperados
Defectos de tubo neural (Q00, Q01, Q05)	3	4,59 (0,95-13,42)	6 (1-18)
Cardiopatías severas (Q20.0, Q20.3, Q20.4, Q21.3, Q21.82, Q22.00, Q22.40, Q22.5, Q23.4, Q25.1-Q25.19, Q25.2, Q26.2, Q26.20)	6	9,18 (3,37-19,98)	13 (5-27)
Fisuras orales (Q35-Q37)	9	13,77 (6,3-26,14)	19 (9-36)
Talipes (Q66.0, Q66.4, Q66.8)	0	NR	NR
Defectos de pared abdominal (Q79.2-Q79.5)	8	12,24 (5,29-24,12)	17 (7-33)
Defectos de reducción de miembros (Q71-Q73)	3	4,59 (0,95-13,42)	6 (1-18)
Cromosomopatías (Q90-Q99)	9	13,77 (6,3-26,14)	19 (9-36)

Tabla 5: Prevalencia de anomalías congénitas específicas seleccionadas, San Juan. RENAC, año 2018.

Anomalías congénitas específicas (Codigo Q CIE10)	Casos reportados	Prevalencia por 10.000 (IC 95%)	Casos esperados (IC 95%)
Anencefalia (Q00)	2	3,06 (0,37-11,05)	4 (1-15)
Espina bífida (Q05)	0	NR	NR
Hidrocefalia (Q03)	2	3,06 (0,37-11,05)	4 (1-15)
Fallot (Q21.3, Q21.82)	1	1,53 (0,04-8,52)	2 (1-12)
Transposición de grandes vasos (Q20.3)	0	NR	NR
Paladar hendido (Q35)	0	NR	NR
Fisura de labio +- paladar (Q36-Q37)	9	13,77 (6,3-26,14)	19 (9-36)
Atresia de esófago (Q39.0-Q39.11)	0	NR	NR
Talipes equinovarus (Q66.0)	0	NR	NR
Síndrome de Down (Q90)	8	12,24 (5,28-24,11)	17 (7-33)
Síndrome de Down, < 35 años	5	9,05 (2,94-21,11)	
Síndrome de Down, 35 años o más	3	29,7 (6,13-86,8)	
Síndrome de Down, edad NE	0		
Gastrosquisis (Q79.3)	6	9,18 (3,37-19,98)	13 (5-27)
Gastrosquisis, < 20 años	2	22,25 (2,69-80,36)	
Gastrosquisis, 20 años o más	4	7,09 (1,93-18,17)	
Gastrosquisis, edad NE	0		

Tabla 1: Cobertura de la RENAC en la provincia de San Luis. RENAC, año 2018.

SAN LUIS

Indicadores	Subsector público	Subsector privado / obra social	Total
Hospitales incorporados hasta diciembre de 2018	2	1	3
Nacimientos totales	3.686	3.332	7.018
Nacimientos examinados en la RENAC	3.316	1.278	4.594
Cobertura %	90	38	65

^{*}Fuente: Dirección de Estadísticas e Información de Salud. Ministerio de Salud de la Nación. Año 2018 (con datos del año 2017).

Tabla 2: Clasificación por presentación clínica de casos reportados con anomalías congénitas mayores, San Luis. RENAC, año 2018.

Casas vanautadas	Nacidos vivos		s Fetos muertos		NE	Total
Casos reportados		%		%	NE	IOLAI
Casos aislados	39	97,5	1	2,5	0	40
Casos múltiples	8	100	0	0	0	8
Casos sindrómicos	11	100	0	0	0	11
Total	58	98,31	1	1,69	0	59

Tabla 4: Prevalencia de anomalías congénitas específicas seleccionadas, San Luis. RENAC, año 2018.

Categorías de anomalías congénitas (Código Q CIE-10)	Casos reportados	Prevalencia por 10.000 (IC 95%)	Casos esperados
Defectos de tubo neural (Q00, Q01, Q05)	0	NR	NR
Cardiopatías severas (Q20.0, Q20.3, Q20.4, Q21.3, Q21.82, Q22.00, Q22.40, Q22.5, Q23.4, Q25.1-Q25.19, Q25.2, Q26.2, Q26.20)	6	13,06 (4,79-28,43)	9 (3-20)
Fisuras orales (Q35-Q37)	9	19,59 (8,96-37,19)	14 (6-26)
Talipes (Q66.0, Q66.4, Q66.8)	4	8,71 (2,37-22,29)	6 (2-16)
Defectos de pared abdominal (Q79.2-Q79.5)	0	NR	NR
Defectos de reducción de miembros (Q71-Q73)	3	6,53 (1,35-19,08)	5 (1-13)
Cromosomopatías (Q90-Q99)	12	26,12 (13,5-45,63)	18 (9-32)

Tabla 5: Prevalencia de anomalías congénitas específicas seleccionadas, San Luis. RENAC, año 2018.

Anomalías congénitas específicas (Codigo Q CIE10)	Casos reportados	Prevalencia por 10.000 (IC 95%)	Casos esperados (IC 95%)
Anencefalia (Q00)	0	NR	NR
Espina bífida (Q05)	0	NR	NR
Hidrocefalia (Q03)	1	2,18 (0,06-12,13)	2 (1-9)
Fallot (Q21.3, Q21.82)	0	NR	NR
Transposición de grandes vasos (Q20.3)	2	4,35 (0,53-15,73)	3 (1-11)
Paladar hendido (Q35)	1	2,18 (0,06-12,13)	2 (1-9)
Fisura de labio +- paladar (Q36-Q37)	6	13,06 (4,79-28,43)	9 (3-20)
Atresia de esófago (Q39.0-Q39.11)	2	4,35 (0,53-15,73)	3 (1-11)
Talipes equinovarus (Q66.0)	4	8,71 (2,37-22,3)	6 (2-16)
Síndrome de Down (Q90)	9	19,6 (8,96-37,2)	14 (6-26)
Síndrome de Down, < 35 años	4	10,39 (2,83-26,61)	
Síndrome de Down, 35 años o más	5	67,2 (21,82-156,83)	
Síndrome de Down, edad NE	0		
Gastrosquisis (Q79.3)	0	NR	NR
Gastrosquisis, < 20 años	0	NR	
Gastrosquisis, 20 años o más	0	NR	
Gastrosquisis, edad NE	0		

Indicadores	Subsector público	Subsector privado / obra social	Total
Hospitales incorporados hasta diciembre de 2018	3	0	3
Nacimientos totales	4.241	1.262	5.503
Nacimientos examinados en la RENAC	2.304	0	2.304
Cobertura %	54	0	42

^{*}Fuente: Dirección de Estadísticas e Información de Salud. Ministerio de Salud de la Nación. Año 2018 (con datos del año 2017).

Tabla 2: Clasificación por presentación clínica de casos reportados con anomalías congénitas mayores, Santa Cruz. RENAC, año 2018.

Coooo konoutadoo	Naci	Nacidos vivos		Fetos muertos		Total
Casos reportados		%		%	NE	iotai
Casos aislados	17	100	0	0	0	17
Casos múltiples	4	80	1	20	0	5
Casos sindrómicos	7	100	0	0	0	7
Total	28	96,55	1	3,45	0	29

Tabla 4: Prevalencia de anomalías congénitas específicas seleccionadas, Santa Cruz. RENAC, año 2018.

Categorías de anomalías congénitas (Código Q CIE-10)	Casos reportados	Prevalencia por 10.000 (IC 95%)	Casos esperados
Defectos de tubo neural (Q00, Q01, Q05)	1	4,34 (0,11-24,18)	2 (1-13)
Cardiopatías severas (Q20.0, Q20.3, Q20.4, Q21.3, Q21.82, Q22.00, Q22.40, Q22.5, Q23.4, Q25.1-Q25.19, Q25.2, Q26.2, Q26.20)	1	4,34 (0,11-24,18)	2 (1-13)
Fisuras orales (Q35-Q37)	2	8,68 (1,05-31,36)	5 (1-17)
Talipes (Q66.0, Q66.4, Q66.8)	1	4,34 (0,11-24,18)	2 (1-13)
Defectos de pared abdominal (Q79.2-Q79.5)	1	4,34 (0,11-24,18)	2 (1-13)
Defectos de reducción de miembros (Q71-Q73)	3	13,02 (2,69-38,05)	7 (1-21)
Cromosomopatías (Q90-Q99)	5	21,7 (7,05-50,64)	12 (4-28)

Tabla 5: Prevalencia de anomalías congénitas específicas seleccionadas, Santa Cruz. RENAC, año 2018.

Anomalías congénitas específicas (Codigo Q CIE10)	Casos reportados	Prevalencia por 10.000 (IC 95%)	Casos esperados (IC 95%)
Anencefalia (Q00)	1	4,34 (0,11-24,18)	2 (1-13)
Espina bífida (Q05)	0	NR	NR
Hidrocefalia (Q03)	1	4,34 (0,11-24,18)	2 (1-13)
Fallot (Q21.3, Q21.82)	0	NR	NR
Transposición de grandes vasos (Q20.3)	0	NR	NR
Paladar hendido (Q35)	0	NR	NR
Fisura de labio +- paladar (Q36-Q37)	2	8,68 (1,05-31,36)	5 (1-17)
Atresia de esófago (Q39.0-Q39.11)	0	NR	NR
Talipes equinovarus (Q66.0)	1	4,34 (0,11-24,18)	2 (1-13)
Síndrome de Down (Q90)	5	21,7 (7,05-50,64)	12 (4-28)
Síndrome de Down, < 35 años	2	10,28 (1,25-37,14)	
Síndrome de Down, 35 años o más	3	83,57 (17,23-244,21)	
Síndrome de Down, edad NE	0		
Gastrosquisis (Q79.3)	0	NR	NR
Gastrosquisis, < 20 años	0	NR	
Gastrosquisis, 20 años o más	0	NR	
Gastrosquisis, edad NE	0		

Tabla 1: Cobertura de la RENAC en la provincia de Santa Fe. RENAC, año 2018.

SANTA FE

Indicadores	Subsector público	Subsector privado /obra social	Total
Hospitales incorporados hasta diciembre de 2018	9	0	9
Nacimientos totales	25.928	27.279	53.207
Nacimientos examinados en la RENAC	15.458	0	15.458
Cobertura %	60	0	29

^{*}Fuente: Dirección de Estadísticas e Información de Salud. Ministerio de Salud de la Nación. Año 2018 (con datos del año 2017).

Tabla 2: Clasificación por presentación clínica de casos reportados con anomalías congénitas mayores, Santa Fe. RENAC, año 2018.

Casas reportados	Naci	dos vivos	Feto	s muertos	NE	Total
Casos reportados		%		%	NE	IOLAI
Casos aislados	174	98,31	3	1,69	0	177
Casos múltiples	27	93,1	2	6,9	0	29
Casos sindrómicos	29	93,55	2	6,45	0	31
Total	230	97,05	7	2,95	0	237

Tabla 3: Medidas de tendencia central y dispersión de la prevalencia entre hospitales de la jurisdicción, Santa Fe. RENAC, año 2018.

Métrica	Prevalencia
Prevalencia conjunta	1,53
Media	1,56
Mediana	1,3
Percentilo 25	1,2
Percentilo 75	2,02
Desvío standard	0,7
Mínimo	0,52
Máximo	2,85

Tabla 4: Prevalencia de anomalías congénitas mayores agrupadas por categorías, Santa Fe. RENAC, año 2018.

Categorías de anomalías congénitas (Código Q CIE-10)	Casos reportados	Prevalencia por 10.000 (IC 95%)	Casos esperados
Defectos de tubo neural (Q00, Q01, Q05)	14	9,06 (4,95-15,2)	48 (26-81)
Cardiopatías severas (Q20.0, Q20.3, Q20.4, Q21.3, Q21.82, Q22.00, Q22.40, Q22.5, Q23.4, Q25.1-Q25.19, Q25.2, Q26.2, Q26.20)	19	12,29 (7,4-19,19)	66 (39-102)
Fisuras orales (Q35-Q37)	20	12,94 (7,9-19,98)	69 (42-106)
Talipes (Q66.0, Q66.4, Q66.8)	8	5,18 (2,23-10,2)	28 (12-54)
Defectos de pared abdominal (Q79.2-Q79.5)	16	10,35 (5,92-16,81)	55 (32-90)
Defectos de reducción de miembros (Q71-Q73)	7	4,53 (1,82-9,33)	24 (10-50)
Cromosomopatías (Q90-Q99)	25	16,17 (10,47-23,87)	86 (56-127)

Tabla 5: Prevalencia de anomalías congénitas específicas seleccionadas, Santa Fe. RENAC, año 2018.

Anomalías congénitas específicas (Codigo Q CIE10)	Casos reportados	Prevalencia por 10.000 (IC 95%)	Casos esperados (IC 95%)
Anencefalia (Q00)	1	0,65 (0,02-3,6)	3 (1-19)
Espina bífida (Q05)	11	7,12 (3,55-12,73)	38 (19-68)
Hidrocefalia (Q03)	9	5,82 (2,66-11,05)	31 (14-59)
Fallot (Q21.3, Q21.82)	3	1,94 (0,4-5,67)	10 (2-30)
Transposición de grandes vasos (Q20.3)	4	2,59 (0,71-6,63)	14 (4-35)
Paladar hendido (Q35)	5	3,23 (1,05-7,55)	17 (6-40)
Fisura de labio +- paladar (Q36-Q37)	12	7,76 (4,01-13,56)	41 (21-72)
Atresia de esófago (Q39.0-Q39.11)	4	2,59 (0,71-6,63)	14 (4-35)
Talipes equinovarus (Q66.0)	7	4,53 (1,82-9,33)	24 (10-50)
Síndrome de Down (Q90)	21	13,59 (8,41-20,77)	72 (45-111)
Síndrome de Down, < 35 años	10	7,91 (3,79-14,54)	
Síndrome de Down, 35 años o más	11	39,09 (19,51-69,94)	
Síndrome de Down, edad NE	0		
Gastrosquisis (Q79.3)	10	6,47 (3,1-11,9)	34 (17-63)
Gastrosquisis, < 20 años	6	28,85 (10,59-62,79)	
Gastrosquisis, 20 años o más	4	2,99 (0,81-7,66)	
Gastrosquisis, edad NE	0		

Indicadores	Subsector público	Subsector privado / obra social	Total
Hospitales incorporados hasta diciembre de 2018	2	0	2
Nacimientos totales	12.348	4.541	16.889
Nacimientos examinados en la RENAC	2.149	0	2.149
Cobertura %	17	0	13

^{*}Fuente: Dirección de Estadísticas e Información de Salud. Ministerio de Salud de la Nación. Año 2018 (con datos del año 2017).

Tabla 2: Clasificación por presentación clínica de casos reportados con anomalías congénitas mayores, Santiago del Estero. RENAC, año 2018.

Occas vanautadas	Naci	dos vivos	Feto	s muertos	NE	Total	
Casos reportados		%		%	NE	Total	
Casos aislados	12	100	0	0	0	12	
Casos múltiples	1	100	0	0	0	1	
Casos sindrómicos	3	100	0	0	0	3	
Total	16	100	0	0	0	16	

Tabla 4: Prevalencia de anomalías congénitas específicas seleccionadas, Santiago del Estero. RENAC, año 2018.

Categorías de anomalías congénitas (Código Q CIE-10)	Casos reportados	Prevalencia por 10.000 (IC 95%)	Casos esperados
Defectos de tubo neural (Q00, Q01, Q05)	1	4,65 (0,12-25,93)	8 (1-44)
Cardiopatías severas (Q20.0, Q20.3, Q20.4, Q21.3, Q21.82, Q22.00, Q22.40, Q22.5, Q23.4, Q25.1-Q25.19, Q25.2, Q26.2, Q26.20)	0	NR	NR
Fisuras orales (Q35-Q37)	3	13,96 (2,88-40,8)	24 (5-69)
Talipes (Q66.0, Q66.4, Q66.8)	0	NR	NR
Defectos de pared abdominal (Q79.2-Q79.5)	1	4,65 (0,12-25,93)	8 (1-44)
Defectos de reducción de miembros (Q71-Q73)	0	NR	NR
Cromosomopatías (Q90-Q99)	3	13,96 (2,88-40,8)	24 (5-69)

Tabla 5: Prevalencia de anomalías congénitas específicas seleccionadas, Santiago del Estero. RENAC, año 2018.

Anomalías congénitas específicas (Codigo Q CIE10)	Casos reportados	Prevalencia por 10.000 (IC 95%)	Casos esperados (IC 95%)
Anencefalia (Q00)	0	NR	NR
Espina bífida (Q05)	1	4,66 (0,12-25,94)	8 (1-44)
Hidrocefalia (Q03)	0	NR	NR
Fallot (Q21.3, Q21.82)	0	NR	NR
Transposición de grandes vasos (Q20.3)	0	NR	NR
Paladar hendido (Q35)	0	NR	NR
Fisura de labio +- paladar (Q36-Q37)	2	9,31 (1,13-33,63)	16 (2-57)
Atresia de esófago (Q39.0-Q39.11)	1	4,66 (0,12-25,94)	8 (1-44)
Talipes equinovarus (Q66.0)	0	NR	NR
Síndrome de Down (Q90)	3	13,97 (2,88-40,82)	24 (5-69)
Síndrome de Down, < 35 años	3	16,06 (3,31-46,93)	
Síndrome de Down, 35 años o más	0	NR	
Síndrome de Down, edad NE	0		
Gastrosquisis (Q79.3)	0	NR	NR
Gastrosquisis, < 20 años	0	NR	
Gastrosquisis, 20 años o más	0	NR	
Gastrosquisis, edad NE	0		

TIERRA DEL FUEGO

Tabla 1: Cobertura de la RENAC en la provincia de Tierra del Fuego. RENAC, año 2018.

Indicadores	Subsector público	Subsector privado / obra social	Total
Hospitales incorporados hasta diciembre de 2018	2	0	2
Nacimientos totales	1.307	1.352	2.659
Nacimientos examinados en la RENAC	1.267	0	1.267
Cobertura %	97	0	48

^{*}Fuente: Dirección de Estadísticas e Información de Salud. Ministerio de Salud de la Nación. Año 2018 (con datos del año 2017).

Tabla 2: Clasificación por presentación clínica de casos reportados con anomalías congénitas mayores, Tierra del Fuego. RENAC, año 2018.

Casos reportados	Naci	dos vivos	Feto	s muertos	NE	Total
Casos reportados		%		%	NE	IOLAI
Casos aislados	9	100	0	0	0	9
Casos múltiples	1	100	0	0	0	1
Casos sindrómicos	1	100	0	0	0	1
Total	11	100	0	0	0	11

Tabla 4: Prevalencia de anomalías congénitas específicas seleccionadas, Tierra del Fuego. RENAC, año 2018.

· ·		,	
Categorías de anomalías congénitas (Código Q CIE-10)	Casos reportados	Prevalencia por 10.000 (IC 95%)	Casos esperados
Defectos de tubo neural (Q00, Q01, Q05)	0	NR	NR
Cardiopatías severas (Q20.0, Q20.3, Q20.4, Q21.3, Q21.82, Q22.00, Q22.40, Q22.5, Q23.4, Q25.1-Q25.19, Q25.2, Q26.2, Q26.20)	0	NR	NR
Fisuras orales (Q35-Q37)	3	23,68 (4,88-69,2)	6 (1-18)
Talipes (Q66.0, Q66.4, Q66.8)	0	NR	NR
Defectos de pared abdominal (Q79.2-Q79.5)	0	NR	NR
Defectos de reducción de miembros (Q71-Q73)	0	NR	NR
Cromosomopatías (Q90-Q99)	1	7,89 (0,2-43,98)	2 (1-12)

Tabla 5: Prevalencia de anomalías congénitas específicas seleccionadas, Tierra del Fuego. RENAC, año 2018.

Anomalías congénitas específicas (Codigo Q CIE10)	Casos reportados	Prevalencia por 10.000 (IC 95%)	Casos esperados (IC 95%)
Anencefalia (Q00)	0	NR	NR
Espina bífida (Q05)	0	NR	NR
Hidrocefalia (Q03)	0	NR	NR
Fallot (Q21.3, Q21.82)	0	NR	NR
Transposición de grandes vasos (Q20.3)	0	NR	NR
Paladar hendido (Q35)	0	NR	NR
Fisura de labio +- paladar (Q36-Q37)	2	15,8 (1,91-57,07)	4 (1-15)
Atresia de esófago (Q39.0-Q39.11)	0	NR	NR
Talipes equinovarus (Q66.0)	0	NR	NR
Síndrome de Down (Q90)	1	7,9 (0,2-44,01)	2 (1-12)
Síndrome de Down, < 35 años	1	9,44 (0,24-52,61)	
Síndrome de Down, 35 años o más	0	NR	
Síndrome de Down, edad NE	0		
Gastrosquisis (Q79.3)	0	NR	NR
Gastrosquisis, < 20 años	0	NR	
Gastrosquisis, 20 años o más	0	NR	
Gastrosquisis, edad NE	0		

Indicadores	Subsector público	Subsector privado /obra social	Total
Hospitales incorporados hasta diciembre de 2018	4	0	4
Nacimientos totales	16.659	11.184	27.843
Nacimientos examinados en la RENAC	16.071	0	16.071
Cobertura %	96	0	58

^{*}Fuente: Dirección de Estadísticas e Información de Salud. Ministerio de Salud de la Nación. Año 2018 (con datos del año 2017).

Tabla 2: Clasificación por presentación clínica de casos reportados con anomalías congénitas mayores, Tucumán. RENAC, año 2018.

Casos reportados	Naci	dos vivos	Feto	s muertos	NE	Total
		%		%	NE	ivtai
Casos aislados	141	97,24	4	2,76	0	145
Casos múltiples	46	92	4	8	0	50
Casos sindrómicos	43	93,48	2	4,35	1	46
Total	230	95,44	10	4,15	1	241

Tabla 3: Medidas de tendencia central y dispersión de la prevalencia entre hospitales de la jurisdicción, Tucumán. RENAC, año 2018.

Métrica	Prevalencia
Prevalencia conjunta	1,5
Media	1,21
Mediana	1,01
Percentilo 25	0,79
Percentilo 75	1,43
Desvío standard	0,85
Mínimo	0,41
Máximo	2,41

Tabla 4: Prevalencia de anomalías congénitas mayores agrupadas por categorías, Tucumán. RENAC, año 2018.

Categorías de anomalías congénitas (Código Q CIE-10)	Casos reportados	Prevalencia por 10.000 (IC 95%)	Casos esperados
Defectos de tubo neural (Q00, Q01, Q05)	17	10,58 (6,16-16,94)	29 (17-47)
Cardiopatías severas (Q20.0, Q20.3, Q20.4, Q21.3, Q21.82, Q22.00, Q22.40, Q22.5, Q23.4, Q25.1-Q25.19, Q25.2, Q26.2, Q26.20)	23	14,31 (9,07-21,47)	40 (25-60)
Fisuras orales (Q35-Q37)	37	23,02 (16,21-31,73)	64 (45-88)
Talipes (Q66.0, Q66.4, Q66.8)	8	4,98 (2,15-9,81)	14 (6-27)
Defectos de pared abdominal (Q79.2-Q79.5)	16	9,96 (5,69-16,17)	28 (16-45)
Defectos de reducción de miembros (Q71-Q73)	11	6,84 (3,42-12,25)	19 (10-34)
Cromosomopatías (Q90-Q99)	35	21,78 (15,17-30,29)	61 (42-84)

Tabla 5: Prevalencia de anomalías congénitas específicas seleccionadas, Tucumán. RENAC, año 2018.

Anomalías congénitas específicas (Codigo Q CIE10)	Casos reportados	Prevalencia por 10.000 (IC 95%)	Casos esperados (IC 95%)		
Anencefalia (Q00)	3	1,87 (0,38-5,46)	5 (1-15)		
Espina bífida (Q05)	11	6,84 (3,42-12,25)	19 (10-34)		
Hidrocefalia (Q03)	9	5,6 (2,56-10,63)	16 (7-30)		
Fallot (Q21.3, Q21.82)	6	3,73 (1,37-8,13)	10 (4-23)		
Transposición de grandes vasos (Q20.3)	3	1,87 (0,38-5,46)	5 (1-15)		
Paladar hendido (Q35)	8	4,98 (2,15-9,81)	14 (6-27)		
Fisura de labio +- paladar (Q36-Q37)	25	15,56 (10,07-22,96)	43 (28-64)		
Atresia de esófago (Q39.0-Q39.11)	8	4,98 (2,15-9,81)	14 (6-27)		
Talipes equinovarus (Q66.0)	6	3,73 (1,37-8,13)	10 (4-23)		
Síndrome de Down (Q90)	29	18,04 (12,08-25,92)	50 (34-72)		
Síndrome de Down, < 35 años	16	11,77 (6,73-19,12)			
Síndrome de Down, 35 años o más	13	52,42 (27,91-89,64)			
Síndrome de Down, edad NE	0				
Gastrosquisis (Q79.3)	10	6,22 (2,98-11,44)	17 (8-32)		
Gastrosquisis, < 20 años	3	11,7 (2,41-34,18)			
Gastrosquisis, 20 años o más	7	5,18 (2,08-10,68)			
Gastrosquisis, edad NE	0				



ANEXO 1FORMULARIO DE CARGA DE DATOS DE LA RENAC.











FORMULARIO DE REPORTE DE ANOMALIAS CONGÉNITAS

DESCRIBA LA/LAS ANOMALÍA/S CONGÉNITA/S DETECTADA/S (en los recién nacidos vivos y en los fetos muertos que pesen más de 500 gramos)
¿SE DETECTÓ POR ECOGRAFÍA ALGUNA ANOMALÍA CONGÉNITA PRENATAL? si no no se realizó ecografía
¿CUÁL/ES?:
NOMBRE DEL RECIÉN NACIDO: APELLIDO DEL RECIÉN NACIDO:
DNI DEL NIÑO:
NOMBRE DE LA MADRE:APELLIDO DE LA MADRE:
Nº HISTORIA CLÍNICA DEL NIÑO:
FECHA DE NACIMIENTO: / / día mes año
NACIDO: ☐ vivo ☐ muerto SEXO: ☐ masculino ☐ femenino ☐ indeterminado
CONDICIÓN: alta vivo muerto sin alta aun derivado
FECHA DE ALTA, MUERTE O DERIVACIÓN (según condición): / / /
INSTITUCIÓN A LA QUE SE DERIVÓ (si corresponde):
PESO (en gramos): TALLA (en cm):
PERIMETRO CEFÁLICO (en cm): EDAD GESTACIONAL (por Capurro):
GEMELO: si no EDAD MATERNA: GESTA (incluye la actual):
LUCAD DE DECIDENCIA DE LA MADRE
LUGAR DE RESIDENCIA DE LA MADRE DOMICILIO: CALLENroNro
LOCALIDAD: DEPARTAMENTO:
PROVINCIA:TELÉFONO:

Reporte RENAC 2019

INSTRUCTIVO DEL FORMULARIO DE REPORTE DE ANOMALIAS CONGÉNITAS

A medida que se van produciendo los nacimientos, el personal médico identificará si tienen anomalías congénitas y completará este FORMULARIO haciendo una <u>descripción detallada</u> de las anomalías detectadas hasta el alta de la institución y completando las variables adicionales. Este Formulario será anexado a la historia clínica materna o neonatal y el personal médico debe comunicar el caso al responsable de la RENAC de la maternidad.

Se llenará el FORMULARIO para todos los recién nacidos que presenten anomalías congénitas, y sólo para los fetos muertos que pesen 500 gramos o más que presenten anomalías congénitas.

Describa la/s anomalía/s usando palabras simples. <u>NO USE ABREVIATURAS</u> de ningún tipo aunque le parezcan obvias. En el caso de que el recién nacido o el feto muerto presente más de una anomalía, describa todas las anomalías presentes. NO escriba polimalformado.

Al finalizar cada mes, el responsable de la RENAC en la maternidad enviará el ARCHIVO DE DATOS <u>de todos los recién nacidos y fetos muertos con anomalías congénitas y el número total de recién nacidos y fetos muertos de la maternidad.</u>

ATENCION - Para tener en cuenta en la descripción de algunas malformaciones específicas:

Anomalía congénita	Elementos de una descripción de alta calidad
Fisuras orales	Especificar si la fisura de labio es uni / bilateral o medial. Describir la extensión de la fisura de labio (si es parcial, si llega hasta fosa nasal, afecta encía, etc.). Describir la presencial de hoyuelos en labio inferior.
risuras orales	Especificar la extensión (paladar blando/duro) y la forma (en "U" o en "V") en la fisura de paladar. Describir la presencia o no de microretrognatia severa (secuencia de Pierre Robin)
	Especificar localización del encefalocele (i.e.: occipital), cubierta, tamaño y su contenido si hay imágenes.
Defectos del tubo neural	Especificar la localización de la espina bifida, si tiene cobertura de piel (abierta o cerrada) y si se presenta o no hidrocefalia o talipes.
Hipospadias	Indicar la ubicación de la apertura del meato (glande, coronal, subcoronal, peneano, perineal). Indicar si las gónadas son palpables y ubicación.
Defectos de reducción de miembros	Especificar que estructuras están presentes y cuáles ausentes, si la reducción es longitudinal o transversal y el eje afectado en las longitudinales (preaxial, mesoaxial, postaxial); si es en miembros superiores y/o inferiores, unilateral o bilateral. Incluir SIEMPRE fotografías y de ser posible también RADIOGRAFIAS.
Talipes	Recordar que se incluyen solamente los irreductibles. Especificar el tipo (i.e: equinovaro, calcaneovalgus, etc.)
Cardiopatías	Especificar la cardiopatía específica definida en los estudios de imágenes.
Microtia/anotia	Especificar el Grado (II, III, o IV-anotia). Indicar si se acompaña de mamelones y asimetría facial.
Polidactilia	Especificar preaxial, postaxial, mesoaxial; y si es unilateral o bilateral, en manos y/o en pies.
Defectos de pared abdominal	Describir localización, relación con el cordón umbilical, órganos involucrados y cobertura de membrana. Especificar si se trata de gastrosquisis, onfalocele u otro defecto.
Atresias intestinales y de esófago	Indicar nivel de la atresia y presencia de fístulas.
Hernia diafragmática	Indicar ubicación (anterior o posterolateral)
Genitales ambiguos	Describir ubicación del meato, presencia o no de orificio vaginal, características de pliegues uretrales y grado de fusión. Describir prominencias labio-escrotales, rugosidad y pigmentación. Gonadas palpables o no, y localización. Incluir información sobre genitales internos si hay exámenes complementarios.
Displasias esqueléticas	Describir los huesos comprometidos, si hay fracturas, si hay alteraciones en la mineralización. Incluir SIEMPRE RADIOGRAFIAS de todo el cuerpo y fotografias del recién nacido.
Síndrome de Down	Especificar si presenta cardiopatía u otras anomalías asociadas (por ejemplo, atresia duodenal). Si cuenta con cariotipo, indicar resultado.
Síndromes de Patau y de Edwards	Indicar la sospecha clínica y todas las anomalías mayores y menores encontradas en el caso. Si cuenta con cariotipo, indicar resultado.

Perímetro cefálico (en cm): Percentilo 3 para cada edad gestacional y sexo.

Edad gestacional (Semana)	27	28	29	30	31	32	33	34	35	36	37	38	39	40	41	42
Varones	22,0	23,0	24,0	25,0	25,7	26,8	28,2	28,9	29,5	30,1	30,8	31,2	31,7	32,1	32,6	33,0
Mujeres	21,5	22,5	23,1	24,0	25,0	26,2	27,9	28,6	29,3	29,9	30,4	30,9	31,3	31,7	32,1	32,4

Fuente: Villar J, Cheikh Ismail L, Victora CG, et al. International standards for newborn weight, length, and head circumference by gestational age and sex: the Newborn Cross-Sectional Study of the INTERGROWTH-21st Project. Lancet 2014; 384: 857–68. Fenton T, Kim JH. A systematic review and meta-analysis to revise the Fenton growth chart for preterm infants. BMC Pediatrics 2013; 13:59.

Consultas a la Coordinación de la RENAC:

Por e-mail: <u>contacto@renac.com.ar</u>

Por teléfono: 0800-444-2111



ANEXO 2 DEFINICIONES DE LAS ANOMALÍAS CONGÉNITAS.

Anencefalia: falta parcial o total de la calota, la piel que la recubre y defecto cerebral. Incluye: craneoraquisquisis e iniencefalia. Excluye: acefalia.

Espina bífida: grupo de anomalías caracterizado por un defecto de cierre de la columna vertebral con herniación o exposición de la médula espinal y/o las meninges a través del defecto. Incluye: meningocele, mielomeningocele, mielocele, raquisquisis. Excluye: espina bífida oculta, teratoma sacrococcígeo sin disrafismo.

Encefalocele: herniación del cerebro y/o meninges a través de un defecto en la calota.

Microcefalia: cráneo pequeño, definido por un perímetro cefálico menor a percentilo 3 utilizando las curvas INTERGROWTH-21st correspondientes a edad y sexo.

Holoprosencefalia: anomalía congénita cerebral caracterizada por distintos grados de división incompleta de los hemisferios cerebrales. El tracto olfatorio puede estar ausente. Incluye: ciclopía, etmocefalia, cebocefalia y agenesia premaxilar.

Hidrocefalia: dilatación de los ventrículos cerebrales, no asociada con atrofia primaria del cerebro, con o sin aumento del perímetro cefálico, diagnosticada al nacimiento. No se cuenta cuando se presenta con espina bífida o encefalocele. Excluye: macrocefalia sin dilatación del sistema ventricular, hidranencefalia, holoprosencefalia e hidrocefalia postnatal adquirida.

Anoftalmia/ Microftalmia: globos oculares aparentemente ausentes o pequeños al diagnóstico clínico.

Microtia/Anotia: ausencia completa o parcial de pabellón auricular con o sin atresia del conducto auditivo externo. Se excluye el grado I de microtia (pabellón ligeramente pequeño con estructuras identificables). Se consideran "posibles" aquellos casos reportados como "microtia" solamente, sin definir el grado de la misma.

Transposición de los grandes vasos: cardiopatía severa en la cual el ventrículo derecho se conecta con la aorta y el tronco pulmonar con el ventrículo izquierdo, con o sin otros defectos cardíacos.

Tetralogía de Fallot: cardiopatía severa caracterizada por aorta cabalgante, estenosis pulmonar infundibular e hipertrofia de ventrículo derecho, comunicación interventricular.

Corazón izquierdo hipoplásico: cardiopatía severa con hipoplasia de ventrículo izquierdo, asociado a atresia aórtica y/o mitral, con o sin otro defecto cardíaco.

Coartación de aorta: obstrucción de la aorta descendente, en general en la inserción del conducto arterioso.

Atresia tricuspidea: cardiopatía severa. Se encuentra dentro del grupo de ventrículo único.

Tronco arterioso: defecto en la separación de la aorta y la arteria pulmonar, resultando en un único tronco arterial común que emerge del corazón y da origen a las circulaciones sistémica, pulmonar y coronaria

Anomalía de Ebstein: cardiopatía severa. Se caracteriza por desplazamiento apical de las valvas septal y posterior de la válvula tricúspide, lo que lleva a atrialización del ventrículo derecho con un grado variable de malformación y el desplazamiento de la valva anterior.

Arco aórtico interrumpido: cardiopatía severa. La interrupción puede clasificarse en 3 tipos de acuerdo al sitio: distalal origen de la subclavia izquierda (A), entre el origen de la carótida común izquierda y la subclavia izquierda (B) y proximal al origen de la carótida común izquierda (C).

Atresia pulmonar sin CIV: cardiopatía severa. Se encuentra dentro del grupo de ventrículo único.

Retorno venoso pulmonar anómalo: cardiopatía severa. Las venas pulmonares tienen una conexión anómala el sistema venoso sistémico.

Doble salida del ventrículo derecho: cardiopatía severa. La arteria pulmonar y la aorta salen del ventrículo derecho.

Doble entrada de ventrículo izquierdo: cardiopatía severa. Ambas aurículas se comunican con el ventrículo izquierdo; el ventrículo derecho es hipoplásico o no existe.

Atresia de coanas, bilateral: obstrucción (membranosa u ósea) de las coanas posteriores. Excluye: estenosis de coana y congestión de la mucosa nasal.

Paladar hendido (sin fisura de labio): defecto en el cierredel paladar duro y/o blando sin fisura de labio. Excluye: paladar hendido con fisura de labio, fisura de uvula, paladar estrecho.

Fisura labial: defecto en el labio superior por falta de fusión de los procesos maxilares con los procesos nasomedianos, sin defecto del paladar. Se excluye la fisura medial.

Fisura labiopalatina: defecto en el labio superior por falta de fusion de los procesos maxilares con los procesos nasomedianos, acompanado de un defecto del paladar por falta de fusion de las crestas palatinas de los procesos maxilares. Se excluye la fisura medial.

Secuencia de Pierre Robin: secuencia caracterizada por micrognatia (defecto primario), glosoptosis, y con frecuencia, fisura de paladar (defectos secundarios)

Atresia/estenosis de esófago y fístula traqueo-esofágica: solución de continuidad o estrechamiento del esófago, con o sin fístula traqueal. Incluye: fístula traqueoesofágica con o sin mención de atresia o estenosis del esófago.

Atresia/estenosis de intestino delgado: oclusión completa o parcial de la luz de un segmento del intestino delgado. Puede involucrar una o múltiples áreas del yeyuno o íleon. Excluye: atresia duodenal.

Atresia duodenal: oclusión completa de la luz de un segmento del duodeno.

Malformación ano-rectal: solución de continuidad o estrechamiento del canal anorectal o falta de comunicación entre el recto y el ano, con o sin fístula a los órganos vecinos. Excluye: estenosis leve que no requiere corrección quirúrgica y ano ectópico.

Criptorquidia: testículos no descendidos bilaterales en un recién nacido a término. Excluye: testículos en ascensor y testículos no descendidos al nacimiento en un recién nacido pretérmino. Se considera "criptorquidia posible" a aquellos casos de recién nacidos a término donde no se reporta si la anomalía congénita es uni o bilateral.

Hipospadias: apertura de la uretra en el lado ventral del pene, distal al surco balano-prepucial. Incluye: hipospadias peneana, escrotal o perineal. Excluye: hipospadias de primer grado y genitales ambiguos. Se considera "hipospadias posible" **a** aquellos casos donde no se ha reportado el sitio específico de la apertura de la uretra. Por ejemplo, reportes de "hipospadias" sin otra aclaración.

Epispadias: apertura de la uretra en el lado dorsal del pene. No se cuenta cuando es parte de extrofia de vejiga o de cloaca.

Extrofia de vejiga: anomalía congénita compleja caracterizada por defecto en el cierre de la pared abdominal inferior y la vejiga. La vejiga se encuentra abierta en la pared abdominal ventral, entre el ombligo y la sínfisis pubiana.

Extrofia de cloaca: incluye la persistencia y la extrofia de la cloaca común que recibe uréteres, íleon, y un intestino posterior rudimentario. Está asociada con la alteración en el desarrollo del tubérculo genital y ramas púbicas, desarrollo incompleto de las vértebras lumbosacra con espina bífida, ano imperforado, criptorquidia y epispadias en los hombres y anomalías de los derivados de los conductos de Müller en las mujeres, y una amplia gama de anomalías del tracto urinario.

Genitales ambiguos: anomalía de los genitales externos que no permite la designación del sexo al nacimiento.

Agenesia renal bilateral: ausencia de ambos riñones.

Quistes renales: múltiples quistes en el riñón. Incluye: riñón poliquístico infantil, riñón multiquístico y otras formas de riñón quístico. Excluye: quiste renal simple.

Polidactilia preaxial: dígitos extra en el lado radial del miembro superior o el lado tibial del miembro inferior. Puede afectar la mano, el pie o ambos.

Polidactlia postaxial: dígitos extra en el lado cubital del miembro superior o el lado peroneal del miembro inferior. Puede afectar la mano, el pie o ambos.

Polidactilia no especificada: corresponde a los casos de polidactilia en los que no se ha especificado el lado.

Defecto de miembros transverso: defecto de reducción perpendicular al eje del miembro. Puede observarse en miembros superiores ausencia de dedos, muñeca, antebrazo o brazo y en miembros inferiores ausencia de ortejos, pie, pierna o muslo.

Amelia: defecto transverso con ausencia completa de miembro superior o inferior

Focomelia: defecto intercalar con ausencia de todos los huesos proximales de las extremidades, con una mano la normal o con malformaciones que se conecta directamente

al tronco. Se consideran confirmados aquellos casos documentados por radiografía o fotografías externas. Si no cumplen con la documentación mencionada, se consideran como casos posibles.

Defecto de miembros longitudinal preaxial: defecto de reducción que puede incluir ausencia de pulgar o de radio en miembros superiores o tibia y primer ortejo en miembros inferiores.

Defecto de miembros longitudinal postaxial: defecto de reducción que puede incluir ausencia de cúbito en miembros superiores o peroné en miembros inferiores.

Defecto de miembros intercalar: defecto de reducción que puede incluir ausencia de brazo o antebrazo con presencia de estructuras distales en miembros superiores o ausencia de fémur o de tibia y peroné con presencia de estructuras distales en miembros inferiores.

Defecto de miembros no especificado: defecto de reducción de miembros en los que no se ha especificado el segmento afectado.

Sindactilia: fusión de dos o más dedos u ortejos entre sí. Se excluye: sindactilia blanda del 2do y 3er ortejo.

Talipes equinovaro: deformidad en el pie con flexión a nivel plantar del pie con la planta del pie hacia la línea media.

Talipes calcaneovalgo: deformidad en el pie con dorsiflexión del pie con la planta del pie hacia fuera. Excluye: deformidad reductible.

Talipes no especificado: aquellos casos de talipes donde no se ha reportado el tipo específico de deformidad. Por ejemplo, casos reportados con "pie bot".

Hernia diafragmática: herniación en el tórax del contenido abdominal a través de un defecto en el diafragma. Excluye: hernia del hiato, eventración y parálisis del frénico.

Onfalocele: herniación de contenido abdominal a través del anillo umbilical, cubierto por membrana que puede o no estar intacta. Excluye: gastrosquisis y hernia umbilical.

Gastrosquisis: herniación visceral, frecuentemente a través de un defecto situado a la derecha del cordón umbilical, el cual se encuentra intacto. No está cubierto por membrana. Excluye: onfalocele y hernia umbilical.

Secuencia de "prune belly": anomalía congénita compleja, caracterizada por un defecto muscular abdominal y obstrucción/distensión urinaria. Puede ser causada por obstrucción uretral secundaria a valvas de la uretra posterior o atresia uretral. Puede asociarse con criptorquidia, talipes y defectos de reducción de miembros.

Trisomía 13: síndrome polimalformativo asociado a material extra del cromosoma 13. Incluye translocaciones y mosaico de trisomía 13.

Trisomía 18: síndrome polimalformativo asociado a material extra del cromosoma 18. Incluye translocaciones y mosaico de trisomía 18.

Síndrome de Down: síndrome caracterizado por un patrón de anomalías menores y mayores producido por material extra

del cromosoma 21. Incluye mosaicismo y translocaciones del cromosoma 21. Se clasifican los casos en aquellos con confirmación con cariotipo o solo diagnóstico clínico al envío de los datos.

Sirenomelia: fusión de miembros inferiores con alteraciones de columna vertebral, riñones ausentes o malformados, atresia anal y sexo indeterminado en la mayoría de los casos. Se consideran confirmados aquellos casos documentados por radiografía o fotografías externas. Si no cumplen con la documentación mencionada, se consideran como casos posibles.

Gemelos siameses: gemelos monocigóticos con distintos grados de fusión.

Ciclopía: anomalía facial severa con fusión de los ojos en una sola estructura medial, y ausencia de estructura nasal. Se asocia a holoprosencefalia alobar.

Acondroplasia: displasia esquelética considerada la causa más frecuente de baja talla desproporcionada. Se consideran confirmados aquellos casos documentados con radiografías. Si no cumplen con la documentación mencionada, se consideran como casos posibles.

Displasia tanatofórica: displasia esquelética con acortamiento severo de miembros, generalmente letal en período perinatal. Se consideran confirmados aquellos casos documentados con radiografías. Si no cumplen con la documentación mencionada, se consideran como casos posibles.

Osteogénesis imperfecta: incluye las siguientes formas: letal perinatal (tipo II) y progresivamente deformante (tipo III). Se consideran confirmados aquellos casos documentados con radiografías. Si no cumplen con la documentación mencionada, se consideran como casos posibles.

Costillas cortas-polidactilia: conjunto de displasias esqueléticas caracterizadas por tórax estrecho, polidactilia y acortamiento de miembros. Se consideran confirmados aquellos casos documentados con radiografías. Si no cumplen con la documentación mencionada, se consideran como casos posibles.

Displasia campomélica: displasia esquelética caracterizada por acortamiento de miembros e incurvamiento de tibias. Se consideran confirmados aquellos casos documentados con radiografías Si no cumplen con la documentación mencionada, se consideran como casos posibles.

